

2.1996

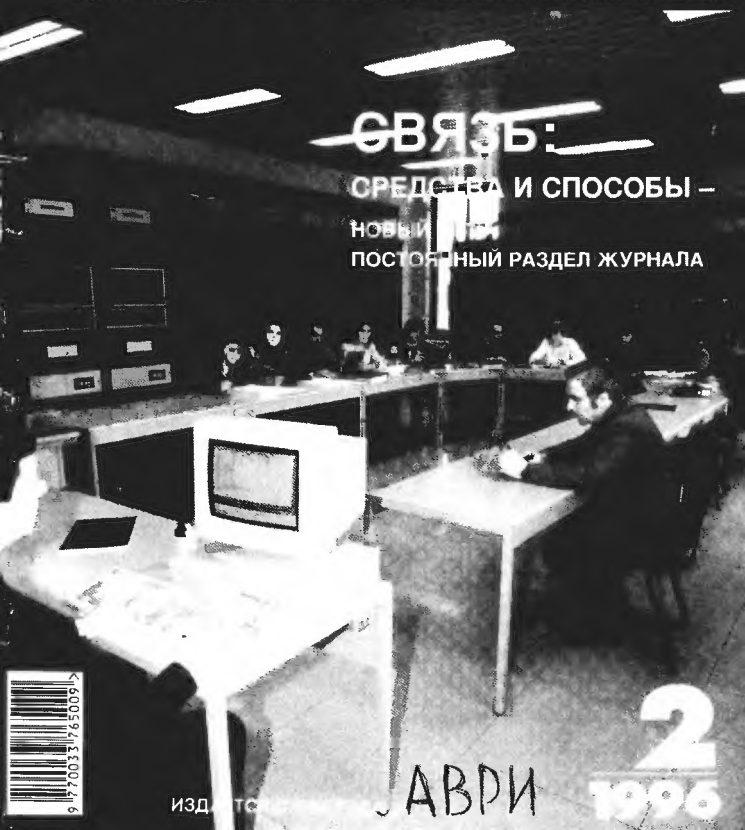
ISSN 0033-705X

# РАДИО

АУДИО • ВИДЕО • СВЯЗЬ • ЭЛЕКТРОНИКА • КОМПЬЮТЕРЫ

## СВЯЗЬ:

СРЕДСТВА И СПОСОБЫ —  
НОВЫЙ ИТ-РАЗДЕЛ  
ПОСТОЯННЫЙ РАЗДЕЛ ЖУРНАЛА



ИЗДАЕТСЯ

АВРИ

2  
1996

ТОЛЬКО ЧТО НАМ ПОЗВОНИЛИ



# ВАШИ КОНКУРЕНТЫ

И пока Вы читаете нашу рекламу, они скорее всего уже прислали к нам и изучают ассортимент. Наверняка купят что-нибудь такое, что Вы видели только на рекламных проспектах. А у нас уже продается.



А недавно нас посетил



капитан одного из лучших  
рыболовецких траулеров и купил  
настоящий эхолот...



убрал в карман  
и уехал.

На днях у одного  
нашего знакомого  
произошла  
неприятность



но он  
наш постоянный  
клиент и знает  
что у нас можно  
купить...



... очень надежную  
и современную  
станцию, которая  
нигде, кроме как  
у нас не продается



да еще  
с трех-  
летней  
гаран-  
тией.

И вообще,



наши средства связи помогают очень многим  
людям. И не только в работе, но и в повседневной



жизни.

Но не расстраивайтесь, что на месте Ваших конкурентов оказались не Вы. Мы рады каждому новому человеку в нашем офисе. Да и сил у нас хватит, чтобы сделать связь не только надежной, но и просто удобной. В общем, связью без брака.



**ЮНИКОМ**  
ТЕЛЕКОМУНИКАЦИИ

тот самый телефон :



(095) 930 80 80

# РАДИО

2 • 1996

МАССОВЫЙ ЕЖЕМЕСЯЧНЫЙ  
НАУЧНО-ТЕХНИЧЕСКИЙ ЖУРНАЛ

аудио • видео • связь  
электроника • компьютеры

ИЗДАЕТСЯ С 1924 ГОДА

УЧРЕДИТЕЛЬ РЕДАКЦИЯ  
ЖУРНАЛА "РАДИО"

Зарегистрирован Комитетом РФ по  
печати 21 марта 1995 г.  
Регистрационный № 01331

Главный редактор

А. В. ГОРХОВСКИЙ

Редакционная коллегия:

И.Т. АКУЛИНИЧЕВ, В.М. БОНДАРЕНКО,  
С.А. БИРЮКОВ (отв. секретарь),  
А.М. ВАРБАНСКИЙ, А.Я. ГРИФ,  
А.С. ЖУРАВЛЕВ, Б.С. ИВАНОВ,  
А.Н. ИСАЕВ, Н.В. КАЗАНСКИЙ,  
Е.А. КАРНАУХОВ, В.И. КОЛОДИН,  
А.Н. КОРОТКОШКО, В.Г. МАКОВЕЕВ,  
В.В. МИГУЛИН, С.Л. МИШЕНКОВ,  
А.Л. МСТИСЛАВСКИЙ,  
Б.Г. СТЕПАНОВ (зам. гл. редактора).

Художественный редактор

Г.А. ФЕДОТОВА

Корректор Т.А. ВАСИЛЬЕВА

Компьютерная верстка

Ю. КОВАЛЕВСКОЙ

Адрес редакции: 103045,  
Москва, Селиверстов пер., 10

Телефон для справок и группы  
работы с письмами — 207-77-28.

Отделы: общей радиоэлектроники —  
207-88-18,

аудио, видео, радиоприема  
и измерений — 208-83-05,

микропроцессорной техники и тех-  
нической консультации — 207-89-00,

формирования — 207-71-69,

группа рекламы и реализации —  
208-99-45.

Тел./факс (095) 208-77-13;  
208-13-11.

"КВ-журнал" — 208-89-49

РИП "Символ-Р" — 285-18-41.

Наши платежные реквизиты: почто-  
вый индекс банка — 101000; для ин-  
дивидуальных плателщиков и орга-  
низаций г. Москвы и области — ИИН  
7708023424, ЗАО "Журнал "Радио",  
р/сч. 400609329 в АКБ "Бизнес" в  
Москве, МФО 44583478, уч. 74; для  
иногородних организаций-плателщи-  
ков — р/сч. 400609329 в АКБ "Бизнес",  
МФО 201781, корр. сч. 478161600 в  
РКЦ ГУ ЦБ.

Редакция не несет ответственности за  
достоверность рекламных объявлений

Подписано к печати 18.01.1996 г.  
Формат 60х84/8. Бумага мелованная.  
Гарнитуры "Гальетика" и "Прагма-  
тика". Печать офсетная. Объем 8,0  
печл., 4,0 бум. л. Усл. печ. л. 7,4.

В розницу — цена договорная

Подписной индекс по каталогу  
"Роспечати" — 70772

Отпечатано UPC Consulting LTD  
(Vaasa, Finland)

© Радио, 1996 г.

РАДИОКУРЬЕР

4

ТЕХНИКА НАШИХ ДНЕЙ

6

О. Склеров ВОЛОКОННО-ОПТИЧЕСКИЕ СИСТЕМЫ ПЕРЕДАЧИ ИНФОР-  
МАЦИИ

ВИДЕОТЕХНИКА

8

А. Пескин. Микросхемы TDA466\*\* В МНОГОСИСТЕМНОМ ДЕКОДЕРЕ. МИК-  
РОСХЕМА TDA4660 — ЛИНИЯ ЗАДЕРЖКИ С ПЕРЕКЛЮЧАЕМЫМИ КОН-  
ДЕНСАТОРАМИ

ПОЗДРАВЛЯЕМ С ЮБИЛЕЕМ

10

ГЛАВНОМУ ВУЗУ СВЯЗИСТОВ — 75 ЛЕТ

ПРОМЫШЛЕННАЯ АППАРАТУРА

11

Л. Васильева. МАГНИТОЛА "ВЕГА РМ-252С"

ЗВУКОТЕХНИКА

14

В. Поляков. ИМПУЛЬСНЫЙ СТАБИЛИЗАТОР СКОРОСТИ ВРАЩЕНИЯ ДВИ-  
ГАТЕЛЯ ЛПМ. И. Потанин. ПИКОВЫЙ ИНДИКАТОР МОЩНОСТИ (с. 16)

МИКРОПРОЦЕССОРНАЯ ТЕХНИКА

20

Ю. Архипов. ИЗ ОПЫТА РАБОТЫ С "ОРИОНОМ-128". В Чернышов. ЧЕР-  
ТЕЖИ ПЕЧАТНЫХ ПЛАТ — НА "Радио-86РК" (с. 23). Ю. Осоцкий. ПРО-  
СТОЙ ПРОГРАММАТОР ДЛЯ "РАДИО-86РК" (с. 26)

ИЗМЕРЕНИЯ

28

А. Немич. ПРОСТОЙ ТЕСТЕР. С. Пузырьков. МАЛОГАБАРИТНЫЙ ЧАСТО-  
ТОМЕР (с. 29)

ПЕЙДЖИНГОВАЯ СВЯЗЬ — ВЧЕРА, СЕГОДНЯ, ЗАВТРА ... GPS — ЗОЛО-  
ТОЙ ВЕК НАВИГАЦИИ. ДОБРО ПОЖАЛОВАТЬ — 27 МГц

"РАДИО" — НАЧИНАЮЩИМ

40

И. Нечаев. ТРИ ПРОГРАММЫ НА АБОНЕНТСКИЙ ГРОМКОГОВОРИТЕЛЬ.  
И. Нечаев. КОРОТКОВОЛНОВАЯ ПРИСТАВКА К РАДИОПРИЕМНИКУ (с. 42)

ЭЛЕКТРОННЫЕ МУЗЫКАЛЬНЫЕ ИНСТРУМЕНТЫ

45

В. Баников. ТРЕХТОНАЛЬНЫЕ МУЗЫКАЛЬНЫЕ СИГНАЛИЗАТОРЫ

ЭЛЕКТРОНИКА ЗА РУЛЕМ

48

С. Бирюков. ЭЛЕКТРОННЫЙ БЛОК ЗАЖИГАНИЯ

РАДИОЛЮБИТЕЛЮ-КОНСТРУКТОРУ

52

Е. Коновалов. КВАЗИРЕЗОНАНСНЫЙ ПРЕОБРАЗОВАТЕЛЬ НАПРЯЖЕНИЯ

ЗА РУБЕЖОМ

56

ПРОСТОЙ ДЕТЕКТОР. ТЕРМОРЕГУЛЯТОР ДЛЯ АКВАРИУМА (с. 56)

СПРАВОЧНЫЙ ЛИСТОК

57

В. Гаврилов, В. Тюх. МОЩНЫЕ ТЕРМОРЕЗИСТОРЫ С ОТРИЦАТЕЛЬНЫМ  
ТКС. Л. Ломакин. ПОСТОЯННЫЕ КОНДЕНСАТОРЫ К73-21 (с. 57)

К НАШИМ АВТОРАМ

60

Обмен опытом (с. 15, 30). На книжной полке (с. 51). Доска объявлений (с. 17—19, 27,  
39, 44, 47, 55, 61—66). Наша консультация (с. 59)

НА ПЕРВОЙ СТРАНИЦЕ ОБЛОЖКИ. В феврале 1996 года исполняется 75 лет Московско-  
му техническому университету связи и информатики. На фото: кабинет учебного центра цифро-  
вой связи "Москостател Трейнинг" университета. Интервью ректора МТУСИ читайте на стр. 10.

Фото В. Афанасьева

ПРОДОЛЖАЕТСЯ ПОДПИСКА НА "КВ ЖУРНАЛ" НА 1996 г.

195  
**КВ**  
ЖУРНАЛ



Стоимость индивидуальной подписки (за год выйдет 4 но-  
мера), включая пересылку на домашний адрес: внутри Рос-  
сии — 20000 руб., для членов Союза радиолубителей России  
— 18000 руб., для стран СНГ — 30000 руб., для остальных  
стран — 8 долларов США. Деньги следует переводить на рас-  
четный счет ЗАО "Журнал "Радио".

При подписке в один адрес десяти и более экземпляров  
журнала дается 10-процентная скидка. Аналогичная скидка  
предусмотрена при покупке в редакции 10 и более экземп-  
ляров одного номера.

В редакции есть все номера "КВ журнала" за 1994 и 1995 гг.  
При покупке годового комплекта — скидка. Имеется немного  
экземпляров журнала № 6 за 1993 г. Справки по телефону  
207-77-28.

Редакция "КВ журнала"

## АО SIAULIO TAURAS ЛИХОРАДИТ

Литовское АО Siauilio Tauras, производящее телевизоры "Таурус", находится под процедурой банкротства. Несмотря на это, предприятие надеется в 1996 г. увеличить производство телевизоров на 10 тыс. шт. в месяц. В конце предыдущего года на предприятиях АО производилось по 5 тыс. цветных телевизоров, в которых использовались микросхемы фирмы Philips. Как утверждает администрация предприятия, наличие рынка сбыта на продукцию Siauilio Tauras позволило бы и раньше увеличить месячный объем выпуска, но для этого не хватало оборотных средств. Текущие долги АО достигли к концу 1995 г. 110 млн литов, причем 70% этой суммы составляет пеня. Оборот предприятия за девять месяцев предыдущего года составил 37 млн литов. Предприятие находится в жестком кризисе, за последние 20 месяцев численность сотрудников сокращена на 10%. Чтобы расплатиться с кредиторами, которым АО задолжало около 200 тыс. литов, оно было вынуждено продать несколько зданий.

"Коммерсант-DAILY"

## GRUNDIG СТРЕМИТСЯ В РОССИЮ

Германской компании Grundig исполнилось 50 лет. Основанная Максом Грюндигом в 1945 г., она стала одним из крупнейших европейских производителей бытовой электроники.

В России свой голубчик юбилей Grundig отмечает открытием представительства в Новосибирске. Именно с Сибири, по замыслу немцев, должно начаться движение изданий фирмы в российский регион.

Однако Grundig придет туда не на пустом месте — сибирские регионы уже "осваивают" такие фирмы, как Sony, Matsushita, Samsung, Philips и другие. Поэтому Grundig разработала специальный план проникновения в Сибирь, который предусматривает создание фирменных бюро в Новосибирске и Иркутске и консигнационного склада в Омске. Местные представительства будут заниматься маркетингом, а также созда-



Всеголовный приемник  
"Satellit 700" фирмы Grundig

вать торговую и сервисную региональную сеть.

Главная ставка в региональной программе Grundig делается на широкий ассортимент аппаратуры, как имеющей прямые аналоги (по цене и оснащенности) у конкурентов, так и на нетрадиционные модели.

"Салон AV"

## ТЕЛЕПОРТ В ЕКАТЕРИНБУРГЕ

Немногие знают, что в 1941 г., когда гитлеровская армия стояла под Москвой, сводки Совинформбюро передавались из радиостудий Свердловска. Отсюда же, через радиостанцию РВ-5 с трансляцией другими радиостанциями страны, передавались в эфир сводки о важнейших событиях, последние новости и распоряжения Верховного Главнокомандующего. Об этом говорилось на состоявшейся в мае в Екатеринбурге областной научно-практической конференции, посвященной на тему "100-летие с начала использования электромагнитных волн для передачи сообщений и зарождения радиотелевидения".

Сегодня же в Свердловской области работают 410 радиотелеузлов, полностью радиодифференцированы 290 крупных населенных пунктов, число радиотелеузлов достигло 2,5 млн, большинство населения смотрит по четырем программам телевидения.

Известный в области и за ее пределами Егоршинский радиозавод выпускает новые радиостанции "Заря-2/16", "Аквафория", радиостанции "Аква", "Ангара", "Ассоль". Здесь же освоен выпуск радиопередатчика "Баркас", ко-

торый успешно применяется на морских судах.

Интенсивно развивается спутниковая связь. В 1994 г. здесь создан консорциум "Телеурал", в который вошли российский-американское совместное предприятие "Рустел", TOO TTT, АО "Уралтелеком", Екатеринбургская городская телефонная сеть, Екатеринбургская телефонная станция и концерн "Рифей". Цель создания консорциума — коммерческая эксплуатация спутникового телепорта в Екатеринбурге как части сети связи ПО "Рустел", охватывающей ряд регионов России.

"Вестник связи"

## ВТОРАЯ ПОПЫТКА PHILIPS

Компания Philips намерена инвестировать 50 млн долларов в развитие крупнейшего российского производителя кинескопов — Воронежского завода ВЭЛТ. Эти средства, по сообщению представительной компании, пойдут на первоначальные инвестиции и расширение производства.

Наряду с Philips, догн в акционерном капитале ВЭЛТ имеет Европейский банк реконструкции и развития (ЕБРР). Предполагается, что Philips с ЕБРР станут держателями контрольного пакета акций, который составляет около 70%.

В настоящее время объем выпуска продукции на заводе ВЭЛТ составляет 1,8 млн кинескопов в год. По планам компании выпуск высококачественных кинескопов должен возрасти к 1999 г. до 3 млн. Дополнительно ВЭЛТ будет выпускать 1,5 млн комплектов изделий, которые Philips пла-

тирует использовать для сборки кинескопов на своих заводах в Испании и Австрии. Это уже вторая попытка всемирно известной компании закрепиться на российском рынке. В 1986 г. она впервые выполнила для России заказ — поставила около 50 тыс. электрических лампочек для освещения Зимнего дворца в Санкт-Петербурге. К 1916 г. фирма Philips поставила в Россию по 2 млн. лампочек в год.

"Эксперт"

## БАНКРОТСТВО "ЭЛЕКТРОНА"

В числе официально объявленных предприятий-банкротов на Украине оказалось акционерное общество "Львовский завод цветных телевизоров "Электрон-Рясне". Долг телевизионщиков составил 17 млрд карбованцев, что эквивалентно 100 тыс. долларов. В областном арбитражном суде обсуждается дальнейшая судьба предприятия, оснащенного лучшей японской техникой, где работает около 6000 сотрудников.

Когда предприятие обанкротилось, выяснилось одна существенная деталь: имущество принадлежало телевизионному магнату Украины — концерну "Электрон". Четыре года назад его Рясненский завод, где собирались лучшие в Советском Союзе телевизионные приемники, отделился и создал свое акционерное общество. Однако оказалось, что регистрация и создание АО было незаконным, противоречило всем существующим международным нормам. Между тем за прошедшее время новые собственники наделили немало долгов, а кредиторы требуют деньги или телевизоры.

"Инженерная газета"

## "25ГДШ-1-4"

25ГДШ-1-4 — это широкополосная динамическая головка прямого излучения, предназначенная для использования в бытовой звуковоспроизводящей аппаратуре. Новую головку отмечает улучшенное качество звучания, повышенная устойчивость к механическим и климатическим воздействиям, отсутствие дребезга и призвуков при работе в условиях высокого уровня шумов автомобиля. Небольшая масса диффузора головки

25ГДШ-1-4 при повышенной выходной мощности позволяет изготовителям звуковоспроизводящей аппаратуры получить возможность применить одну широкополосную головку вместо двух (высоко-частотной и низкочастотной) и исключить таким образом раздельный фильтр.

Ряд преимуществ несет и конструкция головки 25ГДШ-1-4. Ее закрытая магнитная система



практически не имеет внешнего поля рассеяния, влияющего на работу других устройств. Примененный в головке магнит из редкоземельного материала по своим характеристикам значительно превосходит такие традиционно применяемые для этих целей материалы, как феррит и сплавы ЮНДК, а по стоимости не превышает последние. Выполняющая функцию диафрагмы трехслойная сотовая алюминиевая пластина при малой массе обладает большой жесткостью, что в сочетании с мягким подвесом позволяет получить поршневой характер колебаний головки в широком диапазоне частот. Каркас звуковой катушки 25ГДШ-1-4 изготовлен из алюминиевой фольги, что улучшает теплоотдачу и обеспечивает высокую надежность работы головки. Параметры головки 25ГДШ-1-4 позволяют использовать ее для комплектации выпускаемых Муромским радиозаводом автоматизированных "Старт-203", а закрытая магнитная система и малая масса дают возможность рекомендовать ее для работы в отечественных телевизионных приемниках.

Основные технические характеристики головки. Предельная звуковая мощность — 25 Вт, предельная кратковременная мощность — 75 Вт; эффективный рабочий диапазон частот при неравномерности АЧХ — 14 дБ — не выше 75...14000 Гц; уровень характеристики чувствительности — 87 дБ, полный коэффициент гармонических искажений при мощности, соот-

ветствующей номинальному звуковому давлению на частотах 200, 400, 1000, 6300 и 10000 Гц, — не более 1,3; 0,3, 0,5; 0,8 и 0,4% соответственно; габариты головки — 125x51 мм, масса — 0,83 кг.

## CD-ВИДЕО-ПРОИГРЫВАТЕЛИ

Российский потребитель уже привыкает к проигрывателям компакт-дисков (ПКД) и даже однозначно отдает ему предпочтение перед другими источниками музыкальных программ несмотря на довольно высокую стоимость самих ПКД и дисков. Это заметно по специализированным магазинам, на полках которых грампластинки уже уступают место компакт-дискам. ПКД перестал быть в нашем доме экзотикой.

Что же дальше? Фирма MATSUSHITA, известная бытовому радиоэлектроникой с торговыми марками "Panasonic", "Technics", предложила новинку — видеопроектор компакт-дисков (ВПКД). Она надеется, что при массовом производстве ВПКД стоимость самого дешевого из них будет на уровне хорошего видеоманитрона (примерно \$ 500—700).

Заманчивы технические возможности ВПКД. Так, например, у модели аппарата "Panasonic LX-H670" (\$ 750—800) разрешение по вертикали 430 линий (видеоманитрон — 250, эфирное телевизионное вещание редко уда-

ется принять с четкостью более 400 линий). Эта модель имеет корректор временных искажений, цифровой шумоподаватель, в ней предусмотрено программирование воспроизведения до 20 фрагментов, а также автоматическое "переворачивание" диска — двухкассовый фильм можно просмотреть на отрывках из кресла. Видеofilmные записки по системе NTSC и без синхронного перевода. Правда, не исключена возможность, что в скором времени появятся программы и на русском языке.

Фирма MATSUSHITA намеревается поставлять в Россию пять моделей видеопроекторов. Их цена — от 500 до 1300 долл.

## РАЗВЛЕКАЙТЕСЬ С CD+OK!

Система CD+OK — новинка в развлекании. KARAOKЕ, созданная фирмой SAMSUNG ELECTRONICS на основе технологий компакт-дисков CD-ROM. Взяв всего лишь один такой диск, пользователь получает в свое распоряжение до 7000 песен с титрами текстов и 4000 цветных изображений, которых вполне достаточно для того, чтобы организовать большой вечер песен.

Система CD+OK основана на принципе сжатия информации: при записи на компакт-диск Программа предлагает три режима использования — свободный выбор из перечня записанных песен, случайная

последовательность выбора и режисс в стиле попмузыки.

Предлагаемая фирмой производителем "SAMSUNG KCD-11" построен с учетом новейших достижений аппаратов лазерной техники — быстрый доступ к любому фрагменту записи (не более 2 с), управление с пульта ДУ, возможность изменения тональности и темпа исполнения, искусственное эхо, подключение двух микрофонов для исполнения дуэтом.

После того, как вы споете, система CD+OK дает оценку вашего исполнения и на экране появляются соответствующие баллы. Если песня исполнена действительно хорошо и получена более 80 баллов, вы услышите в свою честь звуки фанфар. Аппарат полностью совместим с проигрыванием обычных компакт-дисков.

## СКАЗКИ НА CD-ROM

Весной 1995 г. вышел в издательстве CompactBook Publishing первый российский интерактивный мультфильм на CD-ROM диске "Кот в сапогах". Он состоит из девяти страниц-экранов. На каждой из них демонстрируется озвученный соответствующий фрагмент сказки.

"Кот в сапогах" — первый компакт-диск из детской серии "РС перед сном". К выпуску подготовлены "Золотая рыбка" (по сказке А. С. Пушкина) и "Пой со мной, малыш".

"HARD"n"SOFT"



## ПОЗДРАВЛЯЕМ!

Блестяще выступили российские спортсмены в первом чемпионате мира по скоростной телеграфии, который состоялся в конце прошлого года в Венгрии. В чемпионате приняли участие команды пятнадцати стран трех континентов. Абсолютными чемпионами мира стали Станислав Заленов и Лия Келанди, а Алла Вахова, Наталья Дубчук и Олег Беззубов завоевали чемпионские титулы по отдельным упражнениям. Сборная России заняла первое место в командном зачете. На нашем фото чемпионы мира: первый ряд — Эльвира Аюткина, Елена Волкова, Андрей Беллов, Олег Беззубов, Станислав Заленов, второй ряд — Алла Вахова, Лия Келанди, Наталья Дубчук, Надежда Казакова (тренер сборной России). Участие сборной команды страны в первом чемпионате мира было обеспечено совместно Российской общероссийской спортивной организацией и Союзом радиолобителей России.



ростом передачи информации 34,368 Мбит/с. Магистральные сети могут обеспечить четвертичные цифровые системы "Сопка-4", работающие с длиной волны 1,3 мкм. Выпуск модернизированного комплекса "Сопка-4м" позволит существенно увеличить длину регенерационного участка — с 30 км (для "Сопки-4") до 50...70 км ("Сопка-4м"). Разработана также аппаратура для системы "Сопка-5", которая сможет передавать цифровую информацию со скоростью 666,4672 Мбит/с при максимальной длине регенерационного участка 70 км. Сейчас ведется проектирование аппаратуры "Сопка-6" для скорости передачи информации 2,4 Гбит/с.

Действующие, строящиеся и планируемые оптические магистрали с такими высокими возможностями передачи крупных массивов информации, с огромной скоростью стали реальностью благодаря появлению современных видов оптического кабеля (ОК) и быстрому научно-техническому прогрессу в разработке и в освоении производства его главной составной части — оптического волокна (ОВ).

В настоящее время в кабелях применяют два основных класса оптического волокна: многомодовое и одномодовое.

Многомодовые волокна выпускаются промышленностью двух типов: со ступенчатым и градиентными профилями показателя преломления. Оба типа волокна рассчитаны для работы в диапазонах 0,85 мкм и 1,3 мкм.

Многомодовые ОВ отличаются большим диаметром сердцевины (50 мкм), что позволяет вводить в волокно большую мощность и облегчает операцию сращивания ОВ. Высокая ширина полосы пропускания градиентных волокон (1000–1500 МГц) обеспечивает жестким контролем формы профиля показателя преломления при его изготовлении. Это удается достигнуть на базе тонкой технологии производства.

В настоящее время применяется несколько типов одномодовых ОВ. Один из них — стандартное одномодовое волокно для работы в диапазоне 1,3 мкм имеет потери 0,4 дБ/км и почти не реагирует на потери, вызванные макро- и микроизгибами линии.

На основе стандартного одномодового ОВ производится усовершенствованное волокно, которое предназначено для работы в двух окнах прозрачности кварцевого материала 1,3 и 1,55 мкм. Его затухание в диапазоне 1,55 мкм удвоится по сравнению с 0,2 дБ/км.

Освоен также производство одномодового ОВ для работы на  $\lambda = 1,55$  мкм с так называемой нулевой дисперсией (исчезающей оптической дисперсией). Такие волокна применяют в кабелях для перспективных высокоскоростных линий связи с регенерационными участками большой длины, особенно для транскаспийских волоконно-оптических систем передачи (ВОСП). Кроме того, освоено выпуск одномодового ОВ с выравненной (близкой к нулю) дисперсией в интервале длин волн 1,3...1,55 мкм. Этот тип ОВ пока сложен в производстве, и поэтому имеет высокую стоимость, что ограничивает его применение.

Основными производителями ОВ зарубежом являются фирмы AT&T (США) и NEC (Япония). Американцы вошли на уровень минимального затухания 0,18 дБ/км на длине волны 1,55 мкм, а японцы — 0,2 дБ/км. Лучшие естественные образцы одномодовых ОВ для работы в диапазоне 1,55 мкм имеют потери 0,25 дБ/км, а в диапазоне 1,3 мкм — 0,4 дБ/км, что мало уступает мировому уровню.

Из тех или иных классов оптических волокон изготавливают в соответствии с назначением и областью применения различные волоконно-оптические кабели. Их десятки марок, применяемых на городских, магистральных и внутризональных ВОЛС. В них используются как многомодовые, так и одномодовые волокна. Такие кабели содержат 4, 8 или 16 оптических волокон, а их общий диаметр соответственно 15,3 или 18,2 мм.

Значительный прогресс наблюдается в создании и таких важных элементов ВОСП, к которым относятся источники оптического излучения. В качестве излучателей ныне широко применяются полупроводниковые лазеры и светодиодные диоды (СД). Они соответствуют одному из окон прозрачности ОВ (0,85 мкм, 1,3 мкм или 1,55 мкм). Лазеры также могут быть многомодовыми и одномодовыми. Последние, в свою очередь, подразделяются на несколько типов. При этом следует выделить так называемые РОС — лазеры с распределенной обратной связью и одночастотные лазеры. Стандартные полупроводниковые лазеры развивают мощность излучения 1 мВт. При этом спектр излучения многомодовых лазеров занимает полосу 2 нм, одномодовых — 0,2 нм. Оптические параметры современных лазеров зависят от температуры. Для ее стабилизации применяются микрополупроводники (элементы Пельтье), включаемые в специальную схему автоматической стабилизации.

О новых достижениях в области создания лазерных устройств была обнародована обширная информация на международной конференции по оптическим системам связи ЕОСС-95 в Брюсселе. Она состояла из отчетов прошлого года. В частности вызвали интерес сообщения о разработках различными фирмами полупроводниковых лазеров, способных работать без криогенных устройств в диапазоне температур от -40 до +85°C без регулировки температуры самого лазера, что, естественно, облегчает их применение. Мощность излучения таких приборов достигает 5...10 мВт при токах накачки от 3—5 мА (+25°C) до 30—50 мА (+85°C). При этом спектральный состав излучения также остается в пределах допустимых норм.

Отечественная промышленность производит полупроводниковые лазеры как многомодовые (ЛМГН-206, ЛМЗ-1300БТ), излучающие на длинах волн 1,3 мкм, так и одномодовые (РОМ-14, РОМ-19, РОМ-19-1, ДЛ-216-1А, ДЛ-216-2А, ДЛ-216-3А, ДЛ-216-В, ДЛ-234-В, ДЛ-354-2А, 2Б, 2С, РО-МО354-1,2 и др.). Они рассчитаны на длины волн 1,3 и 1,55 мкм. Их мощность от 1 до 10 мВт при токах накачки от 25 до 50 мА. Конструктивно лазеры выполнены в корпусе микрокроссы с 4 выводами. Кроме самого лазера, в этом корпусе встроены фотодиод для контроля излучаемой мощности, терморезистор и микрохоллоиды.

Большое внимание при совершенствовании элементов ВОЛС уделяется фотоприемникам, преобразующим энергию оптического излучения в электрический ток. В современных ВОЛС в качестве фотоприемников применяются р-п-и фотодиоды и лавинные фотодиоды (ЛФД). Они изготовлены либо на основе кремния (Si) для работы на длине волны 0,85 мкм, либо на основе германия (Ge) или сложного химического соединения (In-Ga) для диапазона 1,3...1,7 мкм. Это химическое соединение с примесью вольфрама Al позволило создать наиболее

современные фотоприемники. По сообщениям, на конференции ЕОСС-95 такие фотодиоды способны работать на частотах более 50 ГГц.

Промышленность России выпускает широкий спектр лавинных фотодиодов для ВОЛС: ЛФД-70Т (ЛТ), ЛФД-70, ФД-70, ЛФД-150Б, ЛФД-210 и т. д. Их основные параметры не уступают мировым образцам. Конструктивно они также выполнены в корпусе из микрокроссы. Часть из них, кроме самого фотодиода, содержит предвзятительные каскады усиления.

В последние два года на европейском и мировом рынках на базе использования последних достижений в разработке и выпуске основных элементов волоконно-оптических линий связи появились новые волоконно-оптические системы передачи. К ним, например, относятся STV-4 и STM-16. Они рассчитаны на передачу информации со скоростью соответственно 622 Мбит/с и 2,4 Гбит/с. В них применены принципиально новые элементы — волоконно-оптические усилители света. Это позволяет увеличивать длину регенерационного участка до 200 км. Именно такую аппаратуру намерено использовать при строительстве Транскаспийской магистрали ВОЛС.

Основой волоконно-оптических усилителей являются активные оптические волокна, легированные ионами редкоземельных элементов эрбия (для  $\lambda = 1,55$  мкм) или празеодима (для  $\lambda = 1,3$  мкм). Длина этого активного волокна, являющегося усилительным элементом, составляет от 0,6 до 10 м в зависимости от типа усилителя. В составе усилителя входят оптические изоляторы, пропускающие свет только в одном направлении, мультифлексоны, с помощью которых в активном волокно (с торца) вводится, кроме информативного излучения, еще и излучение от лазеров накачки на длине волны, меньшей длины волны информативного оптического излучения.

Существует два типа волоконно-оптических усилителей: усилитель мощности — его место в структуре на передающей стороне, и предусилитель, включаемый на приемной стороне линии. Кроме того, такой усилитель может быть включен вместо регенерационного пункта для компенсации потерь в промежуток между передающей и приемной сторонами. Кроме волоконно-оптических усилителей света, существуют полупроводниковые, которые в ряде случаев оказываются вполне конкурентны с волоконными.

Если говорить о перспективах развития ВОЛС, то просматривается тенденция к увеличению скоростей передачи информации. Уже разработана система STM-64 для передачи со скоростью 10 Гбит/с по спектральному уплотнению четырех потоков по 2,4 Гбит/с на различных длинах волн в диапазоне 1,55 мкм. Есть сообщения об успешных экспериментальных исследованиях по передаче информации со скоростью 40 Гбит/с. Теоретически доказана и возможность передачи информации на скоростях 100 Гбит/с.

Отметим, что при таких скоростях в ВОЛС не могут быть использованы блоки обычной электроники и поэтому разрабатываются новые элементы оптических методов обработки сигналов. Одним из таких элементов является оптический усилитель. Создаются также оптические аналоги электронных триггеров, коммутаторов с оптическим управлением, генераторов последовательности оптических импульсов, накопителей, интеграторов, линий задержки и фильтров.

# МИКРОСХЕМЫ TDA46\*\* В МНОГОСИСТЕМНОМ ДЕКОДЕРЕ

**Микросхема TDA4660 — линия задержки с переключаемыми конденсаторами**

**А. ПЕСКИН, г. Москва**

В предыдущей части статьи о многосистемном декодере были рассмотрены его структурная схема и формирователь-опознаватель TDA4650. Здесь пойдет речь о микросхеме-линии задержки с переключаемыми конденсаторами TDA4660.

Микросхеме TDA4660 представляет собой линию задержки цветоразностных сигналов с переключаемыми конденсаторами.

Структурная схема микросхемы TDA4660 изображена на рис. 4. Она состоит из двух каналов обработки цветоразностных сигналов и управляющей час-

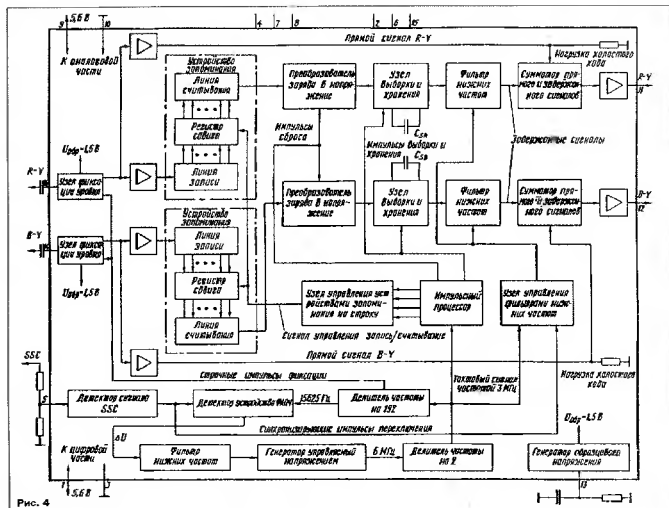
ти. Каждый канал цветоразностных сигналов содержит цепи прохождения незадержанного (прямого) сигнала и устройства, позволяющие задерживать его на длительность одной строки (64 мкс). В управляющую часть входит детектор сигнала SSC, генератор колебаний частотой 6 МГц, управляемый напряжением, устройство ФАПЧ, импульсный процессор и узлы формирования управляющих напряжений. В обоих каналах цветоразностных сигналов происходит сло-

женная прямая и задержанная сигналов так, что в результате формируются суммарные сигналы.

Все необходимые управляющие напряжения получаются внутри микросхемы из тактового сигнала частотой 3 МГц, который формируется делением на два частоты колебаний генератора. Он управляет через фильтр нижних частот напряжением, создаваемым детектором устройства ФАПЧ. На последнее поступают стробирующие импульсы от детектора сигнала SSC и импульсы строчной частоты (15625 Гц), формируемые делителем тактовой частоты на 192. В результате образуется кольцо обратной связи, поддерживающее стабильность фазы и частоты сигнала генератора. При малейшем отклонении этих параметров от номинальных значений на выходе детектора устройства ФАПЧ вырабатывается напряжение, воздействующее через фильтр на генератор и корректирующие их.

Благодаря тому, что устройство ФАПЧ управляется стробирующим сигналом, имеется непосредственная взаимосвязь частот строчной развертки и тактовой. Следовательно, микросхему можно использовать для различных систем с разными частотами строчной развертки. При работе с сигналами системы ПАЛ она работает как суммирующая, а в режиме обработки сигнала системы НТСЦ — как гребенчатый фильтр, уменьшая перекрестные искажения яркости-цветности. В обоих случаях размахи цветоразност-

Продолжение. Начало см. в "Радио", 1996, № 1.



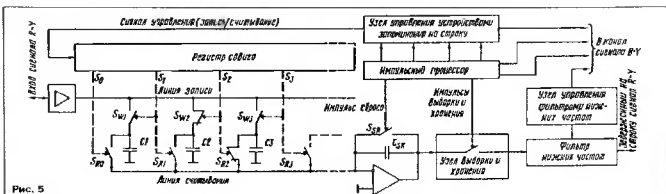


Рис. 5

ных сигналов на выходах микросхемы удваиваются по сравнению с входными (см. рис. 3 в предыдущей части статьи). В режиме CEKAM микросхема работает накопителем строк так, что задержанные цветоразностные сигналы попадают в разрыв прямых цветоразностных сигналов (см. рис. 3). При этом размахы об-  
щих выходных сигналов равны размахам сигналов на входах микросхемы.

ство запоминания содержит 190 таких конденсаторов и по 190 коммутаторов записи  $S_{w1}$  и считывания  $S_{r1}$ . Коммутаторами управляют импульсы записи и считывания ( $t = 333$  нс), формируемые на выходах  $S_1$  регистра сдвига, который, в свою очередь, управляется сигналом узла управления устройством запоминания. Одновременно с записью отсчета  $n$  на конденсатор  $C_n$  считывается предыдущий отсчет  $n-1$ , т. е. в тот момент, когда, например, конденсатор  $C_2$  подсоединен коммутатором  $S_{w2}$  к линии записи (уровню 1) для его зарядки напряжением цветоразностного сигнала; заряженный от этого конденсатор  $C_3$  через коммутатор  $S_{r3}$  и линию считывания передает заряд на его преобразователь в напряжение.

Преобразователь заряда на напряжение содержит накопительный конденсатор  $C_{sp}$ , коммутатор сброса  $S_{sp}$ , управляемый импульсным процессором, и каскад считывания/сброса, представляющий собой дифференциальный усилитель, прямой вход которого соединен с общим проводом. Путем попеременного замыкания конденсатора  $C_{sp}$  коммутатором  $S_{sp}$  на выходе каскада считывания/сброса формируются импульсы напряжения, в которых превратился накопленный на конденсаторе заряд. Это напряжение поступает на узел выборки и хранения, также управляемый импульсным процессором, а затем на фильтр нижних частот, подав-

ляющий компоненту частотой 3 МГц в задержанном сигнале.

В связи с тем, что частота строк 15625 Гц образуется в микросхеме делением на 192 частоты тактового сигнала 3 МГц и в микросхеме существует 190 накопительных конденсаторов, благодаря синхронизации генератора устройством ФАПЧ задержка сигнала с входа буферного усилителя до выхода преобразователя заряда в напряжении равна длительности одной строки без  $3\pi/2$ , так как узел выборки и хранения задерживает сигнал на  $t/2$ , а фильтр нижних частот — на  $t$ . В результате задержанный цветоразностный сигнал на выходе сумматора имеет задержку, точно равную периоду одной строки.

Для правильного согласования прямого и задержанного сигналов задержка фильтром нижних частот сигнала должна быть точно равна  $t$  как для систем ПАЛ и НТСЦ, так и для стандарта VCR. Устройство фильтра для достижения этого времени задержки должны быть привязаны к частоте строк, также как и все используемые в микросхеме генераторы и логические узлы. Для такой привязки в ней применен узел управления фильтрами нижних частот. Фильтры состоят из RC-структур, в которых номиналы элементов контролируются и регулируются сигналами с узла управления. Эти структуры похожи на описанные выше линии записи и считывания в устройствах запоминания, а роль импульсов с регистра сдвига выполняет импульсы с узла управления фильтрами. Узел генерирует импульсы длительностью, равной пяти циклам тактовых импульсов для каждой строки, следующих после синхронизирующего импульса переключения с детектора сигнала SSC. Время задержки фильтра зависит от ширины полосы его пропускания и может регулироваться. Оно определяется по его выходному напряжению в средней точке синхронизирующего импульса и в конце пятициклового импульса. Когда фильтр имеет правильную ширину полосы пропускания и, следовательно, задержку, разность между этими двумя измерениями напряжения равна нулю. В другом случае разность напряжений обеспечивает регулирование полосы частот (задержки) фильтра.

Прямой и задержанный цветоразностные сигналы складываются в сумматоре, при этом ошибка синхронизации между ними не должна превышать 90 нс.

После усилителя на выходах 11 и 12 микросхемы формируются цветоразностные сигналы отрицательной полярности с размахами 1,05 В (R-Y) и 1,33 В (B-Y) независимо от системы принимаемого сигнала.

(Продолжение следует)

# Основные технические характеристики

Напряжения питания на вы- водах 1 и 9, В.....	5,3...6
Ток, потребляемый цифровой частью (вывод 1), мА.....	1...2
Ток, потребляемый аналоговой частью (вывод 9), мА.....	4,5...8
Размах входного цветоразност- ного сигнала R-Y на выводе 16, В, в режиме: ПАЛ НТСЦ.....	0,53
CEKAM.....	1,05
Размах входного цветоразност- ного сигнала B-Y на выводе 14, В, в режиме: ПАЛ НТСЦ.....	0,67
CEKAM.....	1,33
Коэффициент передачи канала цветоразностных сигналов, дБ, в режиме: ПАЛ НТСЦ.....	4,5...6,5
CEKAM.....	(-0,5)...(+0,5)
Время задержки цветоразност- ных сигналов между входами (выводы 16 и 14) и выходами (выводы 11 и 12), мкс.....	63,64...64,06

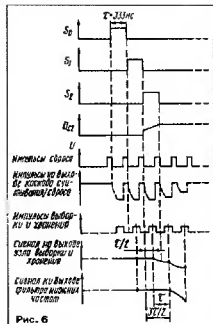
Цеторазностные сигналы через выво-  
ды 16 и 14 микросхемы попадают на узлы  
фиксации уровня, который равен 1,5 В, а  
после них — на буферные усилители пря-  
мого и задержанного сигналов в каждом  
канале. Узлы фиксации управляются  
строчными импульсами.

Прямые цветоразностные сигналы по-  
ступают на один из входов сумматоров,  
на вторые входы которых приходят за-  
держанные сигналы. Каналы прямых си-  
гналов имеют нагрузки холостого хода,  
чтобы их фазовые характеристики совпа-  
дали с характеристиками каналов задерж-  
анных сигналов, имеющих емкостные  
нагрузки.

Задержанные сигналы с буферных усилителей проходят на устройства запоми-  
нания, в которые входят регистры сдви-  
га и линии записи и считывания.

Рассмотрим для примера работу устрой-  
ства канала задержанного сигнала R-Y по  
структурной схеме на рис. 5 и осцилло-  
граммам в их характерных точках не  
рис. 6.

Сигнал с линии записи переключается  
параллельными переключателями  $S_{w1}$  на  
накопительные конденсаторы  $C_n$ . Устрой-



# ГЛАВНОМУ ВУЗУ СВЯЗИСТОВ — 75 ЛЕТ

Alma mater нескольких поколений российских связистов — Московский средне-Технический институт связи и информатики (МТУСИ) перешагнул порог своего семидесятилетия.

Основанный в 1921 г., много раз переименованный и преобразованный, он всегда оставался главной отраслевой кузницей кадров. И ныне — это крупнейший учебный и научный центр России по подготовке специалистов в области связи, радиотехники, информатики и электроники. На его факультетах — более 12 тысяч студентов, аспирантов и докторантов. На 48 кафедрах преподают свыше 800 преподавателей. В их числе — 12 действительных членов и членов-корреспондентов Российской Академии Наук и Российской Инженерной Академии, 72 профессора, 44 доктора и 400 кандидатов технических наук. За годы существования вуза 20 человек стали лауреатами Ленинской и Государственной премий, а семь — удостоены звания заслуженных деятелей науки и техники.

Выпускники МТУСИ — золотой фонд отрасли не только России, но и стран ближнего и дальнего зарубежья. Получая образование на базе самого современного отечественного и зарубежного оборудования, они выходят из стен родного вуза в совершенстве владея знаниями в области новейших технологий и разработок в приделах преподавания. В НИИ и КБ отрасли успешно участвуют в создании и эксплуатации современной техники связи. Это и многоканальные системы передачи информации по кабельным, радиорелейным, космическим и оптическим линиям связи. На их счету немало новейших разработок систем наземной и космической радиосвязи, радиовещания и телевидения. Специалисты с дипломом МТУСИ работают в области автоматизации технологических процессов, программного обеспечения вычислительной техники и автоматизированных систем и т.д.

О подготовке кадров связистов, о возможностях дальнейшего совершенствования их знаний познакомит читатель журнала "Радио" интервью ректора МТУСИ академика РИА, доктора технических наук, профессора Вагана Вагановича Шахматидзе, которое он дал нашему корреспонденту Г. Тарамыной.

— Ваган Ваганович! В последние два-три года произошел резкий скачок в развитии российских телекоммуникаций, в частности — в совершенствовании систем связи, внедрении новейших мировых технологий и разработок. Каким образом это отразилось на методике обучения?

— Процесс, о котором Вы говорите, конечно, отразился на системе обучения наших студентов.

Прежде всего следует сказать, что сейчас обучение ведется по 13 специальностям, в том числе по направлениям, появившимся на телекоммуникационном поле совсем недавно. Я имею в виду мобильные и космические системы, цифровые системы передачи данных, программирование, прикладную математику, экономическую информатику и АСУ.

Исходя из потребностей рынка, мы ввели в курс обучения большой блок экономических дисциплин — по организации и планированию внешнеэкономических связей, маркетингу, менеджменту. В последние годы получила развитие и робототехника. Сохранились, конечно, и традиционные факультеты.

В 1996 г. планируем ввести обучение по подвижной связи, а в дальнейшем — по аудиовизуальной технике, оптическим систе-

мам передачи информации. Что же касается методов обучения, то могу сказать, что реформы, происходящие в области образования, коснулись и нас.

— В чем это проявляется?

— Еще в 1992 г. университет приступил к реализации так называемой многоуровневой структуры высшего образования по направлению "Телекоммуникации". Это значит, что студент может получить неполное высшее образование (в этом случае он учится 3,5 года и получает диплом младшего специалиста) базовое высшее образование (обучение длится в течение четырех лет, после чего студент получает диплом с присвоением ему академической степени бакалавра технических наук), полное высшее образование (обучение пять лет) с присвоением квалификации дипломированного специалиста и, наконец, полное высшее образование (обучение в течение шести лет) с вручением диплома о присвоении академической степени магистра наук.

— Кто определяет тот или иной уровень обучения?

— Сам студент. Но, конечно, учитывается и мнение Ученого совета университета. Здесь же хочу заметить, что одновременно с введением многоуровневой системы образования мы изменили и форму преподавания. Если раньше занятия велись по жесткому учебному плану, то теперь студент сам выбирает, по каким дисциплинам он будет заниматься больше, по каким меньше.

— Не случится ли так, что обретя достаточную свободу, студент в конечном итоге получит усеченное образование?

— Это исключено. Самостоятельно выбрать не означает безответственность. Сейчас, когда нет разграничения, когда каждый понимает, что именно он хочет, это не будет препятствием ни для одного предпринятия или компании, заинтересованной в получении фундаментальных знаний существенно возросло. Более того, возросла и эффективность обучения, поскольку студент, исходя из своих возможностей, а также из прикидки на будущее, сам регулирует систему занятий, углубляя свои знания по наиболее важным для него дисциплинам.

— Однако, чтобы получить знания, соответствующие современному уровню развития связи, а ориентация сейчас исключительно на мировые стандарты, необходима соответствующая техническая база?

— В университете она есть. Во-первых, МТУСИ достаточно хорошо оснащен современной техникой, хотя хотелось бы, чтобы ее было больше. Во-вторых, на базе университета совместно с ведущими зарубежными телекоммуникационными компаниями создано четыре тренинг-центра, оснащенных аппаратурой высочайшего технологического уровня. В частности, в конце сентября прошлого года мы совместно с "Интел СМТ" открыли учебный центр цифровой связи "Моспитал Трейнинг". Он создан для российских заказчиков, приобретающих или эксплуатирующих оборудование, производимое компанией "Интел".

Такой же центр, только со шведской компанией "Эрикссон", известной во всем мире как производитель самых современных систем проводной и подвижной связи, мы открыли в конце 1995 г. В нем обучению будет проводиться совсем основным направлениям деятельности компании, включая мобильные радиосети, бизнес-связь, передачу данных, энергетические и коммуникационные системы, сетевое оборудование.

Пока в этих центрах проходят переподготовку операторы связи — но в дальнейшем



планируем на базе созданных центров обучать и студентов.

Есть в университете учебный вычислительный центр, оснащенный современными ЭВМ, мини-ЭВМ и персональными компьютерами, научно-исследовательский центр, телепорт, осуществляющий связь с Америкой через систему "Интелсат" по цифровым каналам. Наконец, МТУСИ связан со всеми крупными институтами мира, готовящими специалистов в области связи, куда мы и посылаем на стажировку своих студентов.

— Ориентация на мировой опыт требует соответствующих знаний и от преподавателей?

— Безусловно. Хочу подчеркнуть, что университет укомплектован высококвалифицированными преподавательскими кадрами. Многие из них прошли и ежегодно проходят стажировку в зарубежных институтах связи. В частности, мы очень эффективно сотрудничаем с техническими вузами Мадрида, Парижа, Нью-Йорка, таких стран, как Монголия, Китай, Венгрия, Германия. Правда, сейчас университет переживает не лучшее время из-за недостаточного финансирования и в силу этого может лишиться многих высококлассных специалистов. Это нас очень тревожит.

— На фоне всеобщей коммерциализации общества, что Вы можете сказать о перспективах профессионализма?

— Сейчас престижность нашего университета достаточно высока. Об этом говорит хотя бы тот факт, что за последние годы резко увеличился конкурс его абитуриентов. Если три-четыре года назад конкурс экономического факультета составлял 1,2 человека на место, а на некоторые технические факультеты был недобор студентов, то теперь конкурс на экономический факультет доходит до 11 человек на технические факультеты — до 4,5 человека на место.

Что касается будущего наших выпускников, то сегодня они более обнадеживающие, нежели раньше. Отрасль стремительно развивается, появляются новые, перспективные направления деятельности организаций связи. Рынок насыщается аппаратурой мирового уровня, открывается огромное количество коммерческих предприятий связи. В общем, поле деятельности — огромное. А следовательно, большинство наших выпускников найдет свое место в жизни.

— Спасибо за беседу, Ваган Ваганович. Желаем успеха Вам и Вашему университету.

# МАГНИТОЛА

## «ВЕГА РМ-252С»

Л. ВАСИЛЬЕВА, г. Москва

Бердское АОТ «БСКБ» (бывшее ПО «Вега») — один из крупнейших производителей радиоаппаратуры у нас в стране. На протяжении многих лет журнал «Радио» регулярно публикует материалы о продукции этого предприятия. Однако в последнее время на страницах журнала рассказывалось лишь о сервисных возможностях и технических характеристиках радиоаппаратуры марки «Вега». В публикуемой ниже статье читателям предлагается более подробное описание одного из изделий этого предприятия — магнитолы «Вега РМ-252С».

Двухкассетная магнитола «Вега РМ-252С» (рис. 1) рассчитана на прием радиовещательных станций в диапазонах длинных 148,0...286,0 кГц (2027,0...1050,0 м); средних 525,0...1607,0 кГц (571,0...186,7 м); коротких 9,35...12,0 МГц (32,0...24,8 м) и ультракоротких 65,8...74,0 МГц (4,56...4,06 м) волн. В диапазоне УКВ возможен прием стереофонических программ по системе с поляризацией модуляции.

Магнитола имеет две магнитофонные панели МП-А и МП-В. Первая из них рассчитана только на воспроизведение магнитных фонограмм, а вторая — как на воспроизведение, так и на запись программ от внешних источников звуковых сигналов и от собственного радиоприемника и воспроизводящей магнитофонной панели магнитолы «Вега РМ-252С» обеспечивает переключением магнитных лент в кассетах МК60 и МК90 с МП-А на МП-Б с номинальной (4,76 см/с) и повышенной (9,53 см/с) скоростями; последовательное воспроизведение фонограмм, синхронный пуск ЛПМ МП-А и МП-Б, реверс МП-А, временный останов ленты МП-Б при записи и воспроизведении без выключения магнитофонной панели, автостоп ЛПМ МП-Б при окончании ленты в кассете во всех режимах его работы. В магнитоле имеется также АРУЗ, контроль записываемого сигнала с помощью прослушивания, индикация уровня воспроизведения.

«Вега РМ-252С» снабжена разделителями для каждого канала регуляторами громкости, четырехполосными двухканальными регуляторами тембра (жидкая зеркала), отключаемыми системами автоподстройки частоты и бесшумной настройкой в диа-

пазоне УКВ, индикатором наличия стереосигнала, неотключаемым автоматическим регулятором уровня записи, индикатором выходного сигнала тракта магнитной записи, индикатором включения в сеть.

Магнитола может питаться от сети переменного тока с помощью внешнего блока питания и от автономного источника (восьмью элементами А343 «Прима»).

Основные технические характеристики. Чувствительность по напряженности поля, ограниченной шумами, при соотношении сигнал/шум не менее 20 дБ в АМ тракте и не менее 26 дБ в ЧМ тракте, в диапазонах ДВ — не хуже 2,0, СВ 1,2, КВ 0,3 мВ/м и УКВ 35 мкВ/м, односторонняя избирательность по зеркальному каналу в диапазонах ДВ — не менее 30, СВ — 26 КВ 12 и УКВ — 28 дБ; разделение стереоканалов на частотах 315 Гц — не менее 14, 1000 Гц — 20, 5000 Гц — 14 дБ; коэффициент гармоник по электрическому напряжению на частоте 1000 Гц в ЧМ тракте — не более 2,5, в АМ тракте — не более 5 %; максимальная выходная мощность при питании от сети 2 Вт, от автономных источников — 2х1,2 Вт, диапазон регулировки тембра на всех частотах воспроизводимых частот по звуковой длине тракта АМ — 160...3550 Гц; ЧМ (в стереофоническом режиме) — 63...10000 Гц, номинальная скорость ленты — 4,76 см/с, возможное значение девиации — не более 10,3 %; эффективный частотный диапазон в режиме воспроизведения при использовании магнитной ленты МК60: 63...10000 Гц, напряжение на пассивном выходе 0,5 ± 0,1 В; не-

звешенное отношение сигнал/шум в канале воспроизведения МП-А — не менее 50, МП-В — 48 дБ, мощность, потребляемая от сети в режиме радиоприема в УКВ диапазоне при выходной мощности 0,5 Вт на канал — не более 16 Вт; габариты без блока питания — 486х137х130 мм, габариты блока питания — 115х61х81 мм, масса без комплекта батарей и блока питания — 2,9 кг, масса блока питания — 0,7 кг.

Магнитола «Вега РМ-252С» выполнена по функционально-блоковому принципу. Схема соединения блоков показана на рис. 2. Блок сетевого питания (А6) представляет собой автономное устройство, закрепленное на левой боковой стенке магнитолы. Питание напряжением этого блока через плату вывешивающего питания (А12) поступает на блок усилителя ЗЧ (А9), а через него — на остальные блоки магнитолы. На передней панели корпуса «Вега РМ-252С» размещены динамические головки ВА1, ВА2 и плата светодиодов (А7). Все остальные блоки смонтированы на шасси внутри корпуса магнитолы. Это блок ВЧ—ГЧ (А8), состоящий из узлов АМ и ЧМ трактов радиоприемника, верньерно-шаговое устройство (А4), блок регуляторов громкости и тембра (А10), блок УЗЧ—БП (А9), в котором входят усилитель ЗЧ и стабилизаторы постоянных напряжений, платы стереофонических (А11), внешнего питания (А12) и светодиодов (А7) и наконец, блок магнитофонных панелей, образований двухкассетным ЛПМ (А2), блоком усилителя записи—воспроизведения (А3) и платой входов (А1) и выходов (А5).

Поясним принцип работы отдельных блоков магнитолы.

В диапазоне УКВ сигнал с телескопической антенны поступает на вход ЧМ тракта блока А8, где, усиливаясь, преобразуется в сигнал ГЧ, снова усиливается и детектируется. Далее продетектированный сигнал попадает на вход стереодекодера через который монофонический сигнал проходит без изменений, в комплексный стереофонический преобразуется в сигнал правого и левого каналов.

В АМ тракте сигналы КВ радиостанций принимаются телескопической антенной А ДВ и СВ станций магнитолы. Затем они усиливаются, преобразуются в сигналы ГЧ, вновь усиливаются и детектируются. В магнитоле «Вега РМ-252С» применено автоматическое опознавание стереосигнала и выключение стереосредодекодера. В магнитофонной панели магнитолы (блок А2) применен двухкассетный ЛПМ типа ТН-2151 (фирма Tanshin), обеспечивающий движение ленты с постоянной нормальной и повышенной скоростями, записи, воспроизведение и стирание маг-



Рис. 1

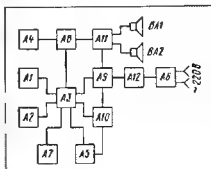


Рис. 2

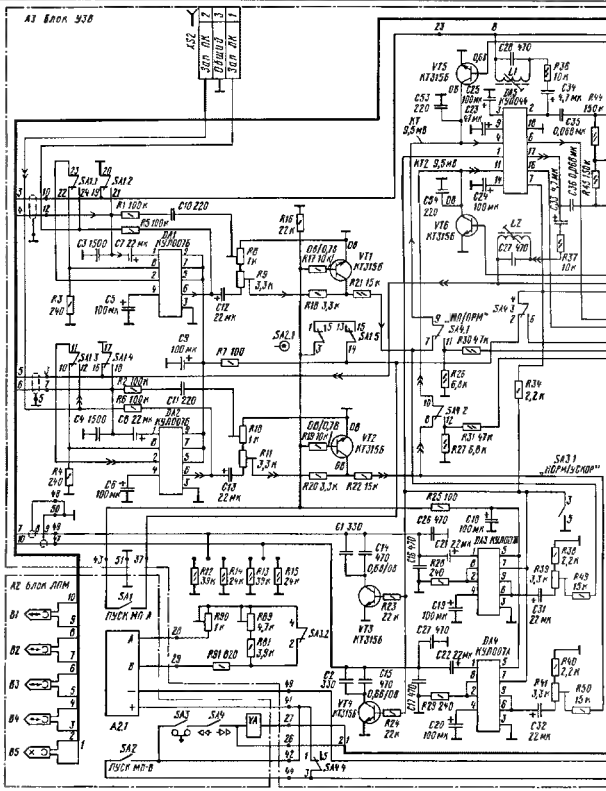


Рис. 3

нитных фонограмм, ускоренную перемотку ленты в прямом и обратном направлениях, автоматическое выключение ЛПМ после окончания ленты в кассете в режимах воспроизведения и перемотки ленты, временный останов движения ленты без выключения двигателя, последовательный старт магнитофонных панелей, синхронный пуск МП-А и МП-В при перезаписи.

В режиме воспроизведения сигнал с универсальной головки МП-А или МП-В блока А2 попадает на усилитель записи-воспроизведения (блок А3), где усиливается и корректируется усилителем воспроизведения и далее коммутируется и подводится к входу линейного усилителя, выход которого соединен с платой выходов магнитофонных панелей А5.

С этой платы сигнал попадает на блок регуляторов А10 и далее на индикатор выходного уровня блока А3, который обеспечивает амплитудное детектирование звукового сигнала, а с помощью линейный светодиодов платы А7 и визуальной индикации уровня сигнала, поступающего на вход усилителя 3Ч (блок А9). В режиме радиоприема сигнал с бло-



нада на транзисторах VT11, VT13 и VT16—VT19. Индикатор имеет четыре выхода, которые через разъем XS6/XP8 подключены к четырем светодиодам платы A7. По мере увеличения сигнала на выходе индикатора поочередно загораются все четыре светодиода, что и индицирует величину этого сигнала.

При включении переключателем SA1 режима записи через резистор R67 на прямое питание поступает на устройство APY3 и генератор стирания и подмагничивания. Одновременно микросборки DA1 и DA2 начинают работать как линейные инвертирующие усилители.

Если запись осуществляется от внешних источников программ, сигнал с платы входов (A1) через разъем XP2/XS2 поступает на инвертирующий вход 2 микросборки DA1 и после усиления через переключатель SA4 — на вход 4 микросборки DA5, которая обеспечивает необходимую частотную коррекцию. С выхода DA5 через разделительный конденсатор C34 балластный резистор R36 и фильтр-пробку L1C2B записываемый сигнал попадает на универсальную магнитную головку B4. Ток записи регулируется резистором R53.

Одновременно через конденсатор C35 сигнал поступает на вход устройства APY3, выполненного на транзисторах VT7, VT9, VT5. Это устройство регулирует коэффициент усиления усилителя записи в зависимости от уровня входного сигнала.

Генератор тока стирания и подмагничивания собран по двухтактной бестрансформаторной схеме на двух транзисторах VT14, VT15. Частотообразующий контур генератора образован индуктивностью головки стирания B5 и конденсатором C47. Напряжение подмагничивания подается на универсальную магнитную головку B4 через конденсатор C42 и подстроечный резистор R65. С помощью этого резистора устанавливается необходимое напряжение подмагничивания.

Запись с приемника магнитолы происходит аналогично записи от внешних источников программ. В этом случае сигнал с выхода блока ВЧ-ПЧ поступает на вход усилителя записи через разъем XS4, резистивный делитель R26/R30 и переключатель SA4, установленный в режим радиоприема ("ПР"). Для устранения интерференционных свистов при записи с собственного радиоприемника в диапазоне АМ тракта в магнитоле предусмотрена расстройка частот генератора, которая достигается при подключении параллельно конденсатору C47 конденсаторов C1 и C2 платы выходов (AS).

Когда запись ведется с МП А на МП-В сигнал снимается с выхода усилителя воспроизведения (DA3, DA4) и через переключатель SA4, который находится в этом режиме в положении "МГ", подается на вход усилителя записи на микросхеме DA5. Далее он проходит тот же путь, что и при записи от внешних источников программ.

Для ускоренной переаписи переключатель SA3 устанавливается в положение "УСКОР.", в котором происходит перекоммутация цепей коррекции усилителя воспроизведения на микросхеме DA3, DA4 и усилителя записи на микросхеме DA5. При этой коммутации подается нулевое напряжение на базы транзисторов VT13, VT4 электронных ключей и на вход 1 микросхемы DA5, а также на вход 7 микросхемы DA3.

(Продолжение следует).

# ИМПУЛЬСНЫЙ СТАБИЛИЗАТОР СКОРОСТИ ВРАЩЕНИЯ ДВИГАТЕЛЯ ЛПМ

В. ПОЛЯКОВ, г. Москва

Гальванические элементы сегодня дороги, а использованные чаще всего выбрасывают, загрязняя окружающую среду. В предлагаемой автором конструкции импульсного стабилизатора скорости двигателя достигнута высокая экономичность энергопотребления. Однако меры по защите звуковых цепей магнитофона от помех, создаваемых узлом питания с импульсным режимом работы, часто значительно усложняют конструкцию, поэтому их практическое применение встречается весьма редко.

Основным потребителем тока в портативных магнитофонах и плеерах является двигатель ЛПМ. Применение описываемого импульсного стабилизатора позволяет уменьшить потребление мощности ЛПМ в 2...2,5 раза и, следовательно, во столько же раз продлить срок службы батареи питания (оптимизация тока потребления остальными узлами магнитофона достигается хорошо известными способами). Опыт применения автором данного стабилизатора скорости позволяет рекомендовать использование таких узлов в аппаратуре с батарейным питанием.

Аналоговые (непрерывные) стабилизаторы скорости вращения имеют КПД не выше 30...40%, поскольку больше половины питающего напряжения падает на регулирующем элементе. Потребляемый же стабилизатором ток несколько больше тока двигателя. Основная идея снижения энергопотребления чрезвычайно проста. Следует перейти к импульсному питанию, тогда мощность, рассеиваемая на регулирующем ключевом элементе, становится малой, а КПД стабилизатора может приближаться к 100%. Средний ток, протекающий через обмотки двигателя, в ключевом стабилизаторе больше среднего потребляемого тока. При высокой

частоте следования импульсов сохраняется равномерность вращения из-за большого механического момента инерции якоря, а индуктивное сопротивление его обмоток близко к необходимому для режима ключевого элемента. Регулировка скорости достигается изменением частоты следования или ширины импульсов (их скважности). Генератор, входящий в импульсный стабилизатор, можно использовать и как генератор стирания.

Принципиальная схема одного из вариантов предложенного устройства приведена на рис. 1. На элементах DD1.1 и DD1.2 собран генератор прямоугольных импульсов с частотой 25 кГц (частоту генератора можно подстраивать резистором R3). Прямоугольные импульсы генератора, усиленные по току двухтактным повторителем на транзисторах VT1, VT2, через контакты S1 поступают в режим записи на стирающую головку. При разомкнутых контактах эти транзисторы практически не потребляют тока от источника питания.

Синусоидальный ток стирания формируется полосовым фильтром, содержащим последовательный контур L1C3 и параллельный, образованный индуктивностью головки и конденсатором C2. Оба

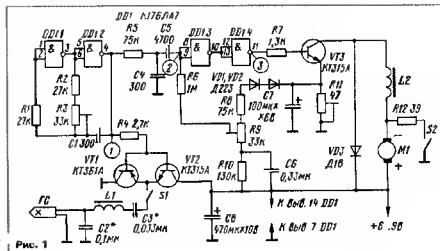


Рис. 1

контуры настроены на основную гармоническую частоту генератора. Грубая настройка осуществляется подбором емкостей, а окончательная — подстройкой частоты генератора по максимуму напряжения на головке. Если строго синусоидальная форма тока стирания не требуется, катушку L1 можно исключить, заново подобрав конденсаторы C2 и C3.

Теперь перейдем непосредственно к стабилизатору скорости вращения. Прямоугольные импульсы генератора интегрируются цепочкой R5C4, и на вход элемента D1.3 поступает сигнал треугольной формы. Одновременно через резистор R6 на вход подается управляющее напряжение смещения, от которого зависит момент переключения логического элемента D1.3. Разделительный конденсатор C5 предотвращает удвоение напряжения смещения выходным сопротивлением генератора. Таким образом, регулируя смещение, мы изменяем ширину импульсов на выходе элемента D1.3. На рис. 2 показаны осциллограммы напряжений: 1 — выход генератора (вывод 4 DD1.2) — прямоугольные импульсы; 2 — на входе элемента D1.3 (выводы 8, 9) — треугольные импульсы; 3 — горизонтальная линия соответствует порогу ового напряжения переключения L<sub>1</sub> этого элемента. Увеличивая смещение (штриховая линия 2), мы увеличиваем длительность сформированных импульсов на выходе элемента.

Осциллограмме 3 г. указывает импульсы на выходе элемента D1.4 (вывод 11), подаваемые через токоограничивающий резистор R7 на ключевой транзистор VT3. Он открывает положительными импульсами регулируемой длительности, при этом ток от источника питания идет через обмотку двигателя и катушку индуктивности L2 на коллектор транзистора. По окончании импульса транзистор VT3 закрывается, и ток через мотор продолжает протекать в том же направлении за счет энергии, запасенной в индуктивности обмотки якоря и катушки L2. Этот ток замыкается через диод VD3 и, как показали измерения, еще не падает до нуля к моменту прихода следующего импульса, при этом помехи минимальны. Стабилизатор работает и без катушки L2, но КПД его получается заметно хуже.

Контакты переключателя S2 замкнуты только в режиме ускоренной перемести ленты, и двигатель для увеличения скорости подключен через резистор R12 к источнику питания в обход регулятора.

Необходимую скорость вращения в режиме записи или воспроизведения устанавливает потенциометром R9, изменяющим напряжение смещения на входе порогового элемента DD1.3. Как и в любом стабилизаторе скорости вращения, нужно добиться малой ее зависимости от механической нагрузки двигателя. Для этого используются те же принципы, что и в широко распространенных аналоговых стабилизаторах. Увеличение механической нагрузки приводит к замедлению скорости вращения и возрастанию тока через обмотку, а следовательно, и среднего коллекторного тока транзистора VT3. При этом возрастает и падение напряжения на резисторе R11, включенном в эмиттерную цепь. Оно передается через диоды VD1, VD2 на цепочку резисторов R8—R10 регулировки смещения и увеличивает последнюю. Ширина импульсов увеличивается и компенсирует замедление скорости вращения. Конденсатор C7 сгла-

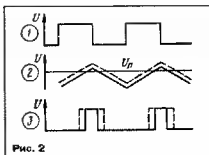


Рис. 2

живает импульсы, выделяя лишь постоянное составляющее компенсирующего напряжения, а конденсатор C6 ускоряет пуск ЛПМ: при включении питания напряжения смещения скачком возрастает и ток обмотки представляет собой широкие импульсы, обеспечивая быстрое разгон маховика ЛПМ. После того, как конденсатор C6 зарядится, он уже не участвует в работе стабилизатора.

В устройстве можно применить транзисторы КТ315 и КТ361 с буквенными индексами. Микрохему можно заменить на К561ЛА7. Диоды VD1, VD2 любые маломощные кремниевые, а диод VD3 желательно выбрать германиевый с минимальным прямым сопротивлением (диоды Д2, Д9, Д402) — это хоть и немного, но увеличивает КПД стабилизатора.

Катушка L1 намодана на ферритовом кольце с сечением К10х10х4 с магнитной проницаемостью 1000...2000 и содержит 70 витков провода ПЭЛ 0,27. Катушка L2 намодана на аналогичном сердечнике, но большего размера, например К16х10х6. С таким же успехом можно использовать ЛТ-образный или бровенной ферритовый сердечник. Индуктивность катушки не критична. Обмотка содержит 150...200 витков провода ПЭЛ 0,27. В качестве L2 хорошо подходит телевизионный дроссель ДЦ-90ЛЦ. Расположение деталей и конструктивное исполнение стабилизатора особого значения не имеют.

Для налаживания стабилизатора желательно воспользоваться осциллографом и звуковым генератором (последним — для настройки фильтра стиральной головки). Проверив форму напряжений в различных точках схемы (рис. 2), устанавливаем частоту генератора резистором R3 и необходимую частоту вращения двигателя резистором R9. Затем подбавляем резистор R11, добиваясь малой зависимости скорости вращения от нагрузки. Регулировку удобно делать, воспроизводя фонограмму с записью чис-

того тона и слегка притормаживая рукой вал двигателя или маховик тон-вала. При недостаточном сопротивлении резистора R11 наблюдается сильное замедление скорости при возрастании нагрузки на вал, а при чрезмерном сопротивление наступает "геререгулирование" и якорь "дергается", периодически ускоряя и замедляя скорость вращения. Оптимальное значение сопротивления резистора R11 — около 24 Ом. После этой процедуры еще раз уточняем номинальную скорость вращения резистором R9, по скольку обе регулировки в некоторой степени взаимосвязаны.

Затем следует проверить зависимость скорости вращения от напряжения питания. В описываемом стабилизаторе она даже несколько возростала при снижении напряжения питания от 9 до 6 В. Добиться практически полной независимости скорости вращения от напряжения питания можно, шунтируя последовательно включенные диоды VD1, VD2 резистором с сопротивлением 50...150 кОм. Можно также заменить один из этих диодов германиевым, тогда при понижении напряжения питания скорость будет несколько снижаться. Подбор количества и типа последовательно включенных диодов в каждом конкретном случае может дать желаемый результат.

Разумеется, использованный способ регулирования скорости котя и прост, но не является наилучшим. Более точной стабилизации можно добиться, используя какой-либо датчик, преобразующий скорость вращения в частоту. Эта частота сравняется с опорной, получаемой, например, от кварцевого генератора. Сигнал рассогласования частот должен управлять длительностью импульсов, подаваемых на ключевой элемент стабилизатора. Но это уже предмет дальнейших разборок.

Описанный стабилизатор скорости вращения применялся в самодельном диктофоне, изготовленном на базе имеющегося ЛПМ от магнитофона "Электроника 302". Скорость протягивания ленты была выбрана 1,2 см/с. Аналоговый стабилизатор потреблял ток порядка 50...70 мА, да к тому же работал плохо и от него пришлось сразу отказаться. Ток, потребляемый импульсным стабилизатором, составил около 20 мА при напряжении питания 6...9 В. Потреблять тщательной регулировки механики ЛПМ (смазка, ослабление пружины роликов, замена пазика более тонким, гибким) удалось получить "рекордное" значение тока потребления стабилизатором — около 16 мА.

## ОБМЕН ОПЫТОМ

### ЕЩЕ ОБ ИСПОЛЬЗОВАНИИ НЕИСПРАВНОГО РЕЗИСТОРА

В статье И. Макарова "Использование неисправного резистора" ("Радио", 1994, № 4, с. 10) сказано, как продлить "жизнь" подстроечному резистору в реостатном включении, у которого произошло разрыв токопроводящих дорожек вблизи фиксирующей заклепки. В ряде случаев удобнее поступить по-другому.

Выпаяв резистор, а параллельно его или обратную сторону паять в те же отверстия. Печатные проводники при этом остаются в целости. Направление вращения диска резистора, конечно, изменяется на противоположное и регулировать его нужно теперь с

этой стороны пята. После приобретения нового резистора пята вернется к ее первоначальному расположению. Подобный ремонт имеет прикладное значение: неоднократно выполнял в телевизорах УЛПЦ-61, когда у регулятора высокого напряжения (R32) нарушалась целостность токопроводящих дорожек.

Многие конструкции подстроечных резисторов допускают вращение диска с обратной стороны. Это позволяет после переноса резистора на обратную сторону пята сохранить возможность регулировки с прежней стороны. Для этого нужно только просверлить в плате отверстие "под отвертку" по оси резистора.

С. МОТЮХОВ

г. Ярославль

# ПИКОВЫЙ ИНДИКАТОР МОЩНОСТИ

И. ПОТАЧИН, г. Фокино Брянской обл.

Предлагаемый вниманию читателей пиковый индикатор можно использовать в любой звуковоспроизводящей аппаратуре с усилителем ЗЧ мощностью более двух ватт.

Индикатор имеет ряд преимуществ перед некоторыми опубликованными ранее. Так, в отличие от аналогичного устройства, опубликованного в [1], новый индикатор легко фиксирует даже кратковременное превышение мощности выходного сигнала усилителя ЗЧ некоторого заранее выбранного порогового значения. По сравнению же с индикатором, описание которого помещено в [2] в нем решена задача установки времени индикации благодаря отсутствию генератора сброса.

Принципиальная схема пикового индикатора мощности приведена на рис. 1. Он выполнен на базе одновибраторов, собранных на D-триггерах микросхем DD1. Рассмотрим работу левого (верхнего по схеме) канала индикатора, поскольку правый его канал работает аналогично. Дiod VD1 пропускает на вход индикатора толь-

ко необходимые для работы одновибратора DD1.1 положительные полуволны сигнала с выхода усилителя мощности ЗЧ. С помощью резистора R1 устанавливается пороговый уровень сигнала на выводе 6 микросхемы DD1.1; при превышении которого включается индикатор. В исходном состоянии (когда нет превышения порогового уровня) на выводах 1 и 4 микросхемы DD1.1 устанавливаются уровни логического нуля, транзистор VT1 закрыт и светодиод HL1 не светится. При превышении входным сигналом порогового уровня  $U_{пор} (U_{пор} \approx 0,5U_{ном})$ , где  $U_{ном}$  — напряжение питания индикатора (мощности) в момент времени  $t_1$  (рис. 2 а) одновибратор переключится и на выводе 1 микросхемы DD1.1 появится уровень логической единицы (рис. 2 а). В результате транзистор VT1 откроется и загоревшийся светодиод HL1 извещает о пре-

вышении усилителем ЗЧ заданной выходной мощности. Одновременно с появлением высокого уровня на выводе 1 микросхемы DD1.1 через резистор R3 начнется зарядка конденсатора C1. Время зарядки конденсатора  $t_2$  C1R3 (рис. 2, б). Именно через этот промежуток времени напряжение на конденсаторе достигнет уровня переключения одновибратора  $U_{тр}$  (для примененной здесь микросхемы K561TM2 оно составляет около 6 В).

Напряжение  $U_{тр}$  поступит на вывод 4 микросхемы DD1, одновибратор переключится и на выводе 1 опять установится уровень логического нуля.

Если длительность пикового сигнала  $t_1$  превышает время индикации  $t_2$  (рис. 2), то после зарядки конденсатора C1 до уровня  $U_{тр}$  сброс одновибратора не произойдет, поскольку при логической единице на входах R и S триггера на его выходе также логическая единица. Конденсатор C1 будет заряжаться и дальше. Лишь когда уровень входного сигнала станет ниже  $U_{пор}$ , триггер переключится в нулевое состояние.

Применение КМОП-микросхем серий K561 и 564 позволяет питать индикатор напряжением от 3 до 15 В, что дает возможность использовать его в самой различной переносной аппаратуре. Однако важно, чтобы напряжение питания было стабилизированным, поскольку при его изменении изменится и величина порогового напряжения ( $U_{пор} \approx 0,5U_{ном}$ ).

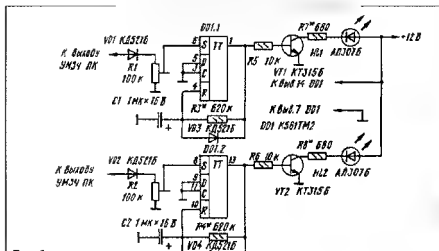


Рис. 1

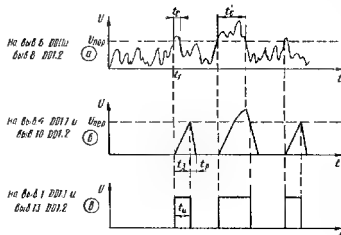


Рис. 2

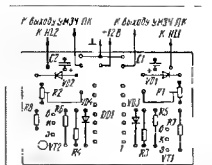


Рис. 3

Все детали индикатора (кроме светодиодов) смонтированы на плате из фольгированного стеклотекстолита размерами 30x45 мм (рис. 3).

Настройка индикатора сводится к установке резисторами R1 и R2 порога зажигания светодиодов, а резисторами R7, R8 — тока через них порядка 10 мА.

## ЛИТЕРАТУРА

1. Нецке И. Светодиодный индикатор уровня сигнала — Радио, 1988 № 12, с. 52.
2. Усков Ю. Пиковый индикатор. — Радио, 1988, № 7, с. 26.

**РАДИОСВЯЗЬ ДЛЯ СЛУЖБЫ, ОТДЫХА И БЫТА!**

Сотрудники  
Минсвязи



*Связь без проблем!*

**ЛЕЙДЖЕРЫ,  
мини-АТС  
и другое  
телефонное и  
радиоборудование**



**Гарантия 1 год  
Все виды  
систем**



**В МАШИНЕ**  
Комплексное решение  
проблем радио  
и телефонной связи  
Выход на АТС

НА ОТДЫХЕ

**РАДИОСТАНЦИИ**  
базовые Диплексор  
автомобильные СВ (27МГц)  
портативные УКВ (130-174МГц)

**СПЕЦИАЛЬНЫЕ МОРСКИЕ РАДИОСТАНЦИИ**  
Судовые, портативные, непотопляемые

Москва, ул. Ткацкая, 1



Москва: (095) 962-9200, 962-9201  
С-Пб.: (812) 535-3875, 535-2946  
Корсаков: (42435) 232-44

**"Белка ЛТД"**

**Лучшее  
отечественное и зарубежное  
оборудование  
для спутникового и кабельного  
телевидения**

- Параболические антенны
- Кабельные станции
- Спутниковые тюнеры
- Конвертеры, облучатели
- Телевизионные антенны
- Кабель, разъемы

**Каталог оборудования с ценами  
высылаем бесплатно**

Наш адрес: 123363, Москва, а/я 60  
Телефон: (095) 492-5025

**ДОСКА ОБЪЯВЛЕНИЙ**

**научно-производственное объединение**

**"СИММЕТРОН"**



**Широкий выбор  
отечественных и импортных  
электронных компонентов**



**Удобные варианты  
заказа - расчета - доставки;**

**Особое внимание  
оптовым покупателям;**

**Программирование, поставка и консультации**  
новейших микроконтроллеров и ПЛИС (MAX.PIC, Z8, INTEL и др.)  
Каталог предлагаемых изделий высылается по письменным заявкам.  
Постоянно пополняется ассортимент в магазине радиодеталей.  
195196 Санкт-Петербург, а/я 29, тел. (812) 529-9104, факс 528-1108,  
Москва, тел. (095) 212-3308, 214-2555, E-Mail : [info@Simmetron.spb.su](mailto:info@Simmetron.spb.su).



# БЕЛВАР

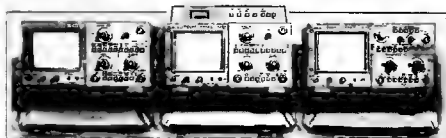
Оптимальное сочетание цены и качества

БЕЛАРУСЬКАЕ ВЫТВОРЧАЕ АБ'ЯДНАННЕ РАДЫЁТЭХНІКІ

БЕЛОРУССКОЕ ПРОИЗВОДСТВЕННОЕ ОБЪЕДИНЕНИЕ РАДИОТЕХНИКИ

## СЕМЕЙСТВО СЕРВИСНЫХ ОСЦИЛЛОГРАФОВ С1-137

разработано  
для специалистов по  
ремонту и обслуживанию  
радиоэлектронной  
аппаратуры, устройств  
автоматики, средств связи,  
а также для  
радиолюбителей.



### С1-137 (базовая модель серии)

- внешняя/внутренняя синхронизация,
  - синхронизация TV-сигнала
  - высокая чувствительность (2мВ/дел)
- позволяет производить обнаружение помех, шума, наложения и искажения на малых амплитудах исследуемого сигнала

### С1-137/1

- Объединяет в одном корпусе двухканальный осциллограф и 3,5 разрядный цифровой мультиметр
- Индикация показаний мультиметра на ЖК-индикаторе
- Независимые одновременные измерения

### С1-137/2 (аналого-цифровой осциллограф)

- Визуальное наблюдение как за текущими процессами, так и после записи их в цифровую память
- Отображение без мерцаний медленно изменяющихся процессов или редко повторяющихся сигналов
- Регистрация процессов, предшествующих моменту синхронизации.
- Передача формы сигнала на ЭВМ для автоматической распечатки
- Интерфейс RS-232

Параметры	С1-137, С1-137/1, С1-137/2
Вертикальное отклонение	
количество каналов	II
режимы отображения	канал I, канал II, суммирование сигналов каналов I и II посредством коммутации каналов I и II
ширина полосы	25 МГц
время нарастания:	14 нс
коэффициенты отклонения:	2 мВ/дел - 5 В/дел (погрешность - 4 %)
входной импеданс	1 МОм / 20 пФ
максимальное входное напряжение	100 В, 300 В (с делителем 1:10)
Горизонтальное отклонение	
коэффициент развертки	200 нс/дел - 200 мс/дел 200 нс/дел - 10 с/дел (С1-137/2) (погрешность - 4 %)
режим развертки	авто, триггерный
Параметры синхронизации	
внутренняя синхронизация:	0,8 дел (10 Гц - 5 МГц), 2 дел (5 МГц - 25 МГц)
внешняя синхронизация	200 мВ (10 Гц - 5 МГц), 500 мВ (5 МГц - 25 МГц)
Режим X-Y	
полоса пропускания	1 МГц (3 В)
коэффициент отклонения	2 мВ/дел - 5 В/дел (погрешность 10%)
Цифровой мультиметр (С1-137/1)	
Диапазон измерения	
напряжение постоянного тока	2 мВ - 1000 В (погрешность 0,7%)
среднеквадратичного значения	2 мВ - 700 В (погрешность 2,5%)
напряжение переменного тока	0,02 мА - 2 А (погрешность 0,4%)
сопротивления постоянного тока	1 Ом - 2 МОм (погрешность 1,5%)
Входное сопротивление	1 МОм (погрешность 0,1 %)
Цифровая память (С1-137/2)	
частота дискретизации	1 МГц
число разрядов	8
объем памяти на канал	0,5 Кбайт
Экран	60 × 60 мм
габаритные размеры	130×270×170 мм (С1-137 С1-137/2) 160×270×170 мм (С1-137/1)
Масса	5 кг (С1-137), 5,3 кг (С1-137/1) 5,5 кг (С1-137/2)

БЕЛВАР обеспечивает гарантийное и техническое обслуживание в любой точке СНГ.

За дополнительной информацией обращайтесь на ПО "БЕЛВАР"  
Республика Беларусь, 220600, г. Минск, пр. Франциска Скорины, 58  
Телетайп 252140 Ольга, Телекс 252286 OIha SU, Факс (0172) 310689, 334561  
Телефон: (0172) 399482, 399442, 399730



Проводится  
подписка  
на российский  
ежемесячный  
журнал

по спутниковому телевидению  
**"ТЕЛЕСПУТНИК"**

Публикуются материалы по программам развития спутникового ТВ, спутниковой связи и кабельного ТВ, аппаратуре, ежедневные программы передач; открыта справочно-рекламная рубрика.

Цветная полиграфия.

Печатается в Финляндии.

Стоимость подписки одного номера на один месяц (по России):  
XI, XII/95 г. - 18 000 руб., 1996 г. - 20 000 руб.

*Приглашаем к сотрудничеству  
региональных распространителей.*

1233633, Москва, яб. ящ. 60

Телефон/факс: (095) 492-50-25, 495-31-55.

**ЦЕНТР АЦП**

**АОЗТ "Руднев-Шилев"**

Виртуальные приборы на основе  
IBM PC/XT/AT/EISA или NOTEBOOK

- СПЕКТРОАНАЛИЗАТОРЫ
- ОСЦИЛЛОГРАФЫ (ЦЗО)
- ПРЕЦИЗИОННЫЕ ВОЛЬТМЕТРЫ
- ЧАСТОТОМЕРЫ
- ФУНКЦИОНАЛЬНЫЕ ГЕНЕРАТОРЫ

Динамический диапазон, частотная полоса, точность измерения, разрешение зависят от выбранного Вами устройства серии ЛА-xxx  
Мы производим устройства до 24 разрядов  
от 20 мс до 10 нс (до 100 МГц)  
арамени преобразования

**Быстрее в мире устройство  
сбора, обработки и ввода в компьютер  
аналоговой информации**  
2 синхронных однополосных канала  
24 нс время преобразования  
12 разрядное АЦП

**и много другое.**

**См. журнал "Радио" N 10/95 стр.7**

ЗАДАТЬ ВОПРОСЫ Вы можете  
по тел (7-095) 288-4075. Факс (7-095) 203-8414  
проезд метро Новослободская

ПРИХОДИТЕ к нам по адресу:

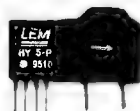
103030, Москва, 1 Щемилковский пер., д.16  
местный тел. 3-20; 5-46

**Новая серия универсальных  
изолированных датчиков тока**

**HY 5...25-P**

- \* Входной номинальный ток 5A, 10A, 12A, 15A, 20A, 25A
- \* Выходной сигнал (при входном ном. токе)  $4V \pm 40mV$
- \* Линейность выходной характеристики не хуже 1%
- \* Точность измерения до 2%
- \* Время задержки не более 3 мкс
- \* Диэлектрическая прочность изоляции 2,5кВ эф.
- \* Частотный диапазон 0 - 25 кГц
- \* Габариты 35х24х10 мм , вес 8 гр

**LEM**



**5 A..**

**..25 A**



**Модули ЛЕМ - идеальные датчики**

для создания высокоточных и надежных систем обратной связи в  
разнообразных устройствах измерения, управления и защиты.

Официальный изготовитель и дистрибьютер фирмы ЛЕМ  
в России и странах СНГ предприятие ТВЕЛЕМ  
РОССИЯ, 170023, Тверь, а/я 18. Тел (0822) 44-40-53

# ИЗ ОПЫТА РАБОТЫ С «ОРИОНОМ-128»

**В. АРХИПОВ, г. Москва**

Вячеслав Николаевич Архипов — наш читатель с более чем сорокалетним стажем. Как и тысячи радиолубителей, начал свой путь в радиоэлектронике со сборки детекторного приемника, затем собирал ламповые конструкции, занимался дальним приемом телевидения, строил измерительные приборы. Микропроцессорной техникой увлекся в конце восьмидесятых: вначале изготовил по описанию в журнале радиолубительский компьютер "Радио-86РК", а затем одним из первых собрал "Орион-128". Вместе с другими "орионщиками" осваивал публикуемые в журнале программы, со временем научился писать программы и сам. В публикуемой ниже статье В. Н. Архипов делится опытом работы с "Орионом-128", который, надеемся, будет полезен многим владельцам этого компьютера.

## ЕЩЕ О ЗАМЕНЕ МИКРОСХЕМ

В свое время разработчики компьютера "Орион-128" высказали мнение о возможности замены микросхем серии 155 на 555 [1]. Такая работа была проделана в двух компьютерах: были заменены все микросхемы, имеющие аналоги в серии 555, за исключением DD12 (155ЛА7), которая работает при повышенных напряжениях и токе. После замены ток потребления в обоих компьютерах по цепи +5 В (с ПЗУ ORDOS, но без преобразователя напряжений +12 В и -5 В и дисководов) составил 1,35 А.

Однако в компьютерах проявился общий недостаток, при наличии изображения на левом краю экрана возникала неоднородная и мерцающая вертикальная полоса шириной в один пиксел (в одном компьютере она исчезала через 15...20 мин после прогрева). Полосу удалось устранить включением в разрыв цепи 64 интегрирующего RC-звена (резистор сопротивлением 30 Ом и конденсатор емкостью 130 пФ).

## ДРАЙВЕР КЛАВИАТУРЫ МС7007, СОВМЕСТИМЫЙ С КЛАВИАТУРОЙ "РАДИО-86РК"

Существование двух стандартов клавиатуры вызывает неудобства при разработке и применении программ на компьютере "Орион-128". В связи с этим предлагается перекодировать часть МОНИТОРА-2, которая реализует для "Ориона-128" идею, предложенную в [2].

Предлагаемая перекодировка сохраняет все стандартные входы МОНИТОРА-2 и оставляет часть памяти ПЗУ свободной для внесения других изменений. Кроме того, свечение индикатора РУС,ЛАТ в режиме ЛАТ позволяет использовать его в качестве индикатора включения компьютера в сеть.

Принципиальная схема подключения

клавиатуры МС7007 и соответствие ее функциональных клавиш клавиатуре "Радио-86РК" приведены в [2]. Назначение и обозначение цепей (но не контактов резьбы!) полностью соответствуют порту клавиатуры DD53 "Ориона-128". Вместе с тем указанным на этой схеме соединении выводов 3 и 12 разъема Х51 клавиатуры следует удалить и соединить вывод 12 с цепью "Сброс" (контакт В9) разъема Х4 "Ориона-128".

Изменяемые коды драйвера клавиатуры МОНИТОРА-2 для процессора КР580ВМ80 приведены в табл. 1 (контрольные суммы строк даны с учетом сохраняемых кодов). При работе с драйвером следует иметь в виду, что возможна его несовместимость с некоторыми программами, непосредственно опрашивающими клавиатуру, минуя стандартные входы МОНИТОРА-2.

## АДАПТАЦИЯ ПРОГРАММ НА БЕЙСИК "МИКРОН" К "ОРИОНУ-128"

Из-за различий в обработке одних и тех же операторов и соответствующих им кодов при адаптации к "Ориону-128" программ, написанных для "Радио-86РК" на языке БЕЙСИК "МИКРОН", их приходится повторно набирать и редактировать, что довольно затратно и чревато появлением ошибок.

Предлагаемая программа позволяет в автоматизированном режиме изменять коды операторов для текстов программ на БЕЙСИК "МИКРОН" в целях адаптации их к "Ориону-128". Программа ориентирована на применение в компьютере интерпретатора БЕЙСИК "ОРИОН" версий V1.1 и V1.2 [3, 4].

Между интерпретаторами БЕЙСИК для "Радио-86РК" и "Ориона-128" имеются различия в наборах операторов, а также в функциях и синтаксисе некоторых из них. Поэтому предлагаемая программа, встретив такой оператор записывает его вместо в текст исходной

программы вопросительный знак и выводит в протокол перекодировки номер строки и оператор, который требует проверки, ручной корректуры или редактирования. Если в строке находится несколько операторов, подлежащих ручной обработке, они выводятся в протокол в том же порядке, в каком следуют в исходной строке. Если же встречается оператор, неизвестный в программе адаптации или не используемый в текстах программ на БЕЙСИК (например, EDIT, LST), то в протокол выводится сообщение ERROR.

Протокол перекодировки создается автоматически в формате БЕЙСИК и ведется как продолжение обрабатываемой программы. Если ручное редактирование не требуется, протокол не создается. Таблица перекодировки и различия операторов, учитываемые программой при формировании протокола, определены на основе описаний интерпретаторов, опубликованных в [3-5].

Основное требование к адаптируемой программе — наличие в конце свободных номеров строк до предельного значения 65529, что необходимо для размещения протокола перекодировки. Следует учесть, что строки протокола нумеруются автоматически с шагом, равным 1, и в большинстве случаев для него достаточно 30-50 строк. Если при работе программы адаптации места для размещения протокола не хватает, выводится сообщение с рекомендацией пользователю по дальнейшим действиям. Результаты работы программы при этом не сохраняются.

Успешная перекодировка завершается созданием результирующего файла, который вместе с протоколом автоматически записывается на диск В: со стандартным именем #R0.BS. После записи файла выводится сообщение о том, что необходимо ручное редактирование или что файл готов для запуска. В последнем случае файл #R0.BS является программой, полностью подготовленной к работе под управлением интерпретатора БЕЙСИК "ОРИОН".

Коды программы адаптации KONW2 с контрольными суммами приведены в табл. 2. Для адаптации необходимо запустить программу KONW2;

— в ответ на запрос программы набрать на клавиатуре имя программы на БЕЙСИК для "Радио-86РК" (должна находиться на диске В.), завершив ввод нажатием на клавишу <BK>. При отсутствии файла на диске В. или сбое в наборе имени программа сообщит об этом и предложит повторить набор или выйти из нее;

— если по окончании работы программы выводится сообщение о необходимости редактирования файла #R0.BS, то следует после выхода в ORDOS запустить интерпретатор БЕЙСИК "ОРИОН" и из него загрузить файл #R0.BS для редактирования;

— с помощью директивы БЕЙСИК LIST найти в конце программы протокол и либо сохранить его в виде текстового файла (например, создав экранную копию с помощью программы SCRTX [6]), либо сразу приступить к редактированию; — для удобства редактирования стро-

Таблица 1

FA70																FE	9003
FA80	FF	C3	E1	FB													2A4F
FB00	31	1B	E8	90	14	40	24	41	F8	7C	F4	09	98	1C	3C	60	E33E
FB10	35	33	BC	07	94	38	40	50	FF	19	15	05	BC	2C	04	34	81B1
FB20	A5	17	3F	03	88	34	5C	4C	69	68	60	01	84	0C	08	78	C539
FB30	58	68	A4	40	74	10	00	F0	70	20	80	9C	6C	30	08	11	C0D9
FB40	63	65	67	EC	28	18	44	00	61	50	37	13	10	1A	00	01	01FE
FB50	6F	71	73	59	B6	3A	02	F4	07	57	3E	FE	0D	3A	E5	F3	220E
FB60	2F	32	02	F4	01	07	FF	3A	01	F4	B8	C2	80	FE	78	0F	030C
FB70	5F	73	78	00	F8	3A	02	F4	F6	1F	B8	CA	6F	B8	0E	07	8585
FB80	1E	17	3A	04	F6	F1	04	05	F2	8F	F8	3A	01	F4	FE	78	342C
FB90	FF	C3	10	C2	82	F8	F5	E5	21	00	06	28	7C	B5	C2	98	44D0
FBAA	FB	E1	F1	04	0A	D3	F8	7A	07	5F	78	07	07	07	81	81	C33E
FBBA	4F	06	F8	0A	1F	D8	F1	D2	C3	F8	10	F8	30	FE	2A	C8	8142
FBCC	3E	2F	C9	FE	20	FA	C0	F8	10	F8	EE	10	C9	15	00	57	FF4E
FBDD	3A	E5	F3	B7	CA	D9	3E	20	C6	40	B2	10	F8	EE	20	59	7070
FBED	C9	C2	EB	F8	3A	02	F4	F6	1F	3C	C8	3E	FF	C9			C8C0

Таблица 2

AB00	21	89	AA	C0	18	F8	21	12	AD	1E	08	36	20	23	10	C2	018F	
AB10	08	A8	21	12	AD	C0	03	F8	4F	FE	00	CA	48	AB	FE	00	7475	
AB20	CA	32	AB	78	FE	08	CA	15	A8	71	1C	23	09	F8	03	31ED		
AB30	15	A8	78	FE	08	CA	15	A8	09	F8	0E	20	21	71	C0	8D	FD00	
AB40	F8	28	10	0E	08	C3	2C	AB	3E	42	C0	D6	BF	21	12	AD	08AF	
AB50	C0	D0	BF	C0	E5	BF	FE	00	C2	77	AB	21	43	AB	C0	18	91AD	
AB60	F8	C0	03	F8	FE	00	CA	08	FE	03	CA	F0	BF	C3	61		90EB	
AB70	AB	21	B6	AC	C3	5E	AB	70	C7	BF	E5	D5	C0	FA	BF	D1	9158	
AB80	E1	3E	22	BC	C2	F1	AB	70	FE	00	F2	71	AB	7E	FE	00	B2AA	
AB90	C2	71	FE	E2	01	22	78	FE	00	C2	71	AB	E1	AB	E1		7789	
ABA0	0E	D0	7E	FE	00	CA	AE	0E	00	28	C3	A2	AB	0C	79		0175	
ABB0	FE	03	C2	AA	AB	28	7E	FE	00	CA	B5	AB	23	22	2E		5279	
ABC0	AE	22	24	AD	28	28	7E	FE	00	C2	C3	AB	11	03	0D		88CF	
ABD0	5E	23	56	EB	02	58	AE	2A	C3	22	22	22	AD	21	04		2849	
ABE0	DE	1F	C0	D9	F8	23	7E	FE	00	CA	99	FE	B0	FA	E5		E6C4	
ABF0	AB	E5	D6	B0	01	C0	D0	21	29	AD	4F	D9	7E	FE	E1	FA	968A	
																	8607	
AF00	55	A9	F5	5A	20	AB	FE	00	CA	07	A9	F1	D6	E1	21	B5	D14E	
AF10	AD	01	00	00	07	07	07	07	09	EB	3A	27	AD	FE	00	C2	16D4	
AF20	38	A9	3E	01	32	27	AB	21	C1	AE	22	5E	AE	3E	00	4F	FD48	
AF30	71	FE	10	CA	38	A9	23	5C	03	A9	29	2A	32	AE	0E	08	AD68	
AF40	1A	77	13	23	00	79	FE	00	C2	40	A9	22	32	AE	E1	3E	0E17	
AF50	3F	77	C3	E5	AB	E1	77	C3	EA	3A	27	AD	FE	00	CA		C27E	
AF60	10	AA	23	EB	21	24	AD	7E	B8	C2	72	A9	23	7E	EA		32P5	
AF70	94	A9	EB	23	23	7F	5F	23	7E	57	EB	22	AD	21	27		4667	
AF80	AD	36	08	EB	C3	E5	AB	3C	32	20	AE	D1	3A	AE	C0	D0	1EE7	
AF90	A9	C3	D0	A9	3E	42	D0	BF	21	1A	AD	C0	D0	BF	2A		4E70	
AFA0	2E	AE	0E	01	71	23	EB	21	00	22	C0	CA	BF	C0			7637	
AFAB	BF	3A	20	AE	FE	00	CA	A9	21	AB	CA	AD	18	F8	C0		6032	
AFAC	C3	FB	FE	00	CA	F0	BF	C3	BF	A9	21	AB	AA	C3	BC	A9	05A5	
AFAD	2A	AE	E5	23	23	EB	2A	30	AE	7C	FE	FF	C2	EB	A9	70	1688	
FA00	FE	F8	FA	EB	A9	21	9C	AB	C3	BC	A9	23	22	38	AE	EB	4022	
FA10	73	23	72	23	11	20	2A	7E	23	73	23	0A	77	23	03	FE	5856	
																	E668	
AA00	00	C2	F8	AB	EB	2A	2E	AE	73	23	72	EB	22	2E	AE	C9	4F11	
AA10	E5	21	B3	AE	2A	22	AD	C1	0A	C0	C5	01	F6	FF	C3		1806	
AA20	01	64	00	C5	01	9C	FF	05	01	E8	03	C5	01	18	FC	C3	5716	
AA30	01	10	27	C5	01	F0	D8	C5	3E	04	32	28	AD	3E	00	32	1744	
AA40	26	AD	3E	00	C1	B9	D2	5A	AA	3C	C3	45	AA	3A	26	AD	04AC	
AA50	FE	00	CA	69	AA	3E	C0	C3	65	AA	C1	09	EB	FE	00	CA	A568	
AA60	40	AA	32	26	AD	C6	30	77	23	EB	3A	28	AD	30	32	28	FA1D	
AA70	AD	FE	00	C2	42	AA	D0	C6	30	EB	77	01	AA	E5	C0	D0	5C24	
AA80	A9	01	B9	AE	C0	D0	A9	E1	3F	7E	68	61	76	69	74		4884	
AA90	65	20	69	60	71	20	70	45	72	65	68	6F	64	69	72	75	8626	
AAA0	65	60	67	67	6F	20	66	61	6A	6C	61	3A	20	00	D0	0A	AD66	
AAA1	20	20	66	61	6A	6C	20	23	52	4F	2E	42	53	20	74		C738	
AAAC	72	65	62	75	65	74	20	72	65	64	61	68	74	69	72	6F		026C
AAAD	77	61	66	71	20	21	00	0A	20	20	20	20	20	20	20		3858	
AAAE	20	20	77	69	68	6F	20	77	00	4F	52	44	4F	53	20		ADC9	
AAAF	20	20	20	20	20	20	20	20	20	20	20	20	20	20	20		C0CE	
																	FC99	

AB00	66	61	6A	6C	20	23	52	4F	2E	42	53	20	67	6F	74	6F	B210
AB10	77	20	64	6C	71	20	7A	61	70	75	73	68	61	20	21	00	3045
AB20	0A	20	20	20	20	20	20	20	20	77	79	68	6F	6A	20		5875
AB30	77	20	4F	52	44	4F	53	20	20	20	20	20	20	20	20		C028
AB40	20	50	00	00	0A	20	20	20	20	20	20	20	20	20	20		0543
AB50	20	78	20	69	20	62	70	62	70	62	70	61	20	21	00	0A	204A
AB60	20	20	20	20	20	20	20	20	20	67	74	6F	72	69	74		1C8E
AB70	6F	64	20	20	20	20	20	20	20	77	68	20	50	00	0A		7491
AB80	20	20	20	20	20	77	68	6F	64	20	77	20	50	00	F		7AC9
AB90	20	20	20	20	20	58	20	66	34	20	50	00	F	20	20		809E
ABA0	20	20	20	20	20	20	20	20	20	20	20	64	6C	71	20		1483
ABB0	6F	74	6F	68	6F	6C	61	20	60	61	6C	6F	20	60	65		8927
ABC0	74	61	20	21	0A	00	0A	20	20	20	20	20	20	20	20		8E9F
ABD0	65	6E	78	78	69	74	45	20	6E	6F	60	65	72	20	70		8E28
ABE0	73	6C	65	64	6E	65	6A	20	73	74	72	6F	68	69	20		C638
ABF0	20	69	73	68	6F	64	6E	6F	6A	00	0A	20	20	42	41		5CAB
																	B2C0

AC00	49	43	20	70	72	6F	67	72	61	60	60	65	2C	20	73	6F	47B1
AC10	68	72	61	74	69	77	2C	20	6E	61	70	72	69	60	65	72	CF3C
AC20	2C	20	68	6E	74	65	72	77	61	6C	20	77	00	0A	20		84A0
AC30	6E	75	60	65	72	61	65	69	69	20	73	74	72	6F	68	20	4630
AC40	28	60	6F	76	6E	6F	20	77	20	73	72	65	64	65	20		1483
AC50	41	53	49	43	20	20	22	6F	72	69	6F	6E	22	29	2C	00	2420
AC60	0A	20	20	7A	61	74	65	60	20	70	6F	77	74	6F	20		389F
AC70	74	65	20	6F	62	72	61	62	6F	74	68	75	20	69	73		C5F3
AC80	6F	64	6E	6F	67	6F	60	66	61	6A	6C	61	2E	00	0A		EB26
AC90	20	20	20	20	20	20	20	20	20	20	20	20	20	20	20		92FB
ACA0	6F	64	20	77	20	4F	52	44	4F	53	20	20	20	20	20		C119
ACB0	20	42	48	20	50	00	00	0A	20	66	61	6A	6C	20	6E		8FF1
ACC0	20	42	41	53	49	43	20	73	74	61	6E	64	61	72	74		0B64
ACD0	20	21	20	00	0A	20	20	20	20	20	70	6F	77	74	6F		54C3
ACE0	74	78	20	77	77	6F	64	20	20	20	20	20	58	20	77		8920
ACF0	20	50	00	0A	20	20	20	20	20	77	79	68	6F	64	20		82F6
																	3444

LOAD "PRO"

OK:  
LIST 3030

# КОД ПРОТОКОЛА

3031 \* ПРОТОКОЛ ПЕРЕКОДИРОВКИ  
ТРЕБУЮ ПРОВЕРКИ, РЕДАКТИРОВАНИЯ ИЛИ ИЗМЕНЕНИЯ ОПЕРАТОРЫ:  
3032 \* СТРОКА: 10  
3033 \* PAUSE INPUT  
3034 \* СТРОКА: 270  
3035 \* INPUT  
3036 \* СТРОКА: 480  
3037 \* PAUSE  
3038 \* СТРОКА: 1220  
3039 \* INPUT  
3040 \* СТРОКА: 2800  
3041 \* INKEY  
3042 \* СТРОКА: 2810  
3043 \* INKEY  
3044 \* СТРОКА: 2830  
3045 \* INPUT  
OK:

Рис. 1

5 00202790  
10 70.5: CLEAR: ?"КОД/КОД ЧЕЛОВЕК ИГРАЕТ [1...6]";  
11 \* PAUSE INPUT  
20 IF Q=6 ORQ=1 THEN 10

Рис. 2

Таблица 3

1FF0	E5	C0	1B	F8	FE	20	C2	0E	20	21	22	20	BE	C2	02	20	BE08
2000	3E	00	77	CD	1B	F8	FE	FF	C2	03	20	C3	1E	20	3A	22	B804
2010	20	B7	CA	1E	20	21	00	1B	20	7C	05	C2	1B	20	E1	C3	5412
2020	1B	F8	00	00	00	00	00	00	00	00	00	00	00	00	00	00	1413

Таблица 4

208									E5	E1	E5	E1	E5	E1	E5	E1
210	E5	E1	00	00	C3	27	FA	00	00	00	00	21	00	06	22	EB
220	F3	31	C0	F3	C3	6F	F8									

Начиная с адреса 006CH (0F86CH): — C3 1B FA.

ку протокола можно перенумеровать с тем, чтобы она при использовании директивы LIST располагалась на экране рядом с редактируемой. При этом нужно следить, чтобы новый номер строки протокола не совпадал ни с одним из номеров строк программы. Для редактирования удобно (и в большинстве случаев упомянутое условие выполняется), если новый номер будет на 1 больше или меньше номера редактируемой строки;

— по окончании редактирования строку протокола удалить. Впрочем, если этого не сделать, то при запуске отредактированной программы интерпретатор выдаст сообщение об ошибке, поскольку каждая строка протокола предположительно написана с ошибкой для интерпретации;

— созданную программу можно дополнить новыми фрагментами с использованием цветных и графических возможностей "Ориона-128"

Заключительная часть работы — проверка, отладка и сохранение программы под требуемым именем — осуществляется обычным порядком. Следует помнить, что повторная обработка результирующего файла (#F0.BS) недопустима, так как приводит к замене правильных операторов ошибочными и к созданию неработоспособной программы.

В качестве примера на рис.1 приведена копия экрана с протестомом обработки одной из реальных игровых программ, а на рис.2 ее фрагмент вместе с перенумерованной строкой протокола 3033 (новый номер 11). В строке 10 программа первый знак вопроса заменит оператор PAUSE. Такого оператора в БЕЙСИКЕ "ORION" версии V1.1 нет, поэтому задержка 0,5 с (PAUSE 0.5) должна быть осуществлена другим способом, например, организацией пустого цикла.

Второй знак вопроса заменит оператор INPUT, который есть в обоих интерпретаторах. Однако в БЕЙСИКЕ "МИКРОПОН" оператор может применяться в режиме калькулятора, а в БЕЙСИКЕ "ORION" — нет. В представленном фрагменте программы оператор INPUT используется в режиме ввода, синтаксис которого одинаков для обоих интерпретаторов, и поэтому вся работа по редактированию сводится к восстановлению на

месте знака вопроса оператора INPUT путем набора на клавиатуре или с помощью клавиш <AP2> и <I>. После этого строку протокола 11 можно удалить.

## ДОПОЛНЕНИЕ К ГРАФИЧЕСКОМУ РЕДАКТОРУ PENX

Опыт работы с графическим редактором PENX [7] показал, что из-за высокой скорости перемещения пера в режиме "Линза" трудно прорисовывать детали или корректировать и исправлять графическое изображение. Предлагаемая доработка программы PENX позволяет управлять движением пера как с обычной, так и с замедленной скоростью. Включая и выключая замедленную скорость перемещения пера клавишей "Пробел"

Для доработки редактора необходимо в его конец, начиная с адреса 1FF0H, поместить коды программы замедления, приведенные в табл.3. Кроме того, по адресу 002EH слово 1BF8H необходимо заменить на слово F01FH. Такая доработка обеспечивает перевод пера на соседний пиксел в режиме "Линза" и других режимах с естественной длительностью удержания клавиши, соизмеримой с длительностью при вводе текста

## УПРАВЛЕНИЕ СКОРОСТЬЮ ПОЛУЧЕНИЯ КОДА НАЖАТОЙ КЛАВИШИ

Скорость получения кода клавиши клавиатуры "Ориона-128" неизменна и примерно одинакова для всех опубликованных версий МОНИТОРа-2. Однако для многих игровых программ, графического редактора PENX и др. требуется управлять скоростью реакции программы на нажатую клавишу. Предлагаемая доработка МОНИТОРа-2 при использовании стандартных выходов обеспечивает ускорение получения кода клавиши в 15...17 раз и замедление более чем в 40 раз. Доработка базируется на программном изменении параметра подавления дребезга клавиш и состоит в следующем.

В ПЗУ с МОНИТОРом-2 всех опубликованных версий, включая и предложенную в данной статье, следует, начиная с адреса C020H (0F408H), вместо нулей записать коды, приведенные в табл.4. Этот фрагмент доработки служит для записи стандартного параметра подавления дребезга в служебные ячейки памяти МОНИТОРа при холодном и горячем старте компьютера. Кроме того, для загрузки текущего значения параметра подавления дребезга необходимо записать коды 2A EB F3 в МОНИТОР [8] начиная с адреса 030AH (0F08AH); в МОНИТОР [9] — с адреса 0305H (0FB5H), в предложенный в данной статье с адреса 0398H (0FB8H)

При записи из пользовательской программы в ячейки 0F3E8H и 0F3E9H служебной области МОНИТОРа соответственно значений 01 (не 00!) и 00 скорость реакции на нажатую клавишу будет максимальной, а значений FF и FF — минимальной. При записи промежуточных значений (в 0F3E8H — младший разряд, в 0F3E9H — старший) можно гибко и быстро управлять скоростью реакции на нажатую клавишу, например, изменять сложность динамической игровой программы или скорость движения пера графического редактора PENX

## ЛИТЕРАТУРА

- Сугоник В., Сафронов В. "Орион-128". Первые итоги — Радио, 1990, № 12, с. 46-49.
- Фролин Е., Макаров А. Клавиатура "Электроник МС700" в "Радио-86РК". — Радио 1991, № 12, с. 40-41.
- Сугоник В., Сафронов В. БЕЙСИК "ORION". — Радио, 1991, № 4, с. 33-39; № 5, с. 37-42.
- Гуляков В. Доработка BASIC "ORION". — Радио, 1994, № 5, с. 21.
- Бардуков В., Фадеев Е. БЕЙСИК "МИКРОПОН". — Радио, 1984, № 8, с. 37-43.
- Федоренко Ю. "Орион-128" КОПИРОВАНИЕ ЭКРАНА. — Радио, 1994, № 5, с. 20-21.
- Сугоник В., Сафронов В. ПК "ORION-128". Графический редактор PENX. — Радио, 1991, № 8, с. 49-57.
- Сугоник В., Сафронов В. Основы МОНИТОРа для ПК "Орион-128". — Радио, 1991, № 1, с. 35-38.
- Сугоник В., Сафронов В. "Орион-128". Собираем подробности. — Радио, 1991, № 2, с. 44-48.

# ЧЕРТЕЖИ ПЕЧАТНЫХ ПЛАТ — НА «РАДИО-86РК»

**В. ЧЕРНЫШЕВ, г. Ивано-Франковск, Украина**

Для записи изображения платы на магнитофон используют директиву <O>. Информацию записывается на магнитную ленту двумя блоками: сначала сторона «ПРИПОЙ», затем, через паузу, «ДЕТАЛИ». Если редактируется односторонняя плата, во время паузы между блоками записи можно прервать клавишей <СВРОС>. Перед загрузкой такой платы необходимо очистить память директивой <N> РЕДАКТОРА или «F1000,5FFF» МОНИТОРА. Загружают изображение платы в ОЗУ директивой (директивами) «Т» МОНИТОРА. Директива <E> передает управление МОНИТОРУ. Использовать для этой цели клавишу <СВРОС> нежелательно.

Теперь о дополнительных директивах РЕДАКТОРА. Директива <C> переключает курсор в режим инверсии знакоместа (при этом он скорее всего, исчезнет с экрана, так как базовый вариант «Радио-86РК» этот режим не поддерживает). Директива <D> включают внутренний драйвер клавиатуры, использующий подпрограмму DF81BH. Он позволяет ускорить перемещение курсора по рабочему полю при одновременном нажатии на клавишу <SC> (<NP>) и клавишу управления курсором

Несколько слов о приемах работы с РЕДАКТОРОМ. Некоторые ситуации, возникающие при работе с программой, изображены на рис. 2 так, как они выглядят на экране, а на рис. 3 (M1.1) и 4 (M2.1) — в отпечатанном виде (соответственно в масштабе 1.1 и 2.1). При размещении на плате микросхем в корпусах DIP с 14 выводами и им подобных расстояние между рядами выводов равно 6, а в корпусах этого типа с 24 и более выводами — 12 ячеек. Расстояние между выводами резисторов MLT-0,125 — 8—10 ячеек. Для измерения небольших расстояний на плате удобно использовать неистинную микросхему в корпусе DIP: цена деления такой «линейки» (расстояние между выводами) 2 ячейки.

Для того чтобы соединить два элемента платы (например, две контактные площадки), установите курсор на одну из них, нажмите на клавишу <1> или <2>, проведите курсором дорожку ко второй и повторно нажмите на эту клавишу.

Описываемая программа не позволяет изображать на платах текстовые комментарии. Причина очевидна — недостаток памяти и скудные графические возможности «Радио-86РК». Впрочем, про-

стойщие надписи можно составить из символов, «собранных» из стандартных элементов. Примеры изображений цифр и некоторых букв приведены на упомянутых рисунках. Здесь может помочь директива <4>, которая перебирает символы в текущей ячейке по их условному коду.

Теперь об адаптации РЕДАКТОРА программы к компьютеру. Если последовательность расположения адресов регистров контроллеров ГДП и дисплея в его адресном пространстве совпадает с «Радио-86РК» и регистры адресуются как ячейки памяти, адаптация несложна. В противном случае она немного усложнится, и в данной статье не рассматривается.

Итак, в ячейках 94CH—94DH и BE9H—BEAH хранится адрес регистра управляющего слова контроллера дисплея. В ячейках 901H—902H записан адрес регистра режима контроллера ГДП. В случае использования «Микроши» здесь записывается число F80BH. Адреса остальных регистров должны находиться «по соседству» в младших адресах.

Во время работы РЕДАКТОРА в видеомониторах некоторых типов срывается кадровая синхронизация. Так этот дефект возникал при работе компьютера с видеомонитором «Электроника МС6114.04». Чтобы устранить дребезжание изображения, попробуйте записать в ячейку BF1H одно из следующих значений: 64H, A4H, E4H. Такая модификация увеличит длительность кадровых синхроимпульсов.

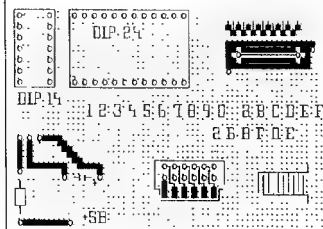


Рис. 2

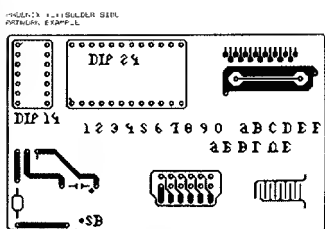


Рис. 4

Клавиша <L> запрещает вывод на экран координат курсора. Дело в том, что они расчисляются при каждом его смещении, а это занимает некоторое время. Задержка особенно заметна, когда курсор находится в правом нижнем углу рабочего поля.

PHOENIX IC, SOLDER SIDE  
EXAMPLE



Рис. 3

Как уже говорилось, РЕДАКТОР выводит относительные координаты курсора в двойной системе. Если для вас более удобна метрическая система (размеры ячейки 1.25x1.25 мм), в табл. 2 нужно изменить содержимое ячейки с адресом B61H с 27H на 5H.

Поскольку эта программа разрабатывалась задолго до того, как в журнале «Радио» была предложена доработка знака-генератора [2], включающая в него

большинство необходимых символов табличной графики, автору пришлось самому подумать, как ввести их изображения в аналогенератор. Коды символов, естественно, оказались различными. Тем не менее программу довольно легко адаптировать под любую кодировку символов. В данном случае нужно изменить в теле программы таблицу соответствия ASCII-кодов условным

BASE: 00 4F 5F 0C 10 08 02 04 11 01 0F 07 03 05 06 0A

и код символа, используемого в качестве курсора:

00B1: 18  
00B6: 18

Однако в этом случае символы с условными кодами 4 и B будут в виде стрелок.

Для печатания изображений плат понадобится принтер. Он должен быть матричным или струйным и иметь EPSON-совместимую систему команд (большинство современных принтеров отвечают этим требованиям). Изображения схем символов хранятся в теле программы в упакованном виде, и распаковываются в память по адресу 6000H перед печатанием. После запуска печатающей части программы (все коды приведены в табл. 6, а блочные контрольные суммы в табл. 7) на экран выводятся название текущей стороны платы и перечень команд. Команда <1> меняет текущую сторо-

ну, команда <2> аналогична команде <M> РЕДАКТОРА и строит зеркальное изображение платы. При нажатии на клавишу <B> текущая сторона считается. Если программа обнаружит, что обе стороны чисты, на экране появится приглашение загрузить изображенные платы и управление будет возвращено МОНИТОРУ. Еще раз напоминаю, что эту команду желательно выполнять всегда, когда возможно. Директива <I> передает управление МОНИТОРУ.

Для печатания предзаданных команд <3>—<5>. После их ввода программа запрашивает комментарий, который будет напечатан перед изображением. Рекомендуется использовать прописные латинские буквы, "Отчитываться" перед

Таблица 6

0000:	31	CF	76	CD	07	04	7B	87	C2	14	00	21	C6	05	18	1224
0010:	F8	C3	6C	F8	21	A8	07	11	00	60	46	23	7E	12	13	05
0020:	C2	1C	00	01	FE	00	23	7C	B8	C2	1A	00	70	89	C2	1A
0030:	00	21	F4	05	0C	18	F8	21	C5	06	3A	0E	05	87	CA	44
0040:	00	21	0C	06	0C	18	F8	21	35	06	0C	18	F8	87	CA	44
0050:	4F	D6	31	DA	31	00	FE	07	02	31	00	0C	89	F8	87	CA
0060:	26	00	01	FA	06	09	5E	23	56	EB	69	3A	0E	05	87	CA
0070:	32	BE	05	C3	31	00	3A	BE	05	21	00	1A	0E	05	87	CA
0080:	21	00	38	01	00	28	36	23	08	78	B1	C2	B6	00	C3	5A1A
0090:	00	00	0C	F2	04	78	32	C1	05	0C	07	04	78	32	C3	05
00A0:	3E	01	32	C5	C3	BA	00	0C	07	04	78	32	C1	05	0C	05
00B0:	F2	04	78	32	C5	AF	32	C3	03	C2	03	C2	03	47	05	05
00C0:	21	0C	06	0C	33	01	0C	49	01	16	00	05	C0	49	01	3A
00D0:	0E	05	01	00	00	87	CA	00	01	00	28	3A	C5	03	B7	5205
00E0:	7A	CA	88	04	C5	77	04	21	00	68	01	64	4C	3E	05	02
00F0:	03	3A	C1	C5	5F	7E	02	23	03	10	C2	F5	00	3E	03	02
0100:	0C	63	01	D1	14	3A	07	EE	07	32	38	07	3A	C5	05	05
0110:	8A	C2	C9	00	00	49	01	21	09	03	C3	01	C0	63	01	C1
0120:	0C	49	01	C0	63	01	0E	4C	00	7A	C3	0E	0A	C0	A4	03
0130:	C3	31	00	03	65	11	EA	4C	00	7A	C3	3A	C1	05	3A	0A
0140:	23	30	C2	3E	01	73	E1	D1	C9	C5	05	E5	11	0A	68	21
0150:	42	6C	01	44	01	7E	12	23	13	08	78	B1	C2	53	01	C1
0160:	01	C1	C9	C5	05	E5	21	54	07	C9	03	11	00	00	00	00
0170:	8E	01	21	38	07	C9	03	11	18	00	C0	0E	01	21	42	05
0180:	07	C9	03	11	30	00	C0	BE	01	E1	C1	C9	3A	C1	05	04
0190:	05	C6	7E	26	00	29	29	44	40	09	09	31	30	09	09	08
01A0:	40	C0	AE	C5	4C	0A	0A	C3	CA	C1	03	47	04	04	21	42
01B0:	6C	7E	01	C1	C9	03	11	FE	02	C2	69	01	C0	C6	01	05
01C0:	23	C2	B1	01	C1	C9	C5	E5	6F	26	00	29	29	44	40	256C
01D0:	09	09	44	00	09	01	C1	C0	09	09	16	08	1A	4E	4A	7315
01E0:	03	05	23	C2	00	01	E1	C1	C9	C5	C5	F5	01	04	00	B6AF
01F0:	11	90	07	E9	C5	4E	23	46	23	E8	09	7E	88	C1	30	CA
0200:	06	02	30	C2	0C	D2	7E	80	47	C3	2A	02	06	05	E6	268C
0210:	FE	0A	CA	24	02	FE	08	CA	24	02	07	07	07	07	07	AC5A
0220:	24	02	26	00	7C	E6	00	47	E1	23	00	C2	F4	C1	26	6383
0230:	00	78	32	C4	05	E6	0F	61	17	07	09	F1	F1	11	10	00
0240:	30	CA	45	02	19	7E	47	E6	3F	88	04	51	02	C1	E1	8E93
0250:	C9	21	9C	0F	0E	7B	23	23	C2	54	02	20	47	3A	04	A767
0260:	05	0F	0F	0F	0F	A6	E6	0F	78	23	7E	C9	07	04	07	5756
0270:	78	32	C1	05	87	CA	31	00	30	CA	31	00	01	00	00	5F28
0280:	88	02	01	00	20	88	02	C3	C1	00	16	80	05	C5	7A	39AE
0290:	C9	77	04	00	20	68	05	4F	7E	C0	47	5F	16	00	19	925F
02A0:	28	78	3C	E6	FE	0F	CA	7E	C0	02	47	1A	00	C6	02	2F2A
02B0:	77	78	12	18	00	C2	A7	02	C1	7A	70	CA	09	04	15	3342
02C0:	7A	3C	C2	80	02	C9	C5	05	4F	06	00	21	50	07	09	2225
02D0:	70	E1	C1	E1	C9	07	04	78	32	C1	05	E2	03	21	8805	
02E0:	00	10	01	00	28	3A	8E	05	87	CA	E8	02	09	22	8F	05
02F0:	C9	49	05	21	0C	06	0C	38	05	C0	F2	04	C5	21	49	404F
0300:	00	77	03	3A	4A	07	EE	01	32	00	07	16	00	C0	32	05
0310:	2A	8F	05	11	30	00	19	22	8F	05	C1	05	C2	F0	02	01
0320:	09	03	C0	30	05	0E	00	AA	03	0E	0A	0A	03	C3	35F4	
0330:	31	00	3A	C1	05	C5	6F	26	00	29	44	40	09	01	00	5864
0340:	00	09	40	00	AA	03	C2	0C	AA	03	7A	87	C2	97	03	1055
0350:	05	0C	78	3A	C1	05	47	2A	8F	05	7E	E6	0F	C0	78	CA40
0360:	03	05	CA	74	03	7E	0F	0F	0F	E6	0F	C0	78	03	05	4748
0370:	23	C2	58	03	09	05	00	78	03	C1	C9	C5	E5	6F	26	00
0380:	29	44	40	40	09	01	FE	09	09	06	46	0A	0A	03	05	B284
0390:	23	C2	80	03	E1	C1	C9	C1	C9	46	23	4E	0A	03	05	9498

03A0:	C2	9A	03	C9	3A	02	80	E6	40	CA	01	04	3A	02	0A	1F	BAD4	
03B0:	DA	A4	03	1F	02	A4	03	3A	02	0A	1F	DA	A4	03	1F	02	B9B6	
03C0:	AA	03	3A	02	0A	1F	DA	A4	03	1F	02	AA	03	79	32	00	6866	
03D0:	0A	03	58	32	03	40	3E	07	30	C2	08	03	3E	09	32	03	A7A6	
03E0:	A0	C9	05	C5	3E	63	32	03	AA	3E	70	32	02	AA	C1	E1	F2C0	
03F0:	C9	05	C2	32	03	40	97	30	C2	F7	03	00	32	03	AA	C0	FC98	
0400:	C9	05	F1	E3	C3	31	00	21	4F	10	06	AA	16	F0	0E	00	8038	
0410:	E5	7E	A2	C2	3F	04	E5	05	11	00	29	01	7E	A2	C2	0EC9		
0420:	3E	04	E1	05	11	50	00	19	01	00	C2	11	04	71	7A	E7	8770	
0430:	FF	57	05	C8	78	E6	01	C2	EE	04	28	C3	0E	04	E1	E1	3018	
0440:	C9	F5	3A	C1	05	30	6F	26	00	29	29	29	29	50	54	29	E90E	
0450:	29	19	11	00	10	19	09	F1	F5	E6	FE	0F	4F	06	00	09	878C	
0460:	F1	E6	01	4F	C9	6F	26	00	29	29	29	29	50	54	29	29	082C	
0470:	19	11	00	10	19	09	C9	C5	E5	05	C5	65	04	06	50	11	3541	
0480:	00	68	7E	E6	0F	12	13	7E	0F	0F	0F	E6	0F	E6	0F	12	C707	
0490:	23	05	C2	02	04	E1	01	C1	C9	C5	05	E5	C5	65	04	06	6967	
04A0:	50	E8	21	00	68	7E	0F	0F	0F	23	86	0F	0F	0F	0F	0F	8A96	
04B0:	12	23	13	05	C2	A5	04	E1	01	C1	C9	F5	C5	05	E5	C5	7035	
04C0:	41	04	3A	C1	05	47	11	00	68	79	1F	7E	02	03	04	0F	C8D6	
04D0:	0F	0F	0F	E6	0F	C5	E5	4F	06	02	21	60	07	09	7E	E1	3411	
04E0:	C1	12	13	05	C1	08	F0	09	C1	05	C2	C9	04	E1	01	C1	722C	
04F0:	F1	C9	21	FF	37	06	80	0E	50	7E	E5	87	C2	13	05	11	EFFA	
0500:	00	20	19	7E	87	C2	13	05	E1	28	00	C2	F9	04	E5	C2	32EF	
0510:	77	04	C9	E1	C9	E5	05	16	01	C0	32	03	D1	E1	E2	7C	E054	
0520:	00	78	3A	C1	05	47	3E	0A	0A	78	03	05	E1	C5	27	05	1818	
0530:	E1	E5	70	0C	78	03	E1	C9	E5	21	49	07	C9	09	03	E1	FED8	
0540:	11	00	00	15	05	C9	21	05	06	C0	18	F6	00	00	11	A481		
0550:	87	60	C0	03	F8	FE	03	CA	31	05	FE	00	CA	94	05	FE	2024	
0560:	7A	CA	69	05	FE	08	C2	79	05	78	87	CA	52	05	21	F6	7464	
0570:	06	18	F8	05	18	C3	52	05	FE	18	C2	7F	05	1A	FE	9891		
0580:	20	DA	52	05	12	4F	78	FE	3F	D2	52	05	C0	09	F8	13	6471	
0590:	04	C3	52	05	3E	00	12	13	3E	0A	12	78	3C	32	86	00	0090	
05A0:	60	21	08	07	00	99	03	21	15	07	3A	8E	05	B7	CA	CA	C575	
05B0:	05	05	21	23	07	C0	99	03	21	86	60	C0	99	03	C9	00	03FF	
05C0:	00	00	00	00	00	00	00	0A	70	61	60	71	74	78	70	7E	69	46AC
05D0:	05	73	74	61	20	20	20	7A	61	67	62	75	7A	79	74	65	20	9FBA
05E0:	69	7A	67	62	72	61	76	65	66	69	65	20	78	61	62	62	66	0168
05F0:	6F	6E	61	00	1F	50	48	68	65	4E	49	58	20	28	43	29	072C	
0600:	00	0A	70	65	7E	61	74	78	20	78	61	62	62	66	6E	6F	66	63CD
0610:	77	20	70	65	7E	61	74	6E	79	68	20	70	6C	61	74	00	64EC	
0620:	0A	73	74	65	68	75	70	61	71	20	73	74	76	72	6E	6E	78E1	
0630:	61	20	20	20	00	0A	64	6F	73	74	75	70	6E	79	20	60	6F88	
0640:	68	6F	61	61	6E	64	79	3A	0A	00	31	20	73	74	6F	6F	9702	
0650:	72	6F	6E	61	00	0A	32	20	7A	65	72	68	61	6C	6F	00	2328	
0660:	0A	33	20	7E	65	72	6E	6F	77	69	68	20	28	31	3A	31	9EC8	
0670:	29	00	0A	54	20	7E	69	73	74	67	77	69	68	20	28	32	75A3	
0680:	3A	31	29	00	0A	35	20	70	6F	77	65	74	6E	75	74	78	9509	
0690:	20	7E	69	73	74	67	77	69	68	00	32	36	70	6E	7E	69	1478	
06A0:	73	74	69	74	78	20	73	74	6F	72	6F	6E	65	70	0A	37	92C4	
06B0:	20	77	79	68	6F	6A	00	0A	77	79	69	69	72	61	6A	0C	0C71	
06C0:	74	65	2E	20	70	72	69	70	6F	6A	0A	00	64	65	74	74	9202	
06D0:	61	6C	69	0A	00	0A	00	77	77	65	64	69	74	65	20	70	74E0	
06E0:	6F	71	73	6E	69	74	65	08	68	6E	69	6A	60	74	7E	65	379C	
06F0:	73	74	3A	0A	00	00	00	20	09	68	00	60	40	02	05	02	1819	
0700:	A8	00	92	00	76	00	00	FB	0C	50	49	4F	45	E6	49	58	78CF	
0710:	20	28	43	29	30	00	53	4F	6C	44	55	52	20	53	49	44	84C5	
0720:	45	00	0A	10	43	4F	40	50	4F	4E	45	4E	54	20	53	49	950B	
0730:	44	45	00	0A	06	00	18	44	11	18	5A	04	00	00	00	00		

0740:	1B 5A 06 0D 1B 4A 01 1B 5A 06 0D 1B 4A 0A 1B 4C	024C	0B00:	06 86 01 C6 01 CC 01 EC 03 FC D2 F8 01 F0 01 18	FD10
0750:	00 01 02 09 08 05 0C 0D 04 03 0A 0B 06 07 0E 0F	6978	0B10:	01 38 01 3C 01 7C 02 7E 01 6E 01 66 01 46 06 C3	9859
0760:	00 01 02 06 08 0A 0C 0E 04 03 05 07 09 06 0D 0F	6978	0B20:	01 C7 01 E7 01 EF 0E FF 01 01 38 04 7C 01 EE	745E
0770:	01 14 15 18 16 1C 19 1C 17 1B 1C 1C 1A 1C 1C	6681	0B30:	0A C6 01 EE 06 FE 01 30 01 38 01 78 01 7C 02 FC	2921
0780:	25 10 16 61 1F 02 62 02 20 64 02 02 63 02 02 02	3737	0B40:	01 EC 01 CC 01 C6 06 B6 01 C6 01 CE 01 EE 06 FE	9096
0790:	5E FF 41 A3 00 82 A1 00 14 50 FF 2B 21 03 10 22	3552	0B50:	01 F1 02 3F 03 7F 01 6F 01 67 01 47 06 C3 01 47	CF14
07A0:	06 11 24 09 13 25 0C 12 48 00 01 1B 01 38 01 3C	346F	0B60:	01 67 01 6F 03 7F 02 3F 01 3F 01 1E 01 3E 04 7E	1F98
07B0:	01 7C 02 7E 01 6E 01 66 01 46 06 C3 01 46 01 66	2E91	0B70:	01 EE 0A C6 01 EE 04 7E 01 3E 01 1E 02 3E 02 7E	034E
07C0:	01 6E 02 7E 01 7C 01 3C 01 38 01 18 01 01 38	0F45	0B80:	02 FE 01 EE 01 C6 06 C6 06 01 C6 01 CE 01 EE	AD96
07D0:	04 7C 01 EE 0A C6 01 EE 04 7E 01 3E 01 01 30	FC29	0B90:	02 FE 02 7E 02 CE 06 FF 01 EF 01 EF 01 C7 06 C3	702E
07E0:	01 38 01 78 01 7C 02 FC 01 EC 01 CC 01 C6 06 B6	883A	0BA0:	01 46 01 66 01 6E 02 EE 04 7C 01 3C 01 38 01 18	93A9
07F0:	01 C6 01 CC 01 EC 02 FC 01 7C 01 78 01 38 01 30	830F	0BB0:	06 FE 01 EE 0A C6 01 EE 04 7C 01 38 01 10 06 FE	8680
0800:	1B FF 00 34 FE 09 00 03 80 84 C0 60 03 30 01 18	3145	0BC0:	01 EE 01 CE 01 C6 06 B6 01 C6 01 CC 01 EC 02 FC	9990
0810:	0A 00 04 80 03 C0 06 05 00 04 00 04 80 03 C0	7C3A	0BD0:	01 7C 01 78 01 30 01 30 06 02 FC 02 FE 01 EE	3047
0820:	01 40 03 68 02 30 02 18 01 08 02 01 04 03 06	10T5	0BE0:	01 E6 01 C6 06 C3 01 C7 01 E7 01 EF 06 FF 01 F0	2300
0830:	03 83 03 C1 01 40 02 60 02 20 02 03 01 10 01 18	5568	0BF0:	01 F8 04 FC 01 EE 0A C6 01 EE 06 FE 01 F0 02 F8	A696
0840:	01 10 02 18 01 08 02 0C 01 04 03 06 82 03 C0	0B98	0C00:	03 FC 01 EC 01 CC 01 C6 06 B6 01 C6 01 CE 01 EE	A891
0850:	01 40 03 60 01 20 02 30 01 10 01 30 01 10 02 18	4D64	0C10:	06 FE 01 F1 02 3F 03 7F 01 6F 01 67 01 47 06 C3	1000
0860:	01 08 03 0C 03 06 03 82 01 80 02 C0 01 40 03 60	2F80	0C20:	01 C7 01 E7 01 EF 0E FF 01 1E 01 3E 04 7E 01 EE	8A7E
0870:	01 20 02 30 09 00 06 FF 12 00 06 FE 12 00 06 FE	9180	0C30:	0A C6 01 EE 06 FE 02 3E 02 7E 02 FE 01 EE 01 CE	7841
0880:	12 00 03 01 03 03 03 06 01 04 02 0C 01 08 02 18	4358	0C40:	01 C6 06 B6 01 C6 01 CE 01 EE 06 FE 06 FF 01 EF	ET01
0890:	08 00 03 02 03 06 01 04 02 0C 01 08 02 18 01 10	5060	0C50:	01 E7 01 C7 01 C6 03 01 47 01 67 01 4F 03 7F	023F
0900:	0A 00 03 02 03 06 01 04 02 0C 01 08 02 18 01 10	4F5F	0C60:	01 1F 06 FE 01 EE 0A C6 01 EE 04 7E 01 3E 01 1E	9882
0910:	01 30 09 00 06 FF 01 7C 02 3C 01 30 05 18 09 00	5659	0C70:	06 FE 01 EE 01 CE 01 C6 06 B6 01 C6 01 CE 01 EE	B19A
0920:	06 FE 02 7C 03 38 04 10 09 00 06 FE 01 7C 02 78	6005	0C80:	02 FE 02 7E 02 3E 06 FF 01 EF 01 E7 01 C7 06 C3	702E
0930:	01 38 05 30 02 18 03 30 01 20 02 60 01 40 03 C1	8343	0C90:	01 C6 01 E6 01 EE 02 FE 02 FC 02 F8 01 FE 01 CE	A088
0940:	03 83 03 03 03 0C 03 0C 03 18 01 10 03 30 60 01 40	62A1	0CA0:	0A C6 01 EE 04 FC 01 F8 01 F0 06 FE 01 EE 01 CE	A368
0950:	03 03 03 02 03 06 03 0C 03 18 01 10 03 30 60	C322	0CB0:	01 C6 06 B6 01 C6 01 CC 01 EC 03 FC 02 F8 01 F0	038E
0960:	01 40 02 C0 01 80 03 02 03 06 03 0C 03 18 02 38	406E	0CC0:	06 FF 01 EF 01 E7 01 C7 06 C3 01 C7 01 E7 01 EF	250E
0970:	01 18 01 10 02 30 02 20 02 60 01 40 03 C0 03 B0	EB67	0CD0:	06 FF 06 FE 01 EE 0A C6 01 EE 0C FE 01 EE 01 CE	B77F
0980:	09 00 01 10 02 38 01 20 03 60 01 40 03 C0 03 00	0D57	0CE0:	01 C6 06 B6 01 C6 01 CE 01 EE 0C FE 02 FC 02 FC	DD04
0990:	0A 00 02 30 01 20 03 60 01 40 03 C0 03 08 00	5452	0CF0:	05 FE 06 FF 05 FE 02 FC 02 F8 01 F0 01 F8 04 FC	FFED
09A0:	18 18 18 10 18 30 05 18 03 38 01 78 06 F8 01 78	72E8	0D00:	0C FE 04 FC 01 F8 02 F0 02 F8 05 FC 08 FE 05 FC	01F7
09B0:	03 38 05 18 04 10 03 30 02 70 06 02 70 03 30	7EAC	0D10:	02 F8 01 F0 02 18 01 3C 01 7C 05 7E 0F 0F 01 10	5561
09C0:	04 10 06 30 03 70 06 F0 03 70 06 30 03 18 03 0C	7C86	0D20:	01 30 01 3C 03 7C 12 FE 01 30 01 38 01 78 01 7C	8E65
09D0:	03 06 03 03 03 01 09 00 01 10 06 18 03 0C 03 06	5A60	0D30:	04 FC 10 FE 01 F1 02 3F 03 7F 01 6F 06 7F 02 FC	848F
09E0:	03 02 08 00 02 30 03 18 03 0C 06 03 02 0A 00	8484	0D40:	01 1F 01 1E 01 3E 04 7E 0C FE 04 7E 01 3E 01 1E	CEEA
09F0:	05 18 01 38 02 3C 01 7C 06 FF 09 00 04 10 03 38	386E	0D50:	02 3E 02 7E 10 FE 02 7E 02 3E 0F FF 05 7E 01 7C	249C
09A0:	02 7C 06 FE 09 00 05 30 01 38 02 78 01 7C 06 FE	F8F4	0D60:	01 3C 01 30 01 18 12 FE 04 7C 01 38 01 10 10 FE	7877
09B0:	09 00 06 18 03 1C 06 1F 03 1C 06 18 04 10 03 18	BFD7	0D70:	04 FC 01 7C 01 78 01 38 01 30 02 F8 02 FC 05 FE	6158
09C0:	02 1C 06 1E 02 1C 03 18 04 10 05 30 03 38 01 3C	813C	0D80:	0F FF 01 F0 01 F8 04 FC 12 FE 01 F0 02 FC 05 FC	FEF4
09D0:	06 3E 01 3C 03 38 05 30 18 01 38 02 3C 01 7C	8702	0D90:	01 1F 01 1F 02 3E 06 7F 0F FF 01 1E 01 3E 04 7E	67E2
09E0:	06 FF 01 7C 02 3C 01 38 05 18 04 10 03 38 02 7C	827C	0DA0:	12 FE 02 3E 02 7E 14 FE 0F 0F 06 7F 02 3F 01 1F	B806
09F0:	06 FE 02 7C 03 38 04 10 05 30 01 30 02 78 01 7C	B636	0DB0:	12 FE 04 7E 01 3E 01 1E 14 FE 02 7E 02 3E 0F FF	D400
0A00:	06 FE 01 7C 02 78 01 38 05 30 03 80 04 C0 03 0E	B693	0DC0:	05 FE 02 FC 08 FE 12 FE 04 FC 01 F8 01 F0 10 FE	0C03
0A10:	03 F0 03 F8 04 FC 03 FE 01 FF 01 00 04 80 03 C0	7C37	0DD0:	05 FC 02 F8 01 F0 02 3C 01 7C 05 7E 0F 0F 07 03	3884
0A20:	03 E0 03 F0 03 F8 04 FC 02 FE 03 01 04 03 83 07	E3E6	0DE0:	01 78 03 3C 01 7E 0E FE 01 7E 03 7C 7C 01 3C	C801
0A30:	03 0E 04 1F 03 3F 03 7F 01 FF 02 00 03 02 04 06	060A	0DF0:	00 00 00 00 60 90 90 90 90 90 90 90 90 90 90	F8F0
0A40:	03 0F 04 1E 03 3E 03 7E 02 FE 01 00 03 02 04 06	0005	0E00:	00 00 00 80 80 40 20 10 90 80 00 00 00 00 00	03F0
0A50:	03 0E 03 1E 04 07 03 7E 01 FF 03 7F 03 3F	7EBA	0E10:	00 00 00 00 00 10 20 40 80 00 00 00 40 48 40	2260
0A60:	03 0F 04 1E 04 03 03 03 03 01 02 FE 03 7E 04 3E	D0D0	0E20:	00 90 20 40 40 40 40 80 00 00 40 40 40 40 40	F330
0A70:	04 1E 04 0E 03 06 03 02 02 00 01 FF 03 FE 03 FC	CAD7	0E30:	40 40 40 40 40 40 40 40 20 10 10 00 40 40 40	4330
0A80:	03 1E 04 0E 03 06 03 02 02 00 01 FF 03 FE 03 FC	4842	0E40:	00 00 40 40 40 40 40 40 40 40 40 40 40 40 40	E400
0A90:	03 0F 04 0E 03 06 03 02 02 00 01 FF 03 FE 03 FC	B315	0E50:	00 00 00 80 80 80 80 80 80 80 80 80 80 80 80	C840
0AA0:	04 F8 03 F0 04 E0 03 C0 03 80 03 FE 03 FC 04 F8	2518	0E60:	00 00 00 40 40 00 00 00 00 00 00 00 00 00 00	0230
0AB0:	03 F0 04 E0 03 C0 03 80 01 00 02 FE 03 FC 03 F8	1F18	0E70:	00 00 00 00 00 00 00 00 00 00 00 00 00 00 00	4260
0AC0:	04 F0 03 0E 04 C0 03 80 02 02 02 F8 02 FC 02 FE	0803	0E80:	20 00 00 90 90 00 40 40 40 40 40 40 20 20 20	6260
0AD0:	01 EE 01 E6 01 C6 06 C3 01 C6 01 E6 01 EE 02 FE	AB90	0E90:	80 80 00 40 40 40 40 40 40 40 40 20 20 20 20	43C0
0AE0:	02 FC 02 F8 01 F0 01 F8 04 FC 01 EE 0A C6 01 EE	A565	0E00:	00 40 00 00 00 00 00 00 00 00 00 00 00 00 00	2220
0AF0:	04 FC 01 F8 02 F0 02 F8 03 FC 01 EC 01 CC 01 C6				

Таблица 7

0000-00FF:F79F  
0100-01FF:CF38  
0200-02FF:2B02  
0300-03FF:165F  
0400-04FF:26C6  
0500-05FF:A34C  
0600-06FF:5E00  
0700-07FF:5555  
0800-08FF:2A63  
0900-09FF:B20C  
0A00-0AFF:AE27  
0B00-0BFF:3CE2  
0C00-0CFF:2A6C  
0D00-0DFF:4EFE  
0E00-0E00:0200  
0C00-0E00:3691

компьютером не обязательно: достаточно нажать клавишу <BK> и программа сразу начнет печатать.

Кроме комментария, перед чертежом печатаются название породившей его программы и обозначение стороны: "COMPONENT SIDE" ("ДЕТАЛИ") или "SOLDER SIDE" ("ПРИПОИ").

Директива <3> печатает черновые изображения в масштабе 1:1. Каждый ряд ячеек печатается за один проход, поэтому скорость вывода максимальна. Если приложить полученный отпечаток к заготовке платы, сверлить отверстия будет значительно легче. Директива <4> печатает изображения в трехпроходном режиме с максимальным качеством и в мас-

штабе 2:1. В этом режиме изображение подвергается специальной обработке: у площадок срезаются недействующие углы, сглаживаются переходы между отверстиями и площадками и т. д. Благодаря этой обработке, например, между расположенными в шахматном порядке контактными площадками нет электрического контакта. Примеры изображений, напечатанных этими командами, приведены на уже упоминавшихся рис. 3 и 4.

Директива <5> аналогична директиве <4>, однако изображение в этом случае поворачивается на угол 60° по часовой стрелке (команду используют для печатания изображений длинных плат на узком принтере).

Получившие с помощью этих двух команд бумажные копии можно использовать, в частности, для изготовления печатных плат методом литографии (фотопечати). Бумага, естественно, должна быть соответствующего качества.

Ввод изображения на принтер можно прервать, нажав на клавишу <УС>. Программист прекратит посылать данные в принтер и выдаст сигнал IHT.

Печатающие изображений двусторонних плат лучше начинать со стороны установочных деталей. Перед печатанием тыльной стороны («ПРИПЛОИ») необходимо построить ее зеркальное изображение. Это же относится и к односторонним платам.

# ПРОСТОЙ ПРОГРАММАТОР ДЛЯ «РАДИО-86РК»

Ю. ОСОЦКИЙ, пос. Тавжний Амурской обл.

Журнал «Радио» дважды обращался к теме программирования ПЗУ на компьютере «Радио-86РК» [1, 2]. Оба программатора довольно универсальны, однако и сложны в исполнении. В то же время часто бывает необходимо быстро запрограммировать одну или несколько микросхем ПЗУ для МОНИТОРА, зногенератора или ROM-диска. Собрать для этого устройство, соизмеримое по сложности с половиной компьютера, вряд ли целесообразно. В таких случаях может выручить описанный ниже несложный программатор. Всего два часа понадобится для его сборки, еще час на то, чтобы «набить» программу и записать ее на магнитную ленту, и можно приступать к программированию.

Предлагаемое вниманию читателей устройство рассчитано на программирование микросхем ПЗУ К573РФ2, К573РФ5, 2716, 27С16 (далее для краткости — РФ2) и К573РФ6, К573РФ4, 2764, 27С64 (далее — РФ6). Оно позволяет проверить чистоту ПЗУ, считать информацию из него в буфер данных, сравнить содержимое ПЗУ и буфера данных, проверить возможность записи данных из буфера в ранее записанное ПЗУ, записать в ПЗУ информацию с циклами закрепления или без них.

Алгоритм программирования обычный,

на время чтения информации из ПЗУ программирующее напряжение  $U_{pp}$  отключается. Длительность импульсов  $U_{pp}$  отсчитывается программно, но из-за циклов ПДП она оказывается несколько больше и имеет некоторый разброс. Опыт работы с программатором показал, что и отечественные, и зарубежные ПЗУ (как чистые, так и стертые) программируются одинаково надежно. При записи без циклов закрепления программа проводит до 100 попыток программирования ячейки, после каждой попытки считывает информацию из нее, и если она запрограмми-

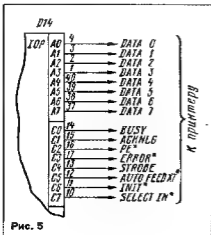


Схема подключения принтера изображена на рис. 5 (знаком --- обозначены сигналы, подаваемые которые не обязательно). В программе имеется собственный драйвер принтера (если к вашему компьютеру он уже подключен, драйвер нужно заменить). Внешний драйвер должен выводить байт из регистра С на печать, не изменяя ни одного регистра, кроме, возможно, аккумулятора, и позволять печатать символы с кодами от 0 до 255. Например, если адрес драйвера — F80FH, в программу нужно внести следующие изменения:

ОЗАС: C3 0F F8

По адресам 3E2H—3E4H аналогичным образом записывают команду перехода на подпрограмму инициализации интерфейса принтера. Если инициализация не нужна, подпрограмму просто «запускают».

ОЗЕ2: C9

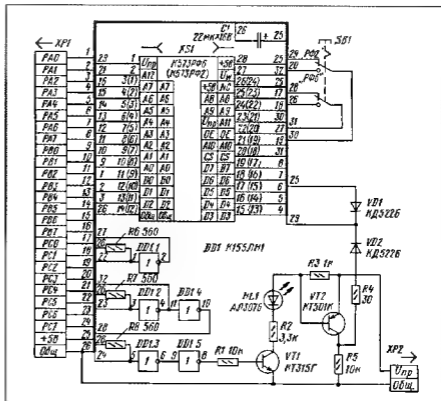
Если программа почему-либо откажется печатать и сразу после ввода комментария выходит в меню, можно попытаться «запустить» проверку нажатия на клавишу <УС>:

ОЗА9: 00 00 00.

Желаю успеха!

## ЛИТЕРАТУРА

- Седов Е., Матвеев А. «Радио-86РК»: развитие, перспективы. Программируемый дешифратор Системный МОНИТОР. — Радио, 1994, № 5, с. 19 табл. 6



2000 C3 BA 21 0E 75 00 C2 05 20 C9 E1 11 03 A0 3E 90  
2010 12 22 01 A0 3E 08 12 3A 00 A0 47 3E 04 12 7B FE  
2200 FF C2 39 20 70 BA CA 20 20 2B C3 11 20 21 F1 F2  
2030 C0 1B FB C0 03 FB C3 BA 21 21 0E 22 C0 1B FB C0  
2040 03 FB C3 BA 21 E1 11 03 A0 3E 90 12 22 01 A0 3E  
2050 C8 12 3A 00 A0 47 3E 04 12 7B FE C2 39 20 70 BA  
2060 CA 67 20 2B C3 04 20 21 F1 22 C0 1B FB C0 03 FB  
2070 C3 BA 21 21 0E 22 C0 1B FB C0 03 FB C3 BA 21 E1  
2080 11 83 A0 3E 90 12 22 01 A0 3E 08 12 3A 00 A0 77  
2090 3E 04 12 70 BA CA 9C 20 2B C3 BA 20 21 F1 F2 C0  
2E0A 1B FB C0 03 FB C3 BA 21 E1 11 03 A0 3E 90 12 22  
20B0 01 A0 3E 08 12 3A 00 A0 47 3E 04 12 7B FE A0 A0  
20C0 89 C2 20 70 BA CA 09 20 2B C3 11 20 21 F1 F2  
20D0 C0 1B FB C0 03 FB C3 BA 21 21 F1 22 C0 1B FB C0  
20E0 03 FB C3 BA 21 E1 11 03 A0 06 65 3E 80 12 22 01  
20F0 A0 7E 32 00 A0 3E 0F 12 3E 80 12 C0 20 3E 0C  
2100 12 3E 0E 12 3E 90 12 22 01 A0 3E 08 12 3A 00 A0  
2110 F5 3E 04 12 F1 BE CA 20 21 05 C2 BA 20 C3 29 21  
2120 70 BA CA 35 21 2B C3 E9 20 21 0E 22 C0 1B FB C0  
2130 03 FB C3 BA 21 21 F1 22 C0 1B FB C0 03 FB C3 BA  
2140 21 E1 11 03 A0 06 65 3E 80 12 22 01 A0 7E 32 00  
2150 A0 3E 0E 12 3E 0E 12 C0 20 3E 0C 12 3E 0E 12  
2160 3E 90 12 22 01 A0 3E 08 12 3A 00 A0 F5 3E 04 12  
2170 F1 BE CA 05 21 05 C2 47 21 0E 22 C0 1B FB C0  
2180 03 FB C3 BA 21 3E 80 12 22 01 A0 7E 32 00 A0 3E  
2190 0F 12 3E 0C 12 C0 20 3E 0C 12 3E 0E 12 04 3E  
21A0 66 6E C2 85 21 70 BA CA AE 21 2B C3 05 21 21 F1  
21B0 22 C0 1B FB C0 03 FB C3 BA 21 21 50 22 C0 1B FB  
21C0 C0 03 FB FE 00 C2 CF 21 21 FF 07 05 C3 F5 21 21  
21D0 A0 22 C0 1B FB C0 03 FB FE 00 C2 E4 21 21 F1 F2

21E0 E5 C3 F5 21 21 C9 22 C0 1B FB C0 03 FB FE 00 C2  
21F0 BA 21 C3 00 F8 21 08 23 C0 1B FB C0 03 FB FE 00  
2200 CA 0A 20 21 24 23 C0 1B FB C0 03 FB FE 00 CA 45  
2210 20 04 20 23 C0 1B FB C0 03 FB FE 00 CA 7F 20 21  
2220 5C 23 C0 1B FB C0 03 FB FE 00 CA 0A 20 21 7B 23  
2230 C0 1B FB C0 03 FB FE 00 CA C5 20 21 94 23 C0 1B  
2240 F8 C0 03 FB FE 00 CA 41 21 C3 F5 21 C0 00 00 00  
2250 1F 1B 59 26 34 02 14 14 02 14 14 02 14 14 02 14  
2260 01 20 14 01 20 14 01 1B 59 27 34 06 14 10 20 20  
2270 12 20 04 01 06 20 06 06 06 06 02 06 18 59 2E  
2280 34 20 20 06 06 20 06 20 05 06 14 12 02 16 12  
2290 20 04 01 1B 59 29 34 02 14 12 20 06 02 06 12  
22A0 06 20 20 06 20 04 15 14 00 09 1B 59 26 43 20  
22B0 14 14 1B 59 27 43 06 14 12 00 01 1B 59 28 06 20 06  
22C0 04 1B 59 27 43 02 14 12 00 01 1B 59 28 06 34 02 04  
22D0 14 1B 59 27 3E 06 05 07 1B 59 28 3E 06 06 1B  
22E0 59 29 3E 06 20 06 00 1B 59 31 3E 04 14 14 00  
22F0 00 1B 59 30 3E 20 04 1B 59 31 3E 04 14 14 1B  
2300 59 32 3E 20 06 20 00 1B 59 32 3E 04 14 14 00  
2310 65 72 6E 61 20 73 74 69 72 61 6E 69 71 20 70 7A  
2320 75 20 00 1B 59 32 3E 72 72 61 7E 6E 65 6E 69  
2330 65 20 73 20 62 75 66 65 72 6F 60 20 00 00 00  
2340 1B 59 32 3E 73 76 69 74 79 72 6E 69 65 65 20  
2350 7A 75 20 77 20 62 75 66 65 72 6F 60 1B 59 20 30  
2360 70 72 6F 77 65 72 6E 61 20 77 6F 7A 60 2E 20 7A  
2370 61 70 69 73 69 20 00 1B 59 20 00 1B 59 71 61 70 69  
2380 73 78 20 62 65 7A 70 61 68 72 65 70 65 65 6E  
2390 69 71 00 1B 59 20 32 7A 61 61 70 69 73 68 75 20  
23A0 20 7A 61 68 72 65 70 6C 65 6E 69 65 60 20 00 00

Контрольная сумма 2000H-23AFH = 8F4F

рована, переходит к следующей. Если ячейка не программируется за 100 циклов, программа выводит на экран знак "=". При программировании с циклами закрепления программа, после того как ячейка запрограммирована, проводит еще столько же циклов программирования (сколько понадобилось для программирования без закрепления), но уже без промежуточного чтения, и переходит к следующей ячейке. Для программирования используется стабилизированный источник с регулируемым выходным напряжением от 12 до 27 В и током не менее 200 мА.

Принципиальная схема программиатора приведена на рисунке, а распечатка программы — в таблице. Как видно, выполнен он всего на трех "активных" элементах: одной микросхеме (DD1) и двух транзисторах (VT1, VT2). Его подключаю к ППА D14 компьютера, программирующее напряжение подают на вилку XP2, а микросхему ПЗУ устанавливают в розетку XS1. Последняя имеет 28 контактов, что позволяет вставить в нее как микросхемы P06 в корпусе с 28 выводами, так и P02 в корпусе с 24 выводами (в скобках на схеме указаны номера выводов последних). Переключатель SA1 служит для переключения напряжений питания и программирования в зависимости от числа выводов микросхемы. Светодиод HL1 индицирует поступление импульсов программирующего напряжения на микросхему.

Буфер данных располагается с нулевого адреса до 07FFF для P02 и с нулевого до 01FFFF для P06. Если микросхему предполагается использовать постоянно, в остальных ячейках необходимо занести код FFF.

Программатор собирают на плате размерами 50х100 мм из гетинакса или стеклотекстолита, используя навесной монтаж. Для предохранения его от повреж-

дений плату с этой стороны закрывают коробчатой пластмассовой крышкой.

Работают с программатором так. Подключив его к компьютеру, подают на вилку XP2 напряжение, необходимое для программирования данной микросхемы ПЗУ. Затем считывают программу и данные в буфер и запускают программу по адресу 2000H или 21BAH. При этом в верхней части экрана монитора появляется один из пунктов первого меню: "573P02", "573P06" или "M" (выход в МОНИТОР или редактор памяти). Чтобы перейти от одного пункта меню к другому, достаточно нажать на любую клавишу, кроме <BK>, а чтобы выбрать нужный, надо нажать именно на эту клавишу. Если выбран пункт "M", компьютер возвращается в МОНИТОР, в двух других случаях на экране появляется один из пунктов второго меню. Для выбора и выполнения его пунктов используется тот же принцип, что и для первого. Об окончании выполнения команды свидетельствует появление на экране знака "=" (при положительном результате работы) или "-" (при отрицательном). После этого нажатие любой клавиши приводит к возврату в первое меню.

Программу можно использовать совместно с редакторами памяти DAMPCOR, MEMCOR. Для выхода в редактор по пункту "M" необходимо в ячейки с адресами 21F3H и 21F4H записать младший и старший байты адреса запуска редактора. Программа не устанавливает указатель стека, но использует до четырех ячеек стека.

#### ЛИТЕРАТУРА

1. Лукьянов Д., Богдан А. "Радио 86PK" — программатор ПЗУ. Радио, 1987, № 8, с. 21—23; № 9, с. 24—26, 56, 57, 1988, № 2, с. 24—26.
2. Бласов Ю. Программатор ПЗУ для "Радио-86PK". — Радио, 1993, № 5, с. 11—13, № 10, с. 19—23; № 11, с. 16—20.

#### ДОСКА ОБЪЯВЛЕНИЙ

Покупаю, продаю, дорабатываю и ремонтирую принтеры серии 6312. Продаю головки (ТСГ) для принтеров 6312 и кассовых аппаратов ЭКР 3102 (г. Курск), ИВКО (г. Москва); специальные чернила для повторной заправки. Оплата почтой или наложенным платежом. 113447, Москва, а/я 5, Кузнецову А. тел. (095) 129-58-85.

Продаю ТВ тюнеры для мониторов SVGA, VGA, EGA, CGA, "Электроника". Системы ДУ. Телетекст. 109378, Москва, а/я 2. (095) 919-91-66.

ВНУТРИСХЕМНЫЕ ЭМУЛЯТОРЫ (low cost) для: 1818, 1830BE48/31/51, 80C32, 87C51, 80C552 (АЦП 10 bit/12c), 1821BM85, 80C51GB, 80C152 (таймер), 89C2051 (2K flash/20 pin/2.7-6V), ADSP2115; пром. КОНТРОЛЕРЫ; платы АЦП/ЦАП (ADSP2115); ЖКИ и др.; КОМПОНЕНТЫ РАЗБОТКА ПРИБОРОВ. НПО "АСАН" — тел./факс (095) 286-8475; тел. (095) 173-3959.

Фирма "Сигнал" продает платы и блоки АЦП/ЦАП 10/12/14 разр., цифр. в/в.в. (56 к.м.), IEEE 488 и др. для персональных компьютеров. Цены от 150 USD. Высылаются дискета с подробной информацией. Адрес: 125319, Москва, ул. Кокинских, 8, подъезд 8. Тел/факс (095) 152-29-97. E-mail: signal@signal.msk.ru

#### ДОСКА ОБЪЯВЛЕНИЙ

# ПРОСТОЙ ТЕСТЕР

А. НЕМИЧ, г. Брянск

Предлагается конструкция компактного тестера, полезного во многих случаях радиолюбительской практики.

В походных и бытовых условиях незаменимым может оказаться малогабаритный ("карманный") прибор (рис. 1), позволяющий измерять напряжение постоянного тока на пределах 10, 100 и 1000 В и напряжение переменного тока на пределах 20, 200 и 2000 В. С его помощью можно оценивать сопротивление в диапазоне 1...1000 кОм на одном пределе, "прозванивать" цепи сопротивлением от нуля до 1 кОм, а также определять фазовый и нулевой провода в цепи.

Схему прибора, приведенная на рис. 1 предельно проста. Измерение напряжения постоянного тока производится микроамперметром PA1 по току в цепи добавочного резистора R1 (или R2, R3) и влемента X1 (или X2, X3), S1, X4. Напряжение переменного тока (частотой не выше 1 кГц) измеряется той же цепью, но при разомкнутом переключателе S1, когда включен однополюсный диодный выпрямитель на диоде VD1. Нужно отметить, что максимальная амплитуда измеряемого переменного напряжения не должна превышать допустимого для выпрямительного диода КД105Г значения обратного напряжения (800 В).

Сопротивление в диапазоне 1...1000 кОм оценивается по изменению величины тока, протекающего через микроамперметр PA1 по замкнутой цепи источника тока GB1 и R, X5, R6, R5, X6. Подстроечным резистором R6 устанавливается "0" микроамперметра при замкнутых контактах X5, X6.

Подключая к гнездам X5 и X6 ("+" диод или два вывода транзистора, можно оценить качество p-n перехода, распознать структуру транзистора, определить выводы анода и катода диода, проверить исправность электролитического конденсатора.

Цепи с сопротивлением постоянному току в диапазоне 0...1 кОм ("прозванивать" по цепи X6, GB1, R7, HL2, X7, по яркости свечения светодиода HL2 можно грубо оценить величину сопротивления в пределах 0...1 кОм.

Для определения фазового провода прижимают палец к контакту X1 и общим проводом (от разъема X4) касаются одного из сетевых проводов: при контакте с фазовым проводом загорается неоновая лампа HL1.

Степень разрядки батареи гальванических элементов или аккумулятора GB1 можно определить внутренним вольтметром, соединив щупом гнезда X5 и X3 при замкнутом переключателе S1, или по яркости свечения индикатора HL2 при соединении щупов от гнезд X6 и X7. Такой контроль возможен и внешним вольтметром через гнезда X4 ("+" и X6 ("—")). Кроме того, эти гнезда можно использовать и для подзарядки аккумуляторов без изъятия их прибора.

Конструкция прибора зависит от типа применяемого микроамперметра. Номиналы резисторов, приведенные на схеме, соответствуют микроамперметру М733.5 с током полного отклонения

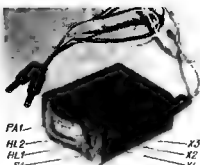


Рис. 1

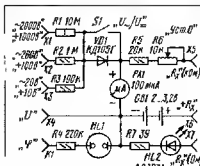


Рис. 2

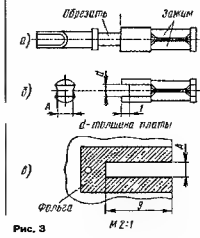


Рис. 3

стрелки 100 мкА. Можно применить подобный микроамперметр М4248 с несколько большими габаритами, а также малогабаритные стрелочные индикаторы, используемые в магнитофонах, но в этом случае следует градуировать их шкалу.

В авторском варианте конструкции корпус прибора с микроамперметром М733.5 послужил пластмассовая крышка размерами 60х30х65 мм от электромагнитного реле. На передней панели, изготовленной из стеклотекстолита, расположены микроамперметр, контакт К1

из никелированного бслта М5, неоновая лампа HL1 и светодиод HL2. На боковой стороне расположены гнезда X1, X2, X3, на задней — гнезда X4 ("Общий"), X5, X6, X7, переключатель S1 и резистор установив нуль R6.

Все детали прибора располагаются на двух платах (нижней и верхней), замыкающих между собой микроамперметр. В качестве платы используют фольгированный с двух сторон стеклотекстолит толщиной 1...1,5 мм. Нижняя и верхняя платы припаяны к лицевой панели. Для жесткости эти платы припаяют и к задней стенке, также изготовленной из фольгированного стеклотекстолита. На задней стенке крепят переключатель S1 и резистор R6, к ней же припаяна медная или латунная гайка М3, с помощью которой винтом всю конструкцию фиксируют в пластмассовом корпусе. Резистор R1 желательно сделать из двух трех резисторов МЛТ-0,5. Гнездовые контакты — из стандартных разъемов ШР, можно использовать усюренные гнезда от разъема ОНЧП-РГ-0932/30-Р12 общей длиной 22 мм (под штырь диаметром 1,4 мм).

Вариант переделки гнездового контакта и эскиз участка платы для его установки изображены на рис.3. Вначале его обрезают до длины 10...12 мм (рис.3,а) и делают щелевой пропил с торца на глубину около 1 мм. Затем по всей длине цилиндрической части надфилем формируют два канавки глубиной до 0,5 мм, совпадающие с пропилом (рис.3,б). Эти канавки делают для надежной фиксации гнезда в щели платы (рис.3,в), но, как показал опыт, достаточно снять "округлость" поверхности, касающейся платы. Далее гнездо задвигают в щель платы так, чтобы торцевым пропилом гнездо жестко зафиксировалось, и припаявают с двух сторон печатной платы. Можно наделать надрезов и пропилов в гнезде, а припаять его в пропиле платы, обычно смочив припоём с двух сторон. Важно только, чтобы припой не попал на пружину и отверстие разъема.

В качестве источника тока GB1 используют аккумуляторы Д-0,06 или элементы РЦ 53. Переключатель S1 — ПД9 1 или любой другой малогабаритный. Для установив нуль симметра используют малогабаритный переменный резистор (R6) — СП3-16, СП3-44, СП4-1а и т. п. Индикатор HL1 типа TH-0,8 или другой малогабаритный.

Градуировку по постоянному току при применении микроамперметра М733.5 или М4248, как правило, проводить не нужно. По переменному току градуируют вольтметр, подав напряжение точно 20 В на гнездо X3 при разомкнутых контактах S1. Тонким штриком карандаша градуируют шкалу, уменьшая напряжение с 20 В до 1 В. Шкалу измерения сопротивления калибруют, подключая к гнездам X5 и X6 резисторы сопротивлением от 1 кОм до 1 МОм.

Прибором можно измерять еще постоянное напряжение с предельной шкалы 0—2 В и 0—3 В, используя подключение к гнездам X4 ("—") и X5. В первом по схеме положении диодной рамки R6 верхний предел шкалы будет 2 В, а во втором — 3 В. При этом нужно учитывать, что в этом случае происходит сбой нуля симметра. Для увеличения точности на этих пределах целесообразно уменьшить сопротивление резистора R5 на величину сопротивления рамки прибора PA1.

# МАЛОГАБАРИТНЫЙ ЧАСТОТОМЕР

С. ПУЗЫРЬКОВ, г. Калининград Московской обл.

Целью данной разработки было создание малогабаритного частотомера средней точности, пригодного для большинства радиолокационных измерений. Благодаря оптимальному использованию различных серий ИМС он содержит небольшое количество микросхем при относительно широком диапазоне измеряемых частот.

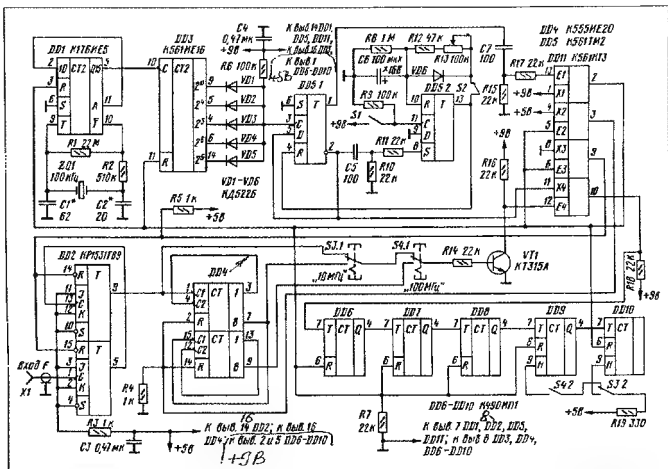
Прибором можно измерять частоту сигналов на трех пределах — 1, 10 и 100 МГц. В нем использован пятиразрядный индикатор, что достаточно для приборов этого класса. При работе на любом из пределов измеряемой частоты ток, потребляемый от источника питания, не превышает 200 мА по шине +5 В и 2 мА по шине +9 В (высвечены все «восемьки» на индикаторах), что тоже стало возможным благодаря сочетанию различных серий микросхем.

Принципиальная схема частотомера приведена на рисунке. Входное напряжение измеряемой частоты поступает на вход С триггера DD2 KP1531TB9. Триггеры этой серии могут работать на частотах до 110 МГц при потребляемом токе не более 18 мА. После деления на 4 на выходе триггера DD2 (вывод 9) частота сигнала не превышает 25 МГц, на верхнем пределе измерений, что допустимо для счетчиков маломощных ТТЛШ серий KP1533 и K555. В частотомере использован двохенный десятичный счетчик K555IE20 [1]. При используемой здесь схеме его включения на выходах 7 и 9 частота понижена еще в 10 и 100 раз соответственно. На входе Т счетчика — индикатор младшего разряда (микросхемы DD6) действуют импульсы с частотой не выше 250 кГц ( $T_{\text{с}} = 4$  мкс), что ниже предельного для них значения 1 МГц.

Для максимального заполнения пяти-

разрядного десятичного счетчика требуется 99999 импульсов с периодом  $T_{\text{с}} = 4$  мкс. Следовательно, в приборе должен выдвигаться интервал счета импульсов  $T_{\text{сч}} = 100000T_{\text{с}} = 0,4$  с, во время которого открыто поступление входного сигнала на вход Т DD6. Для получения необходимой стабильности временного интервала применен генератор микросхемы DD1 с кварцевой стабилизацией. На выходе 5 DD1 действуют импульсы с периодом в 2 раз больше периода импульсов задающего генератора, т.е. 640 мкс. Интервал счета в 0,4 с формируется после момента сброса счетчика DD3 в процессе его счета логическим элементом И из диодов VD1—VD5 и резистора R6, на выходе которого через 0,4 с появляется лог.1, устанавливая триггер DD5.1 в единичное состояние. Дифференцирующая цепочка C7R15 образует импульсы длительностью около 1 мкс, который через ключи микросхемы DD11 переводит счетчики частотомера в нулевое состояние. По окончании этого импульса начнется новый счет импульсов действующего на входе напряжения и отсчет нового интервала длительностью 0,4 с.

После окончания счетного интервала пришедший на вход С DD5.1 фронт установит выход триггера в состояние лог.0. Появившаяся на инверсном выходе лог.1 через дифференцирующую цепочку C5R10 запускает одновибратор DD5.2 [2].



## ИСПОЛЬЗОВАНИЕ К174УН14 ПРИ РЕМОНТЕ МАГНИТОФОНОВ

При ремонте двухкассетного магнитофона с отключением с необходимостью заменить неисправную интегральную микросхему УМЗЧ АН7112Е. Однако оказалось, что она весьма дефицитна и отсутствует в продаже. В результате подбора аналога пришел к выводу, что АН7112Е вполне можно заменить К174УН14.

Так как корпус этой микросхемы име-

ют боковые площадки, плату установить элементы С1, С2, R2 в соответствии со схемой рис. 2. Так как остальные детали уже соединены с соответствующими выводами микросхемы, то при настройке нужно лишь подобрать резистор R3 в пределах 2,2...10 Ом для получения необходимого коэффициента усиления.

На УМЗЧ К174УН14 можно перево-

импульс с выхода DD5 2 запрещает на время индикации работу DD5.1 (на R-входе лог 1). Время индикации можно регулировать переменным резистором R13 в диапазоне 2...10 с. Совмещенный с резистором выключатель S2 позволяет перевести частотомер в однократный режим работы. Повторный пуск тогда осуществляется нажатием кнопки S1. По окончании запрета на входе R DD6 1 очередной фронт сигнала с диодов VD1 VD5 "защиплет" лог.1 в триггер DD5.1 и цикл работы прибора повторится.

Включение микросхемы DD11 (К561КТ3) имеет свои особенности, так как на ней выполнено согласование КМОП—ТТЛ уровней сигналов. Первый ключ служит для формирования импульса обнуления в КМОП-уровнях. Второй ключ, открываясь, дает импульс амплитудой 5 В на R-входы DD4, а третий ключ инвертирует этот импульс для обнуления триггеров DD2. Когда ключи закроются, соответствующие рабочие потенциалы входов обеспечены резисторами R4, R5 и R7. Необходимую привязку входов DD4 к уровню лог.0 дает включение на общую линию резистора R4 сопротивлением 1 кОм, допустимым для ТТЛШ-входа микросхем серии К555 [3]. Четвертый ключ DD11 разрешает прохождение сигнала от входа прибора на счетный вход DD6 в интервале 0,4 с. Включение управляющего сигнала с выхода DD5 1 на вход X4 DD11 (а не на вход E4) сделано специально, чтобы избежать отрицательного рабочего фронта на входе Т DD6 при закрытии ключа.

Малое число элементов позволяет сконструировать прибор в удобном корпусе в виде щупа.

В предлагаемой конструкции применены микросхемы как ТТЛ, так и КМОП-логики. Выбор их, в частности, счетчиков-индикаторов К490ИП1, определяется на наименьшими габаритами прибора. В частотомере могут быть использованы микросхемы К531Т89 (DD2), К1761М2 (DD5), а К555ИЕ20 можно заменить двумя микросхемами К555ИЕ6. Конденсатор С4 — К50-35 на 16 В, остальные — К10 17. Резисторы постоянные — МЛТ, переменный R13 — СП3-36. Кнопка S1 — любая на замыкание. Переключатели S3 и S4 — ПЗК с зависимой фиксацией. Возможно применение кварцевого резонатора другой частоты, однако необходимо набирать на выходах DD3 тот же интервал 0,4 с.

Налаживание состоит в точной установке периода импульсов, равного 640 мкс, на выходе 5 DD1 с помощью подстроечных конденсаторов С1 и С2. Контроль вести по образцовому частотомеру.

### ЛИТЕРАТУРА

- 1 С. Алексеев. Применение микросхем серии К555 — Радио, 1990, № 8, с. 58.
- 2 С. Алексеев. Формирователи и генераторы на микросхемах структуры КМОП — Радио, 1985, № 6, с. 31.
- 3 Зельдин Е. А. Импульсные устройства на микросхемах — М.: Радио и связь, 1991, с. 49.

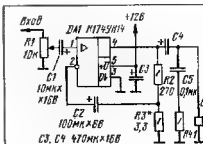


Рис. 1

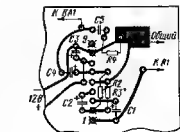


Рис. 2

ет меньшее количество выводов (5 вместо 9), устанавливать ее вместо неисправной на печатную плату нужно со смещением на два отверстия (выводом 1 в отверстие для вывода 3), при этом четыре крайние контактные площадки не используются.

Схема включения новой микросхемы в варианте замены приведена на рис. 1. Следует отметить, что здесь использована значительная часть установленных элементов, а вновь введенные располагают на контактных площадках платы. Пример расположения деталей в одной из конструкций приведен на рис. 2.

Методика замены такова. После демонтажа дефектной микросхемы и деталей, к ней относящихся, кроме элементов R4, С3 — С5 (нумерация условная), установить новую. Затем на осно-

влять не только переносную аппаратуру, но и автомобильные магнитолы, малотабаритные стереокомплексы. Вполне приемлемо использовать ее и в мостовой схеме включения.

Г. ГЕТЬМАН

п. Торко-Сале,  
Пуровский р-н Тюменской обл.

От редакции. Нужно иметь в виду, что ток покоя некоторых микросхем может достигать 50...60 мА. Если в конструкции нет радиатора, это может приводить к значительному повышению температур и их кристалла. Поэтому, обнаружив нежелательный нагрев корпуса, закрепите на фланце микросхемы небольшую пластинку из дюралюминия толщиной 1...1,5 мм. Она устраним возможность перегрева кристалла.

## РЕМОНТ МИКРОФОНА

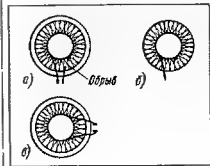
Часто причиной выхода из строя старых микрофонов (например "МД-201") является обрыв в выводе звуковых катушек (рис. 1,а). Предлагаю читателям воспользоваться моим опытом их ремонта.

Прежде всего необходимо отделить

мембрану микрофона от картона, к которому она приклеена. Для этого любым острым предметом (игла, шило) провести по всей поверхности склеивания, стараясь не повредить пленку. Затем вынуть мембрану с обмоткой из круглой канавки (рис. 1,б) и осмотреть обмотку со стороны, где виден красный клей. Отскрыв обрванный провод, с помощью иглы его нужно отсоединить от клея. После этого тонким или другим подходящим инструментом отмотать от обмотки примерно 1...1,5 см провода и, смазав клеем (например ПВА) картон, вставить мембрану на место, стараясь не обрывать тонкие провода (рис. 1,в). Теперь остается только подпаять провода, промазав клеем края мембраны и выводы проводов обмотки до самого разрыва и — ремонт закончен.

И. КРАПИВИН

г. Москва



# ТРИ ПРОГРАММЫ НА АБОНЕНТСКИЙ ГРОМКОГОВОРИТЕЛЬ

И. НЕЧАЕВ, г. Курск

Обычный абонентский громкоговоритель, включенный в трехпрограммную радиосеть, будет воспроизводить только передачи центральной программы. Если же между громкоговорителем и радиосетью установить предлагаемую приставку, появится возможность прослушивать любую из трех программ. Да к тому же бывшая первая программа зазвучит намного громче.

Публиковавшиеся ранее [1—3] описания трехпрограммных громкоговорителей предлагали переделывать однопрограммные громкоговорители либо изготавливать самостоятельную конструкцию с динамической головкой в ее корпусе. Первый вариант не всегда приемлем из-за порою малых габаритов корпуса громкоговорителя и невозможности втиснуть внутрь его радиодетали электронной части. Второй вариант не предполагает использовать имеющийся громкоговоритель.

Более целесообразным представляется вариант изготовления отдельной приставки, способной работать с любым однопрограммным громкоговорителем. О такой приставке и пойдет рассказ.

Принципиальная схема приставки приведена на рис. 1. Она содержит полосовые фильтры для выделения сигналов 2-й и 3-й программ, демодулятор АМ сигналов, усилитель ЗЧ и блок питания. В приставке предусмотрено несколько режимов работы. В первом режиме (переключатель SA1 в положении «Выкл.») сигнал радиосети на громкоговоритель не подается, блок питания приставки обесточен. Во втором режиме (переключатель в положении «1 прогр.») сигнал радиосети транзитом поступает на громкоговоритель, блок питания по-прежнему обесточен. В третьем режиме («1 пр. ус.») сигнал радиосети поступает на усилитель ЗЧ, а с его выхода подается на громкоговоритель; блок питания подключен к

прогр.» и «3 прогр.») рассчитаны на фильтрацию, демодуляцию и усиление выделенных сигналов ЗЧ 2-й и 3-й вещательных программ.

Полосовые фильтры 2-й (78 кГц) и 3-й (120 кГц) программ представляют собой системы из двух LC-контуров с индуктивной связью, причем в качестве катушек индуктивности использованы серийные дроссели ДМ. Такое решение позволило исключить изготовление намоточных деталей, повысить подавление сигналов 1-й программы и упростить получение требуемой полосы пропускания фильтров. Последний параметр устанавливается обжатием двух дросселей на расстоянии 7...20 мм, при этом средняя частота настройки изменяется незначительно, а полоса пропускания — от 25 до 7 кГц.

Демодулятор АМ сигналов выполнен на микросхеме DA1 по схеме синхронного детектора [4, 5], отличительные особенности которого — высокая чувствительность, большой динамический диапазон и хорошее качество демодулированного сигнала. Применение такого демодулятора позволило исключить усилители сигнала ВЧ, повысить при этом чувствительность приставки.

В режиме «1 пр. ус.» сигнал из радиосети подается на делитель R3R4, а с него на вход усилителя ЗЧ, выполненного на высокоомном операционном усилителе DA2. Благодаря этому на выходе усилителя напряжение сигнала ЗЧ достигает 25...30 В, что достаточно для любого однопрограммного громкоговорителя. Нужную громкость звука при работе приставки в третьем, четвертом и пятом режимах устанавливают переменным резистором R14.

Питается приставка от нестабилизиро-

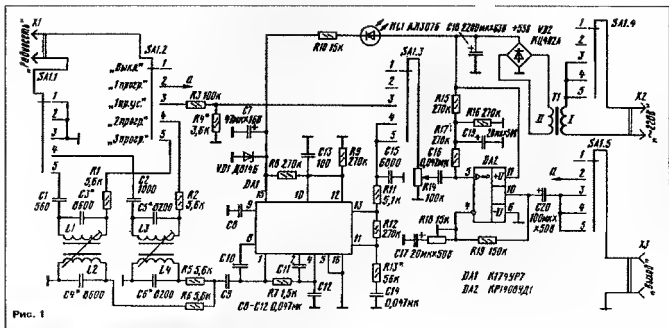
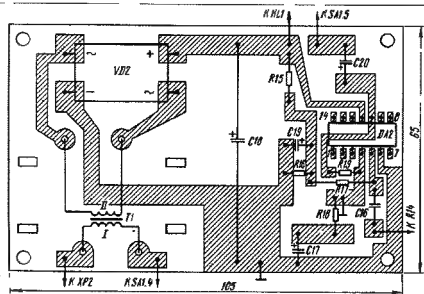


Рис. 1

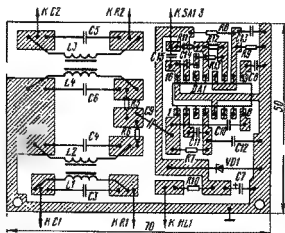
РАЗРАБОТАНО  
В ЛАБОРАТОРИИ ЖУРНАЛА  
"РАДИО"

электросети. Такой режим необходим при снижении уровня сигнала в радиосети и недостаточной громкости звучания. Четвертый и пятый режимы (соответственно переключатель ставят в положения «2

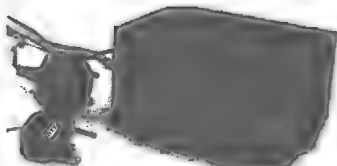
важного блока, собранного на трансформаторе Т1, выпрямительном мосте VD2 и конденсаторе фильтра С16. В цепи питания микросхемы DA1 установлен параметрический стабилизатор R10VD1C7.



**Рис. 2**



**Рис. 3**



**Рис. 4**

Светодиод HL1 — индикатор включения приставки.

Вместо микросхемы К174УР7 в демодуляторе может работать К174УР3, но с использованием схемы включения, приведенной в [5]. Кроме того, на месте R10 придется установить резистор сопротивлением 2,4 кОм, рассчитанный на мощность рассеивания до 1 Вт.

Диодный мост VD2 может быть КЦ402А—КЦ402Д, его допустимо составить из диодов КД105Б—КД105Г, Д228. Стабилитрон VD1 может быть, кроме указанного на схеме, КС212Б, КС213Б, свето-

диод—АЛ307Б—АЛ307Г, АЛ341А—АЛ341Д.

Катушки L1, L2 – дроссели ДМ-0,1, индуктивностью 200 мкГ, L3, L4 – ДМ-0,1, индуктивностью 500 мкГ. Конденсаторы С7, С17 – С20 – К50-16, К50-35, остальные – ММ, КЛС, К10-17, причём конденсаторы С8-фильтров лучше применить с ТКЕ на хуже М1500. Резистор R14 – СПО, СП4-1, СП; R18 – СП5-16, СП3-19, остальные – МЛТ. Переключатель режимов – ПГ-2 (БПН), П2К Трансформатор питания – любой, обеспечивающий переменное напряжение на вторичной обмотке 40...42 В при токе 0,1 А.

Большинство деталей приставки смонтировано на двух платах: на одной (рис. 2) — размещены детали фильтров и демодулятора, на другой (рис. 3) — блока питания и усилителя ЗЧ. Платы установлены внутри корпуса (рис. 4), на передней стенке которого размещены переключатель, регулятор громкости и светодиод, а на задней — разъем ХЗ (или гнезда) для подключения громкоговорителя.

Налаживание приставки начинают с платы блока питания и усилителя 3Ч. На вход усилителя подают с генератора 3Ч4 сигнал амплитудой 100 мВ и частотой 1000 Гц. Контролируя осциллографом форму выходного сигнала, убеждаются, что усилитель обеспечивает нужную амплитуду (не менее 20 В) при отсутствии искажений.

Затем переходят к плате фильтров и демодулятора. На вход приставки подаются с генератора немодулированный сигнал сначала частотой 78 кГц (2-я программа), а затем 120 кГц (3-я программа). Расстояние между катушками каждого фильтра должно быть примерно 20 мм, а конденсаторы С3—С6 предварительно устанавливают на 15...20% меньшей емкостью по сравнению с указанной на схеме. Затем, увеличивая емкости конденсаторов на 400...700 пФ, добиваются максимума сигнала на конденсаторе С9, контролируя его высокочастотным вольтметром. Такую настройку можно провести и без приставки, добиваясь максимума громкости звука в громкоговорителе той или иной программы.

После этого изменением расстояния между катушками соответствующего фильтра устанавливают полосу пропускания 12...15 ГГц либо добиваются наилучшего качества звука.

Далее уравнивают деижек резистора R14 в верхней по схеме половине и подбором резистора R13 добиваются максимальной громкости звука и минимальных искажений сигнала 2-й и 3-й программ. Если же при приеме этих программ независимо от положения деижека резистора R14 прослушиваются искажения, следует избавиться от них установкой резисторов R1 и R2 большего номинала. Этими же резисторами нетрудно выровнять громкость звучания программ, но за избежание снижения добротности контуров номиналы резисторов не должны быть менее указанных на схеме. Пределы регулирования громкости звука переменным резистором R14 можно при необходимости скорректировать резистором R18.

В заключение в режиме "1 пр. ус." и при среднем положении движка резистора R14 подбором резистора R4 устанавливают максимальную громкость звука при отсутствии искажений.

## ЛИТЕРАТУРА

1. Майоров А. Трехпрограммный приемник — Радио, 1990, № 11, с. 45—47.
2. Дорофеев М. Простой высококачественный трехпрограммный... — Радио, 1994, № 2, с. 22—25.
3. Мишин Д. Приемник трехпрограммный на ИМС. — Радио, 1988, № 10, с. 43—45.
4. Евсиков М. Микрошлющный синхронный АМ детектор на одной микросхеме. — Радио, 1993, № 8, с. 17, 18.
5. Евсиков М. Синхронный АМ детектор на одной микросхеме. — Радио, 1992, № 8, с. 43.

# КОРТОКОВОЛНОВАЯ ПРИСТАВКА К РАДИОПРИЕМНИКУ

И. НЕЧАЕВ, г. Курск

На коротких волнах можно услышать программы радиовещательных станций многих стран мира, наблюдать за работой в эфире любительских радиостанций. Но все это — лишь при наличии радиоприемника с диапазоном КВ. Если же в вашем распоряжении только двухдиапазонный (СВ, ДВ) транзисторный или ламповый приемник, соберите предлагаемую приставку-конвертер, преобразующую КВ сигналы в сигналы диапазона СВ. Кроме того, приставка позволит увеличить чувствительность приемника, имеющего КВ диапазоны.

Приставка выполнена на комбинированной микросхеме серии К174 (рис. 1), которая используется либо как смеситель, либо как усилитель радиочастоты (РЧ). Подключается приставка к антенному гнезду радиоприемника, а уже со входом приставки соединяется наружная антенна.

Работает приставка в трех режимах. В первом сигнал с гнезда XS1 ст. антенны подается через секцию SA2.3 переключателя "Режим" непосредственно на радиоприемник. Иначе говоря, приставка выключена.

В режиме "УРЧ" (усилитель РЧ) сигнал от наружной антенны поступает через секцию SA2.1 переключателя режимов и конденсатор C11 на входной контур, образованный катушкой индуктивности L1, подстроечным конденсатором C1 и одним из конденсаторов C2—C10. Емкости этих конденсаторов подобраны таким, чтобы при перемещении подвижного контакта секции SA1.1 переключателя "Диапазон" колебательный контур оказывался настроенным на частоты вещательных (16, 19, 25, 31, 41, 49 м) или любительских (15, 20, 40, 80, 160 м) диапазонов, причем диапазоны 40 и 41 м объединены.

С части витков катушки L1 выделенные контуры сигнала поступают на один из входов микросхемы (вывод 13). Чтобы заставить микросхему усиливать сигналы РЧ, режим работы ее изменяют введением резистора R5 секцией SA2.2.

Усиленные сигналы снимаются с выводов 3 микросхемы и через секцию SA2.3 переключателя режимов поступают на приемник — его чувствительность и избирательность по зеркальному каналу в диапазоне КВ возрастают.

В третьем режиме "Конв." (конвертер) используется стандартное включение микросхемы. Включается гетеродин, выполненный на полевом транзисторе VT1, и его сигнал поступает на второй вход

микросхемы (вывод 8). На первый же вход по-прежнему продолжают поступать сигналы КВ радиостанций, выделенные входным контуром. Сигналы радиостанций переключаются с сигналом гетеродина, а разностный сигнал выделяется фильтром C30L3C31 и поступает на антенный вход радиоприемника.

Частоты гетеродина выбраны примерно на 1,2 МГц выше средней частоты настройки входного контура, поэтому такую частоту устанавливают на шкале приемника. Поиск радиостанций ведут ручкой настройки приемника.

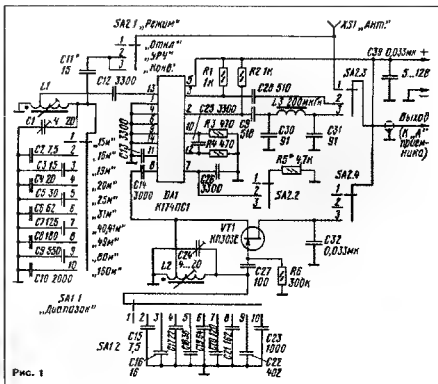
Поскольку приставка будет работать со стационарным радиоприемником, то и питать ее нужно от его источника. Проще всего это осуществить с транзистор-

ным приемником — напряжение на приставку подают (только во втором и третьем режимах) с выключателя питания через контакты оставшейся свободной секции, скажем, SA2.5 (на рис. 1 не показана). Приставка будет устойчиво работать при напряжении 5...12 В, потребляя незначительный ток — несколько миллиампер.

Несколько хлопотнее с ламповым приемником — придется изготовить для приставки выпрямитель со стабилизатором и подключить их к накальной обмотке понижающего трансформатора. Если у этой обмотки "заземлен" (соединен с общим проводом — шасси) один из выводов, блок питания можно выполнить по схеме, приведенной на рис. 2. В случае "заземления" средней точки обмотки придется воспользоваться схемой, приведенной на рис. 3. Включают приставку в обоих вариантах через упомянутую секцию SA2.5.

Детали приставки, кроме элементов блока питания, переключателей и антенного гнезда XS1, размещены на одной стороне печатной платы из двустороннего фольгированного стеклотекстолита (рис. 4), вторая сторона оставлена металлизированной и соединена с общим проводом в нескольких местах. Вместе с блоком питания (в варианте приставки для лампового приемника) плата размещена в металлическом корпусе, на стенках которого укреплены переключатели и гнездо XS1.

Полевой транзистор может быть указанной на схеме серии с буквенными индексами Г—Е. Конденсаторы — КЛС, КМ, КД, причем контуры должны быть с ТКЕ не хуже М750, а разделительные и блокировочные — любым. Резисторы — МЛТ-0,125, переключатели ПГ2 или другие малогабаритные. Катушки L1, L2 наматывают на каркасе диаметром 6 мм



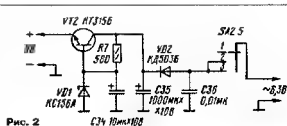


Рис. 2

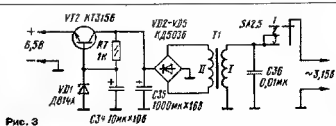


Рис. 3

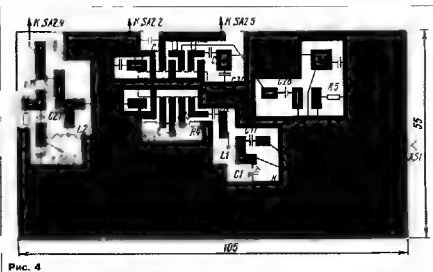


Рис. 4

с подстроечником из карбонильного железа диаметром 4 мм. Каждая катушка содержит 20 витков провода ПЭВ-2 0,21 с отводом от 4-го витка, считая от "заземленного" на схеме вывода. Дроссель L3 — ДМ-0,1 или другой готовый либо самодельный индуктивностью 200 мкГ.

В блоке питания допустимо использовать транзисторы KT3156, KT3151И, KT312А—KT312В, KT3102А, KT3102Е, полярные оксидные конденсаторы К50-6, К50-16, К50-24, неполярные КЛС, КМ, КД; диоды — любые выпрямительные. Трансформатор Т1 намотан на магнитоприводе ШБ68 от трансформатора усилителя ЗЧ радиоприемника "Альпинист-407". Обмотка I содержит 300 витков провода ПЭВ-2, а обмотка II — 800 витков ПЭВ-2, 0,1.

Прежде чем наклеивать приставку, нужно убедиться в исправности блока питания, если, конечно, он работает от лампового приемника, либо в поступлении постоянного напряжения от транс-

торного приемника. А уже потом приступать к настройке входного и гетеродиного контуров. Для этих целей понадобятся измерительная аппаратура: частотомер, генератор ВЧ, милливольтметр, а порою вполне можно обойтись без нее, действуя вслепую: имеющийся радиоприемник и прослушивая через него сигналы радиостанций на соответствующих диапазонах.

Начинают, конечно, с настройки входного и гетеродиного контуров. Эта операция немного облегчается, если удастся заранее подобрать для них с помощью образцового измерительного прибора конденсаторы С2—С10 и С15—С23 указанной на схеме емкости. Тогда достаточно будет осуществить налаживание всего на двух диапазонах: 160 и 15 м. На первом из них придется установить требуемые частоты подстроечниками катушек L1 и L2, а на втором — подбором конденсаторов C1 и C24.

При измерении и установке резонанс-

ной частоты входного контура сигнал с генератора ВЧ подают на антенное гнездо XS1, а милливольтметр подключают к выводу 13 микросхемы или к отводу катушки L1. Частоту же гетеродина измеряют частотомером, подключенным к выводу 8 микросхемы либо к отводу катушки L2. Естественно, "азамеленные" щупы измерительных приборов соединяют с общим проводом приставки.

Что касается частот настройки, то они должны быть такие: для диапазона 160 м — 1,9 МГц (входной контур) и 3,1 МГц (контур гетеродина); далее соответственно: 80 м — 3,57 и 4,77 МГц; 49 м — 6,07 и 7,27 МГц; 40, 41 м — 7,15 и 8,35 МГц; 31 м — 9,63 и 10,83 МГц; 25 м — 11,83 и 13,03 МГц; 20 м — 14,17 и 15,37 МГц; 19 м — 15,27 и 16,47 МГц; 16 м — 17,8 и 19 МГц; 15 м — 21,22 и 22,42 МГц. Нетрудно видеть, что разность частот входного контура и гетеродиного, как было сказано выше, составляет 1,2 МГц.

После этого в режиме "УЧ" подбором резистора R5 добиваются максимального усиления приставки при прослушивании коротковолновых станций на приемник, оснащенный этим диапазоном.

Конечно, если нет необходимости принимать радиолокационные станции, приставку можно упростить, навав соответствующие этим диапазонам детали и использовав переключатель SA1 на меньшее число положений.

**От редакции.** При наличии лампового приемника напряжение на приставку можно подавать с источника анодного питания (200–300 В) через простейший параметрический стабилизатор, составленный из балластного резистора и стабилизатора с напряжением стабилизации 5...12 В. Правда, анодное напряжение небезопасно, но зато упрощается питание усрой для приставки.

Рассчитать сопротивление балластного резистора в зависимости от конкретного "высокого" напряжения и потребляемого приставкой тока поможет статья А. Соколова "Расчет на ПМК параметрического стабилизатора" в "Радио", 1990, № 12, с. 60, 61.

## "ЭКОНОМИЧНЫЙ ПРИЕМНИК С НИЗКОВОЛЬТНЫМ ПИТАНИЕМ"

В этой статье И. Александрова ("Радио", 1993, № 7, с. 28, 29) рассказывалось о пяти транзисторном радиоприемнике, работающем всего от одного галь-

## ПО СЛЕДАМ НАШИХ ПУБЛИКАЦИЙ

ванического элемента напряжением 1,5 В. Приемник понравился М. Лазареву из г. Казани. Он его собрал, проверил в работе, а затем решил усовершенствовать и поделиться своим опытом с читателями журнала.

Повысить чувствительность приемника удалось увеличением длины стержня магнитной антенны до 90 мм. Правда, после этого возросли шумы в головном телефоне, но их при желании можно уменьшить

шунтированием резистора R3 керамическим конденсатором емкостью 3300 пФ.

Включив резистор сопротивления около 1,5 кОм между базой и эмиттером транзистора VT5 и установив резистор R7 сопротивлением 5 Ом, нетрудно повысить громкость звука. Но в этом варианте необходимо установить разделительный конденсатор емкостью примерно 1 мкФ между резком X1 и коллекторной цепью транзистора VT5.

Лучшая техника и безупречное обслуживание!

**"ОКНО-ТВ"****ПРЕДЛАГАЕТ ТЕЛЕВИЗИОННОЕ  
ОБОРУДОВАНИЕ**

- ВИДЕО S-VHS, Betacam, МП, DVC PRO фирм SONY, PANASONIC
- ТЕЛЕВИЗИОННЫЕ и РАДИОПЕРЕДАТЧИКИ (сертификат Минсвязи!)
- КОМПЬЮТЕРЫ и СРЕДСТВА MULTIMEDIA
- СИНХРОНИЗАТОРЫ, МОДУЛЯТОРЫ, ТРАНСКОДЕРЫ, СИСТЕМЫ ШИФРАЦИИ, ГОЛОВНЫЕ СТАНЦИИ, КАБЕЛЬНЫЕ СЕТИ, ВИДЕОМАРКЕРЫ, КОММУТАТОРЫ
- СИСТЕМЫ СПУТНИКОВОГО ТЕЛЕВИДЕНИЯ (USA, Голландия, Россия)
- ЗВУКОВОЕ, ОСВЕТИТЕЛЬНОЕ и ИЗМЕРИТЕЛЬНОЕ ОБОРУДОВАНИЕ

**БЕСПЛАТНО:**

- ✓ гарантия 1 год со дня продажи!
- ✓ доставка в пределах Москвы
- ✓ инструкции на русском языке
- ✓ все необходимые консультации
- ✓ высылаем каталог и прайс-листы

**КРОМЕ ТОГО:**

- ✓ гибкая система льгот и скидок!
- ✓ доставка и установка на месте
- ✓ курс обучения для персонала
- ✓ послегарантийный сервис
- ✓ оплата услуг посредников

*Некоторые цены на поставляемое нами оборудование  
(Внимание! На момент выхода журнала цены могли уменьшиться!)*

**PANASONIC S-VHS****SONY BETACAM SP**

Видеокамеры		Микшерные пульта	
AG-455	1810\$	AVE5E	870\$
AG-DP800	5055\$	AVE7E	1080\$
WV-F15HS	2990\$	WJ-MX30	2290\$
WV-F350	11500\$	WJ-MX50	3790\$
		WJ-MX1000	42200\$

Видеокамеры		Микшерные пульта	
DXC-637PK	12100\$	DFS-500P	17700\$
UVW-100PK	15400\$	DFS-300P	10700\$
		BKDF-501	5350\$
		BKDF-502	2700\$
		FXE-100P	8890\$

В/магнитофоны		Монтажные пульта	
AG-4700	1215\$	AG-A350	930\$
AG-5700	1330\$	AG-A570	640\$
AG-7600	3000\$	AG-A800	2780\$
AG-7700	3635\$		
AG-8600	4100\$		

В/магнитофоны		Монтажные пульта	
UVW-1200	5340\$	BVE-2000	19340\$
UVW-1400	7400\$	PVE-500	3390\$
UVW-1600	7830\$		
UVW-1800	9890\$		
BVV-5PS	16650\$		

Мониторы		Мониторы	
TC-1470Y	950\$	PVM-1450QM	1230\$
BT-S1460Y	1070\$	PVM-1454QM	1580\$
BT-H1450Y	1625\$	PVM-2054QM	2470\$

Мониторы		Мониторы	
PVV-3P	10130\$		
PVW-2600P	12240\$		
PVW-2650P	17890\$		
PVW-2800P	17890\$		

**Если Вам предложат аналогичную продукцию дешевле,  
звоните нам – мы постараемся найти взаимовыгодное решение!**

**Возможна поставка техники на условиях CIF по более низким ценам.**

**Специальная программа для посредников!**

Фирма гарантирует выплаты комиссионных (1-5% от суммы заказа) за каждую сделку, заключенную с Вашей помощью. Для этого Вам необходимо заранее обсудить с нами условия сотрудничества по телефону или прислать свои предложения почтой.

✉ 125040, Москва, Ленинградский пр. 18. под. 2. ☎ 212-05-91, 214-04-11

# ТРЕХТОНАЛЬНЫЕ МУЗЫКАЛЬНЫЕ СИГНАЛИЗАТОРЫ

В. БАННИКОВ, г. Москва

Схема третьего варианта трехтонального сигнализатора показана на рис. 6.а. Он тоже собран на пяти микросхемах, но тем не менее способен воспроизводить не только минорное трезвучие, но и мажорное. Правда, здесь исключено дугрирование пехторяющегося фрагмента мелодии после отпускания третьего нажатой кнопки SB1. Поэтому третий вариант хорошо подходит для охраняющих устройств.

Задающий генератор (на частоту 7 кГц) и делитель частоты выполнены на элементах DD1.1—DD1.3 и триггерах DD2.1, DD2.2, DD3.1, DD3.2 соответственно. Генератор и счетчик манипулятора собраны на элементах DD4.1—DD4.3 и триггерах DD5.1, DD5.2. В узле пуска работает цепь R6/R7, кнопка SB1 и элемент DD4.4.

Работа этого сигнализатора во многом подобна описанному ранее. Он включается нажатием на кнопку SB1, вследствие чего на выходе микросхемы DD1.1, DD1.3, DD4.1, DD4.4 появляется разрешающий высокий уровень, а на выходе R всех триггеров — разрешающий низкий.

Порядок формирования тонов показан на рис. 7. Дiodы VD1, VD2 связаны с триггерами DD5.1, DD5.2 манипулятора так, что последовательно воспроизводятся ноты F<sub>2</sub>, D<sub>2</sub>, A<sub>2</sub> — нисходящее минорное арпеджио (частотное соотношение 5:6:8). Чтобы сделать его восходящим, нужно катод диода VD1 соединить с прямым выходом триггера DD5.2, а диода VD2 — с прямым выходом триггера DD5.1. И та, и другая последовательности нот соответствуют трезвучию ре минор.

Это минорное соотношение (в 6:5) можно сделать мажорным (15:12:10), если в сигнализатор ввести узел, схема которого показана на рис. 6.б. Теперь коэффициент деления будет изменяться в последовательности 10, 12, 15. Вместо ноты первой октавы (A<sub>1</sub>) будет звучать символ той же октавы (B<sub>1</sub>), примерно соответствующая частота 467 Гц. В целом это отвечает трезвучию си-бемоль мажор, обеспечиваемому перебором нот F<sub>2</sub>, D<sub>2</sub>, B<sub>1</sub>. Если требуется восходящее мажорное арпеджио B<sub>1</sub>, D<sub>2</sub>, F<sub>2</sub>, то катоды диодов VD1, VD2 и VD6 следует подключить к выходам 13, 1 и 2 микросхемы DD5 соответственно.

Представленные здесь варианты трехтонального сигнализатора значительно проще (5—6 микросхем вместо восьми), чем описанных в [3]. Двухтактный сим-

плет, нагруженный четырехомной головкой, дает очень громкий звук. Если же большая громкость не требуется, усилитель может быть одноктактным. Для этого оставляют лишь один транзистор VT1, а остальные удаляют. Правый по схеме на рис. 1 вывод головки BA1 нужно соединить с общим проводом, а базу транзистора VT1 подключить не к инверсирующей, а к прямому выходу триггера. Фазоинвертор DD1.4 тоже становится ненужным. С другими вариантами одноктактного усилителя можно познакомиться в [4].

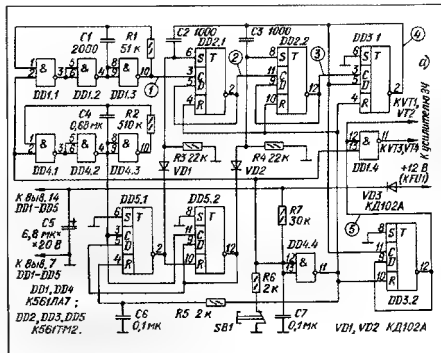
Тональность звучания трехтонального сигнализатора легко изменить, подобрав элементы цепи C1R1. Темп чередования

эмиттерным повторителем и работающим в переключающем режиме.

На рис. 8 показана схема сигнализатора, воспроизводящего аккорд ре минор. Задающий генератор собран на элементах DD1.1—DD1.3. При указанных номиналах цепи C1R1 его частота равна 3500 Гц. Устройство содержит также три делителя частоты — на 6 (DD2.1, DD2.2, DD3.1), на 5 (DD3.2, DD4.1, DD4.2) и не 4 (DD5.1, DD5.2). Головки BA1, BA2 и BA3 одновременно воспроизводят сигналы частотой 583, 700 и 875 Гц (ноты ре, фа, ля второй октавы) соответственно.

Работает сигнализатор после нажатия на кнопку SB1, а после ее отпускания он вновь переходит в дежурный режим, когда задающий генератор заторможен, а все триггеры установлены сигналами с выхода инвертора DD1.4 в нулевое состояние, транзисторы VT1—VT3 при этом закрыты. Изменяя номиналы цепи C1R1, можно изменить тональность аккорда, но минорное созвучие сохраняется.

Когда необходимо воспроизвести мажорный аккорд, число микросхем в устройстве увеличивают до шести (рис. 9). Здесь показана схема лишь делителя



нот устанавливаются подборкой элементов цепи C4R2.

Выше были рассмотрены варианты устройств, которые формируют чередование нот аккорда в виде арпеджио, т. е. одна за другой. Но можно так построить сигнализатор, чтобы ноты звучали одновременно — аккордом. В этом варианте удобно использовать три одноктактных усилителя ЗЧ и три динамических головки. Каждый усилитель может быть, конечно, и двухтактным, но тогда общая мощность сигнализатора, скорее всего, окажется избыточной. Лучше применить усилитель на транзисторе, включенном

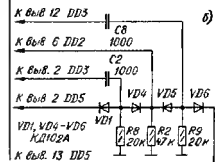
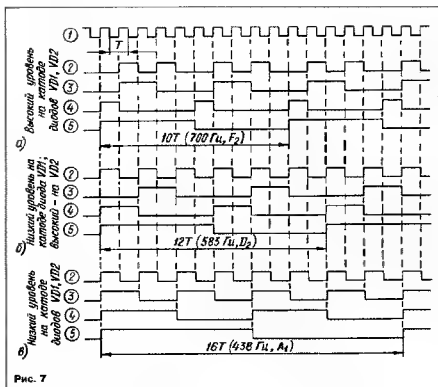


Рис. 6



частоты, остальные узлы — те же, что и на рис. 8. Емкость конденсатора C1 следует уменьшить до 2000 пФ, частота задающего генератора возрастет до 7 кГц. Тогда в аккорде будут тоны частотой 467, 583 и 700 Гц (ноты си-бемоль первой октавы, ре и фа второй).

В этом устройстве — пять счетчиков. Счетчик на триггерах DD2.1, DD2.2, DD3.1 делит частоту на 5, на триггере DD4.2 — на 2, на триггерах DD6.1, DD6.2 — на 4, а на триггерах DD3.2, DD4.1 и DD5.1, DD5.2 — на 3. В результате на выходе триггеров DD4.1, DD6.1 и DD4.2 частота 7 кГц, понижаемая в 15, 12 и 10 раз соответственно. Таким образом формируется аккорд си-бемоль мажор.

Весьма интересное звучание обеспечивает сигнализатор по схеме, показанной на рис. 10. Его звучание с изменяющейся тональностью напоминает звук механической сирены, но в отличие от своего механического прототипа воспроизводит не один, хоть и переменный, тон, а тректольный минорный аккорд. Здесь три делителя частоты на триггерах (на DD2.1, DD2.2, DD3.1, на DD3.2, DD4.1 и на DD4.2) обеспечивают режим деления частоты на 5, 3 и 2 соответственно. Это означает, что при любой частоте задающего генератора будет звучать минорный аккорд, малая терция которого октавно понижена. Собран сигнализатор всего на четырех микросхемах.

Задающий генератор выполнен на элементах DD1.1—DD1.3. Инитирующая цепь R1C1 управляет работой задающего генератора. Цепь, состоящая из элементов VD2, R4, R5, C4, DD1.4, служит для установки (по входу R) триггеров делителей частоты в исходное состояние. При отпускании кнопки SB1 оксидный

конденсатор C1 разряжен, поэтому генератор заторможен, на выходе элементов DD1.1, DD1.3 высокий уровень напряжения, а DD1.2 — низкий. Конденсатор C4 также разряжен (через резистор R5), на выходе элемента DD1.4 высокий уровень. Это означает, что триггеры делителей частоты установлены в нулевое состояние, транзисторы VT1—VT3 закрыты, а головки BA1—BA3 обесточены.

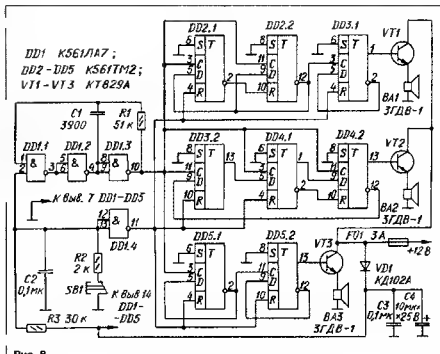
Если теперь нажать на кнопку SB1, конденсатор C1 начинает заряжаться (через резистор R1) и генератор включается. По мере зарядки конденсатора C1 частота генератора постепенно увеличивается, следовательно, тональность воспроизводимого аккорда повышается.

Увеличение частоты продолжается в течение приблизительно 3 с, после чего генератор работает с постоянной частотой 4200 Гц. При этом звучит аккорд ля-бемоль второй октавы (840 Гц), фа-третей (1400 Гц), до четвертой октавы (2100 Гц).

Отпускания кнопки SB1 вызывает медленную разрядку (через цепь R2, VD, 1R3) конденсатора C1 и убывание частоты задающего генератора. В начале работы генератора конденсатор C4 быстро заряжается через диод VD2 и резистор R4. Это приводит к тому, что на выходе элемента DD1.4 высокий уровень сменяется низким, который разряжает работу делителей частоты. Когда же вследствие разрядки конденсатора C1 работа генератора заканчивается, конденсатор C4 разряжается через резистор R5 и триггер делителей частоты устанавливаются в нулевое состояние, поскольку на выходе элемента DD1.4 появляется высокий уровень. Смещать тональность звучания можно, изменяя номиналы цепи C3R6.

В этом сигнализаторе можно применить счетчики, собранные по схеме на рис. 8. Число микросхем увеличится до пяти, но зато минорный аккорд будет звучать в своем классическом виде. На шести микросхемах можно собрать подобное устройство, если воспользоваться счетчиками, схема которых изображена на рис. 9. Впрочем, для сигнализатора с переменным тоном мажорный аккорд, вероятно, подходит меньше, чем минорный.

В заключение некоторые сведения



о применяемых деталях. Во всех сигналах микросхем серии К561 можно заменить соответствующими из серии 564 или, в крайнем случае, из серии К176. Транзистор КТ972А заменим на КТ972Б или любой из серии КТ829, а КТ973А на КТ973Б. Если готовых составных транзисторов нет, их можно собрать в виде пар, состоящих из малоомощного и мощного. Вместо транзистора КТ972А (КТ829А) подойдет пара из малоомощного

Все описанные сигнализаторы защищены от ошибочной полярности питания, а также от импульсных помех, характерных, например, для бортовой сети автомобиля. Кроме того, устройства отличаются незначительным потреблением тока в дежурном режиме. Они тем более мал у тех, в которых использована замыкающая пусковая кнопка. Поэтому выключатель питания для сигнализатора не нужен. В рабочем режиме

# "СИМВОЛ-Р" ДЛЯ РАДИОСПЕЦИАЛИСТОВ И РАДИОЛЮБИТЕЛЕЙ

Мы поможем вам в комплектации ведомственных и домашних библиотек  
Для библиотек — поставки почтовымисылками, для отдельных читателей — высылаются единичные экземпляры через "Книгопочтой" "Символ Р".  
Предварительная оплата стоимости издания и почтовых расходов обязательна.

Стоимость изданий за экземпляром.

**НОВИНКА!** Никитин В. А., Соколов Б. Б., Щербак В. В. 100 и одна конструкция антенн телевизионных радиостанций, Сиби радиослази [27 МГц]. — М "Символ-Р", 1996. 11 450

**Войцеховский Д. В., Паскина Е. Л.** Любительские видео- и аудиосистемы для цветных телевизоров. М "Символ-Р" 1995. 8 500

**Справочник.** Новые биполярные и полевые транзисторы. — М Символ-Р, 1994. — 3 100

**Новаченко И. В.** и др. Интегральные схемы для бытовой радиопаратуры. 4-е дополн. изд. — М Радио и связь, 1995. 13 500

**Пугачев В. М.** Полупроводниковые приборы. Транзисторы. 2-е дополн. изд. — М Радио и связь, 1995. 12 600

**Пучков Н. А.** Зарубежные интегральные микросхемы и их отечественные аналоги. М Машиностроение, 1993. 6 600

**Кизилок А. И.** Справочник по устройству и ремонту телефонных аппаратов зарубежного и отечественного производства. М "Библиотек", 1995. 12 900

**Аксенов А. И. и Нефедов А. В.** Элементы схем бытовой радиопаратуры. Конденсаторы. Резисторы. — М. МРБ, 1995. 13 000

**Алексеев Ю. П.** Бытовая радио приемная и звуковоспроизводящая аппаратура (изделия 1982-1992 гг.). — М Радио и связь, 1995. 9 600

**Кузин А. И. и Кузин О. В.** Ремонт комбинированных приборов. — М МРБ, 1994. 10 500

**Колесниченко О. В., Шашинский В.** Обслуживание и ремонт зарубежных бытовых видеомagnetофонов. — С.-Петербург, "Лань", 1995. 11 600

**Никитин В. А.** Как добиться хорошей работы телевизора. 3-е изд., дополн. и испр. — М. Паряют, 1995. 11 200

**Хохлов В. Н.** Приставки ПАЛ в серийных цветных телевизорах. — М МРБ, 1995. 7 500

**Штеерл П. А.** Входные и выходные параметры бытовой радиослазительной аппаратуры. 2-е изд., испр. и дополн. — М МРБ, 1995. 8 000

**Мидлтон Р. Г.** Навычки и ремонт радиослазительных устройств не имеющих технического описания. Пер с англ. — М Энергоснабж. 10 400

**Гугерольтер по журналу "Радио" 1986—1990. — 3 050**

Организация переносит стоимость заказа через банк с раскладкой по названным книг на р/с "Символ-Р", индивидуальные заявки оплаты производят почтовым переводом за каждую книгу отдельно на р/с "Символ-Р".

**Наша редакция.** Для москвичей и жителей области: р/с "Символ-Р" № 7467430, БК в Комбинате "Ситимил" в Москве, МФО 998918 для жителей России — на р/с № 7467430, уч. 83 в Комбинате "Оптимум" в Москве, кортсет 511161600 в РКЦ ПУБ РФ, МФО 201791.

**Наш адрес:** 103045 г. Москва, Селиверстов пер., 10, "Символ-Р" Тел. 285-18-41

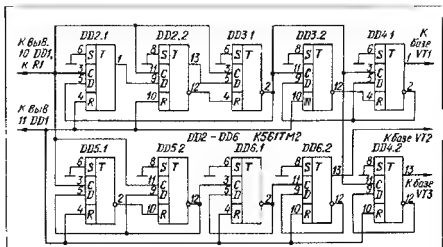


Рис. 9

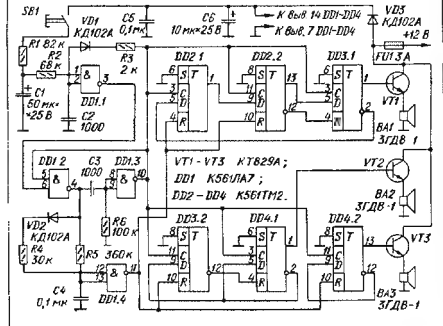


Рис. 10

го КТ315Г и мощного КТ817Г. Пара КТ361Г и КТ816Г заменит транзистор КТ973А.

Сопротивление динамической головки не должно быть меньше 4 Ом. Минимальное напряжение питания — 4 В (при использовании микросхем серии К176). Максимальное — 15 В.

каждый из них потребляет ток 2...2,5 А (при напряжении питания 12 В).

## ЛИТЕРАТУРА

4 Банечков В., Барюшан А. Двухтональная сирена автосторжжа. — Радио, 1993, № 12, с. 31—44

# ЭЛЕКТРОННЫЙ БЛОК ЗАЖИГАНИЯ

С. БИРЮКОВ, г. Москва

Комбинированные блоки зажигания, в которых начало искры формирует разряжающийся конденсатор, а затем ее поддерживает постоянное напряжение, подаваемое на катушку зажигания, уже были описаны в журнале (см. статьи А. Штырлова, В. Вавинова "Комбинированная электронная система зажигания" в "Радио", 1983, № 7, с. 30—32 и В. Беспалова "Блок электронного зажигания" в "Радио", 1987, № 1, с. 25—27). Описываемый ниже блок работает аналогично, но ценой некоторого усложнения в нем разделены узлы формирования начальной — тиристорной — фазы искры и конечной — транзисторной. Это существенно облегчает налаживание блока, позволяет независимо менять параметры обеих фаз искры.

Предлагаемый вниманию читателей блок относится к классу комбинированных тиристорно-транзисторных. По своей структуре он близок к блоку, описанному в [1], и имеет сходные эксплуатационные характеристики. Одним из отличий является отсутствие в нем одновибраторов и конденсаторных времязадающих цепей, что дало возможность несколько повысить помехоустойчивость устройства. В блоке использована без доработки готовая катушка зажигания от транзисторных систем зажигания серийных автомобилей.

Схема блока изображена на рис. 1. Узел, которому соответствует верхняя по рисунку часть схемы, формирует начальную фазу искры, остальная часть — фазу

ее поддержания. Цепь, состоящая из резисторов R2, R3, конденсатора C3 и диода VD6, подавляет импульсы "дребезга" контактов прерывателя.

Триггер, собранный на транзисторах VT1, VT2 разной структуры, отличается высокой устойчивостью к помехам по цепи питания. Когда контакты прерывателя замкнуты, оба транзистора триггера и управляющий транзистор VT3 закрыты. Закрыты и мощные транзисторы VT4, VT5.

При размыкании контактов прерывателя триггер переключается — оба его транзистора открываются, что приводит к открыванию и транзисторов VT4, VT5. Транзистор VT3 остается закрытым. Через первичную обмотку трансформатора T1

начинает течь линейно увеличивающийся ток.

Когда этот ток достигнет значения 5 А, падение напряжения на резисторе R12 станет достаточным для открывания транзистора VT3. В результате этого окажется зашунтированным эмиттерный переход транзистора VT1 и триггер вернется в исходное состояние. Транзисторы VT4, VT5 при этом быстро врекоутся.

Открытие транзистора VT3 происходит плавно, поэтому и транзистор VT1 начинает закрываться тоже сравнительно медленно. Но как только начнет закрываться транзистор VT2, процесс их переключения приобретает ламинаобразный характер.

Накопленную энергию трансформатор преобразует в импульс напряжения на обмотке III, который, пройдя через диод VD8, зарядит конденсатор C5 до напряжения 170...180 В. Это напряжение меньше, чем в тиристорных системах зажигания (обычно 300...380 В), но зато больше коэффициент трансформации у используемой катушки зажигания T2. Энергия же "тиристорной" части искры сокращена выбором зарядного конденсатора большой емкости.

Напряжение, до которого заряжается конденсатор C5, практически не зависит от напряжения питания блока; при изменении напряжения питания изменяется лишь время накопления энергии в трансформаторе. С уменьшением температуры окружающей среды напряжения зарядки конденсатора несколько увеличивается из-за увеличения напряжения открывания транзистора VT3, что способствует запуску и работе холодного двигателя.

Замыкание контактов прерывателя не приводит к каким-либо переключениям в блоке.

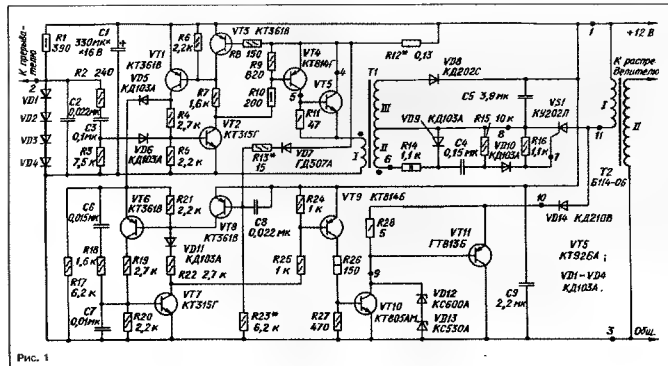


Рис. 1

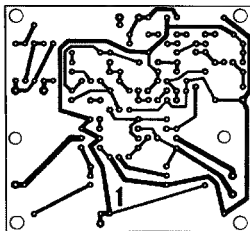


Рис. 2

При очередном размыкании контактов прерывателя поесторается описанный процесс переключения триггера. В момент открытия транзисторов VT4 и VT5 с обмотки II трансформатора T1 на управляющий электрод транзистора VS1 через RCD цепь поступает открывающий импульс. Через открывшийся транзистор конденсатор C5 разряжается на первичную обмотку катушки зажигания T2. На вторичной обмотке катушки формируется высоковольтный импульс напряжения ("тиристорную искру").

Аналогично работают все широко распространенные тиристорные блоки с однопольной зарядкой конденсатора, например, "Искра-3", "Искра-5" и другие, описанные в [2]. Так будет работать и описываемый блок при отключении узла транзисторной фазы искры (нижняя часть схемы). Это можно реализовать, например, размыканием цепи диода VD14.

В момент переключения триггера на транзисторах VT1, VT2 (при размыкании контактов прерывателя) плюсовой перепад напряжения, пройдя через диод VD5 и дифференцирующую цепь C6, R20, переключит вторичной такой же триггер на транзисторах VT6, VT7. Это приведет, в свою очередь, к открытию транзисторов VT9—VT11.

В тот же момент, как указано выше, через открывшийся транзистор VS1 на первичную обмотку катушки зажигания T2 поступит разрядный импульс напряжением около 180 В с конденсатора C5 плюсом к верхнему по схеме выводу обмотки, минусом — к нижнему. Диод VD14 закрывается, и ток через транзистор VT11 не течет. Через транзистор VT10 течет только базовый ток.

По мере разрядки конденсатора C5 минусовое напряжение на нижнем выводе первичной обмотки катушки зажигания уменьшается (по абсолютной величине) по косинусоидальному закону. Как только оно перейдет через "нуль", откроется диод VD14 и первичная обмотка катушки через транзистор VT11 окажется подключенной к цепи питания. Ток через

эту обмотку, сохраняя прежнее направление, начнет увеличиваться и поддерживать напряжение на вторичной обмотке катушки на уровне, достаточном для сохранения искры в свече ("транзисторная искра").

Одновременно, как уже было показано выше, увеличивается падение напряжения на резисторе R12. Оно, сложное с падением напряжения на диоде VD7 и резисторе R13 (благодаря току через резистор R23) и приложенное к эмиттерному переходу транзистора VT8, открывает его несколько ранее момента обратного переключения триггера VT1, VT2.

В момент открытия транзистора VT8 триггер VT6, VT7 переключается в исходное состояние и транзисторы VT9—VT11 закрываются, ток через первичную обмотку катушки зажигания прекращается. Накопленная в катушке зажигания энергия вызывает на вторичной обмотке высоковольтный импульс тока в полярности, противоположной первоначальной, поддерживая искровой разряд еще не-

которое время ("индуктивная искра"). Стабилитроны VD12 и VD13 ограничивают амплитуду напряжения на первичной обмотке катушки на допустимом для транзисторов VT10 и VT11 уровне.

Диод VD7 уменьшает зависимость длительности открытого состояния транзистора VT11 от изменения напряжения питания и температуры; диод обязательно должен быть германиевым. Диод VD5 исключает взаимное влияние триггеров. Диод VD11 предотвращает открытие транзистора VT9 током через цепь R17, R21, R22, R25. Резистор R17 — разрядный для конденсатора C5, конденсаторы C7 и C8 увеличивают помехоустойчивость триггера на транзисторах VT6, VT7. Подборкой резисторов R13 и R23 устанавливается длительность открытого состояния транзистора VT11. Цепь диодов VD1, VD4 обеспечивает стабильность амплитуды импульсов, управляющих триггером VT1, VT2.

Почти все элементы блока смонтированы на двух одинаковых по размерам

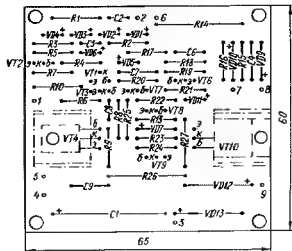


Рис. 4

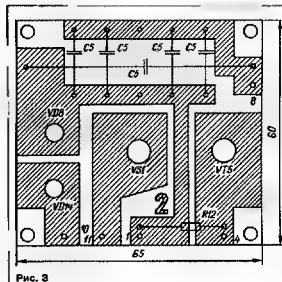


Рис. 3

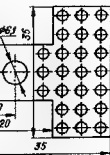


Рис. 4

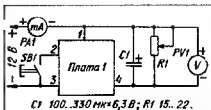


Рис. 5

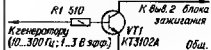


Рис. 6

печатных платах из одностороннего фольгированного стеклотекстолита толщиной 1,5 мм. Чертежи плат показаны на рис. 2 и 3. Транзисторы VT4, VT5, VT10, транзистор VS1 и диод VD8 установлены на теплоотводе в виде Г-образных скоб, из изготовленных из мягкого листового дюралюминия толщиной 1 мм. Размеры теплоотводов транзисторов VT4 и VT10 — 15х15х15 мм, транзистора VT5 и транзистора VS1 — 20х20х20 мм, диода VD8 — 14х14х20 мм. Диод VD14 снабжен штыревым теплоотводом (высота штыря 20 мм) с основанием Г-образной формы (рис. 4). Основная часть теплоотвода вынесена за край печатной платы. Резисторы R11 и R28 припаяны к выводам соответствующих транзисторов.

В блоке в основном использованы резисторы МЛТ; резистор R28 — включенные параллельно два резистора по 10 Ом мощностью 0,125 Вт. Резистор R12 — самодельный, он представляет собой жгут из трех отрезков провода диаметром 0,8 мм из высокоомного сплава; длину жгута подбирают так, чтобы при токе через резистор 5 А падение напряжения на нем было в пределах 0,65...0,7 В. На оправке диаметром около 10 мм жгуту придают форму спирали и монтируют на плату. Оксидный конденсатор C1 — К53-18 (К52-1 не пригоден), C5 — К73-16 на напряжение 250 В. Вместо него можно впаивать в плату 2 (для чего предусмотрены посадочные отверстия) четыре конденсатора К73-17 емкостью по 1 мкФ на то же напряжение. Остальные — КМ-5 и КМ-6.

Диоды VD1—VD6, VD9—VD11 — любые кремниевые маломощные, VD8 и VD14 должны быть рассчитаны на обратное напряжение 300 В и прямой ток не менее 3 и 10 А соответственно. Транзистор VS1 — серии КС202 (с буквенными индексами К—Н).

Вместо КТ315Г и КТ361В можно использовать любые кремниевые маломощные транзисторы соответствующей структуры. Транзистор КТ814Г можно заменить кремниевым средней или большой мощности с коллекторным напряжением не менее 80 В, а КТ814Б — 30 В. Транзистор VT5 должен быть рассчитан на напряжение не менее 80 В и ток 5 А; выбор

транзистора КТ926А объясняется удобством его установки на печатную плату.

Транзисторы VT10 и VT11 должны выдерживать коллекторное напряжение не менее 130 В и ток коллектора не менее 1 и 10 А соответственно. На замену КТ805АМ подходят транзисторы КТ805БМ, а также КТ854, КТ858, КТ859, КТ872, КТ884 с любыми буквенными индексами, на замену ГТ813Б — ГТ813В, ГТ806В, ГТ806Д. Цепь стабилитрона VD12VD13 должна по напряжению соответствовать предельно допустимому напряжению транзисторов VT10 и VT11.

Трансформатор Т1 намотан на магнитопроводе Л116х25. Обмотка I содержит 60 витков провода ПЭВ-2 1,25, II — 100 витков провода ПЭВ-2 0,21, III — 200 витков провода ПЭВ-2 0,35. В зазор магнитопровода вложена прокладка, изготовленная из плотной бумаги.

Платы из латунных стоек собраны в этакер, установленную на текстолите по основанию размерами 200х90х10 мм. Расстояние от платы 2 до основания 15 мм, между платами 1 и 2 — 35 мм. Рядом с платами на основании укреплен трансформатор Т1. Сверху вся конструкция накрыта кожухом из тонкого листового дюралюминия размерами 160х80 мм и высотой 75 мм.

На верхней панели кожуха укреплен ребристый теплоотвод размерами 124х80х35 мм с транзистором VT11. Для исключения теплового контакта теплоотвода с кожухом между ними предусмотрен зазор в несколько миллиметров. И теплоотвод, и корпус (коллектор) транзистора VT11 электрически должны быть соединены с корпусом автомобиля, поэтому не требуют никакой изоляции.

К системе зажигания автомобиля блок подключен четырьмя винтовыми зажимами, установленными на основании.

Собирают и налаживают блок рекомендуется в определенном порядке. Сначала собирают плату 1 и подключают к ней сетевой источник питания на 12...12,5 В или автомобильную батарею аккумуляторов и другие элементы по схеме, представленной на рис. 5. Переменный резистор R1, включенный реостатом, устанавливают в положение минимального сопротивления и включают питание. Миллиамперметр PA1 должен показать ток через резистор R1 блока и диоды VD1—VD4 около 27 мА.

При нажатии на кнопку SB1 ток должен увеличиться примерно до 35 мА из-за исключения из цепи диодов. В момент отпускания кнопки показания миллиамперметра должны увеличиться примерно до 150...200 мА — переключились оба триггера, поступает ток на базу транзисторов VT4 и VT10. Плавное увеличение сопротивления реостата R1 по схеме рис. 5, уменьшает, что при напряжении на нем 0,35...0,4 В потребление тока от источника питания ток скачком уменьшается до 90...100 мА (возрастает из исходного состояние триггер VT6, VT7 и закрываются транзисторы VT9 и VT10), а при напряжении 0,65...0,7 В ток скачком уменьшается до первоначального значения, уменьшается практически до нуля и

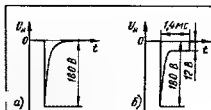


Рис. 7

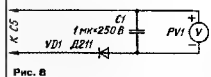


Рис. 8

напряжение на реостате.

Если первый скачок тока происходит при другом показании вольтметра, необходимо подобрать резистор R13. В случае, когда даже замыкание этого резистора не приводит к желаемому результату, следует заменить резистор R23 на другой, большего сопротивления.

После этого собирают блок полностью, но пока не подключают цепь диода VD14 (в точке 10). Вместо первичной обмотки катушки зажигания присоединяют нагрузочный резистор сопротивлением 51...75 Ом мощностью 10 Вт, а для имитации прерывателя используют звуковой генератор, нагруженный герконовым реле или транзисторным коммутатором (рис. 6). При использовании герконового реле следует помнить, что частота замыкания его контактов вдвое больше частоты звукового генератора.

С помощью осциллографа убеждаются в формировании на нагрузочном резисторе R, отрицательных импульсов (рис. 7, а) с амплитудой не менее 170 В в частотном интервале искрообразования от 10 до 300 Гц. На частоте 200 Гц потребляемый ток должен быть около 1 А. Замыкают цепь в точке 10, при этом форма импульсов должна измениться так, как показано на рис. 7, б; ток незначительно увеличивается.

Затем присоединяют к блоку катушку зажигания, а к ее высоковольтному выводу — разрядник с зазором 7 мм; между вторым выводом разрядника и минусом выводов источника питания включают резистор сопротивлением 10 Ом. Снова размыкают цепь в точке 10 и включают блок. В разряднике должны формироваться искры при изменении частоты искрообразования от 10 до 300 Гц.

Вольтметр PV1 с входным сопротивлением 10 МОм, конденсатор C1 и диод VD1 собирают по схеме, показанной на рис. 8, и измеряют напряжение на конденсаторе C5. Оно должно быть в пределах 170...180 В. Если это не так, необходимо подобрать зазор в магнитопроводе трансформатора Т1. Увеличение зазора уменьшает индуктивность обмотки и напряжение на конденсаторе.

Если изменением зазора не удастся установить необходимое напряжение на

конденсаторе С5, нужно попробовать подобрать резистор R12 — уменьшение его сопротивления приводит к уменьшению напряжения на конденсаторе С5. Убедитесь, что это напряжение при изменении напряжения питания и частоты импульсов не меняется не более чем на 5 В.

Восстанавливают цепь в точке 10, проверяют работу блока, как это описано выше; форма тока в цепи разрядника для этого случая изображена на рис. 9. Блок должен нормально работать при напряжении питания от 15 до 6 В. Максимальная частота искробразования при напряжении питания 13 В равна 300 Гц, а с понижением напряжения равномерно уменьшается. При напряжении питания 13 В на частоте искробразования 100 Гц блок должен потреблять ток около 2 А, а при 200 Гц — 4 А.

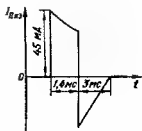


Рис. 9

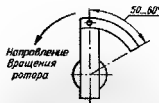


Рис. 10

При напряжении питания 6 В и менее искра разделяется на две: "индуктивная искра" отстает от "транзисторной". При необходимости можно изменить длительность "транзисторной искры" подборкой резисторов R13 и R23. Не следует ошибочно увеличивать длительность искры — даже ли это полезно для двигателя, но увеличивает потребляемый ток, температуру элементов блока (особенно диода VD14) и катушки зажигания.

При наложении можно видеть в зазоре разрядника результат работы формирователя "транзисторной искры" после его подключения тонкую "транзисторную искру" охватывает голубоватое свечение в форме бочонка диаметром 2...3 мм, потребляемый ток резко увеличивается.

Блок вполне можно наладить и без осциллографа, однако получить наилучшие его характеристики будет труднее.

При установке блока на автомобиль к внешнему контакту бегунка распределителя следует прикрепить с последующей пропайкой дополнительную латунную

пластину в форме дуги с угловой длиной 50...60 градусов и шириной примерно 5...7 мм (рис. 10) для того, чтобы искра не прерывалась раньше времени и не возникали "обратные" удары в цилиндрах. Конденсатор прерывателя необходимо отключить.

В непосредственной близости от блока в автомобиле полезно установить оксидный конденсатор К50-18 емкостью не менее 22000 мкФ на номинальное напряжение 16 В, соединяющий цепь питания блока с общим проводом. Это уменьшит помехи в бортовой сети, наводимые блоком зажигания и другими устройствами автомобиля.

Каких-либо измерений, указывающих на улучшение экономичности двигателя с описанным блоком или снижение содержания окиси углерода, автор не проводил. Объективно отмечено, однако, что копорный двигатель при продолжительной искре запускается значительно лучше, чем в варианте блока только с "тиристорной" искрой. Особенно это различие заметно зимой или глубокой осенью. Естественно, что при запуске поплавковая камера карбюратора должна быть полна, следует также до включения стартера в колочную погоду несколько раз нажать на педаль газа.

Вместе с использованием термокомпенсирующего регулятора напряжения [3], обеспечивающего поддержание необходимого уровня заряженности аккумуляторной батареи в самых различных условиях эксплуатации, описываемый блок позволил автору довести срок службы батареи до 9 лет.

Если обеспечить увеличение тока через резистор R23 по мере повышения частоты вращения коленчатого вала двигателя, можно добиться пропорционального уменьшения длительности "транзисторной" части искры (и, как следствие, "индуктивной" ее части) вплоть до выключения обеих этих частей. Это снизит потребляемую блоком среднюю мощность и, очевидно, уменьшит эрозию электродов свечей, не ухудшая характеристик двигателя.

Если не удалось приобрести катушку зажигания от транзисторных систем, можно оставить в блоке только формирователь "тиристорной" искры, соединив катод диода VD14 с катодом диода VD8. Емкость конденсатора С5 при этом следует уменьшить до 1 мкФ (его номинальное напряжение не должно быть менее 400 В), а число витков обмотки Т1 трансформатора Т1 увеличить до 360. В результате получится традиционный тиристорный блок с хорошей помехоустойчивостью.

#### ЛИТЕРАТУРА

1. Архипов Ю. Полуавтоматический блок зажигания. — Радио, 1990, № 1, с. 31—34, № 2, с. 39—42.
2. Синельников А. Х. Электронные приборы для автомобилей. М.: Энергоатомиздат, 1986 — 240 с.
3. Бирюков С. Простой термокомпенсируемый регулятор напряжения. — Радио, 1994, № 1, с. 34, 35.

#### НА КНИЖНОЙ ПОЛКЕ



#### Ю. М. ГЕДЗБЕРГ БЛОКИ ПИТАНИЯ ОТЕЧЕСТВЕННЫХ И ЗАРУБЕЖНЫХ ТЕЛЕВИЗОРОВ

В этом справочном пробы подробно изложены принципы работы блоков питания (выпрямителей, стабилизаторов, импульсных блоков) отечественных и зарубежных телевизионных приемников, рассмотрены общие вопросы их ремонта. Особое внимание уделено методике поиска и устранения неисправностей.

В книге приводятся сведения о блоках питания ряда отечественных телевизоров и телевизоров производства стран ближнего зарубежья ("Электроника-404Д", "Сапфир 401", "Юность Ц-404", "Шмиллис Ц-410Д", "Юность Ц-440Д", "Вене 251Ц-405Д", "Электроника Ц 430", "Электроника Л-431Д", "Электроника Ц-432", "Электроника Ц-433" и др.) и дальнего зарубежья (телемагнитолы EIC ACN-8030B, телевизоры Super Color фирмы GRUNDIG, BILDMASTER FCS22C фирмы SIEMENS, телевизоров фирм Philips, TELEFUNKEN, IIT, SANYO, SONY, SHARP, ORION и др.) Описаны функциональные и принципиальные схемы блоков питания телевизионных приемников.

В приложениях приведены графические и позиционные обозначения элементов зарубежных телевизоров, отличающиеся от отечественных, а также описаны возможности использования компьютера при ремонте телевизоров.

Справочное пособие предназначено для инженерно-технических работников и подготовленных радиолюбителей. Оно может оказаться полезным и для владельцев телевизионных при-

\*\*\*

Москва, издательство  
"Радио и связь", 1995

# КВАЗИРЕЗОНАНСНЫЙ ПРЕОБРАЗОВАТЕЛЬ НАПЯЖЕНИЯ

Е. КОНОВАЛОВ, г. Мариуполь, Украина

Автор этой статьи рассказывает о весьма перспективном виде преобразователя напряжения — квазирезонансном. Описываемое устройство обеспечивает исключительно высокий КПД преобразования, допускает регулирование выходного напряжения и его стабилизацию, устойчиво работает при вариации мощности нагрузки

В современных сетевых блоках питания различной аппаратуры широко используют транзисторные преобразователи напряжения. Их преимущества перед трансформаторными блоками общеизвестны — меньшие габариты и снижение расхода меди при той же отдаваемой мощности, что с лихвой окупает их сложность, особенно в серийном производстве.

Чем больше рабочая частота преобразования, тем выше его экономические показатели. Однако с увеличением частоты переключения транзисторов увеличиваются и коммутационные потери и соответственно снижается КПД преобразователя.

Значение коммутационных потерь любого преобразователя определяют в основном два фактора — наличие сквозного тока и значительное время закрывания мощных переключающих транзисторов при большом коллекторном токе. Время их открывания, как правило, в семь-десять раз меньше и существенного влияния не КПД не оказывает.

Сквозной ток возникает при переключении транзисторов в мостовых и полумостовых преобразователях. Он протекает в то время, когда транзистор одного плеча преобразователя уже открыт, а другого еще не успел закрыться.

Для устранения этого явления процесс переключения разбивают на два этапа. Сначала обеспечивают закрывание транзистора в одном из плеч, а затем, через 3...5 мкс (типичное время закрывания мощных транзисторов), — открывание в другом. Этот способ используют в преобразователях с внешним возбуждением, но он неприменим в автогенераторных. Длительное закрывание при большом коллекторном токе приводит к тому, что в это время на закрываемом транзисторе выделяется бесполезная мощность, среднее значение которой выражат формула

$$P = I_m U_m F t_{\text{закр}} / 6.$$

где  $I_m$  — коллекторный ток транзистора к началу его закрывания,  $U_m$  — напряжение на коллекторе после закрывания,  $F$  — рабочая частота преобразователя,  $t_{\text{закр}}$  — время закрывания транзистора.

Существуют различные схемные решения, позволяющие форсировать процесс

закрывания, однако они требуют дополнительных энергетических затрат и уменьшают время закрывания, в лучшем случае не более чем в два раза от паспортного, а зачастую лишь помогают удержаться на уровне этого значения.

Кроме коммутационных, есть потери мощности из-за падения напряжения на открытом транзисторе, но они зависят лишь от выбора транзисторов и в сетевых преобразователях не превышают 0,5...1 % от преобразуемой мощности.

Все разнообразие существующих преобразователей напряжения, как с внешним возбуждением, так и автогенераторных, можно условно разбить на несколько видов по характеру коллекторного тока и напряжения в момент коммутаций. Первый и наиболее распространенный — импульсный, для которого характерен максимальный коллекторный ток к моменту закрывания транзисторов и максимальное коллекторное напряжение после.

В таком преобразователе действуют обе составляющие коммутационных потерь, поэтому при рабочей частоте 15...25 кГц на них приходится вл. 15 % преобразуемой мощности. Несмотря на это, импульсные преобразователи наиболее распространены благодаря простоте реализации и гибкости управления выходным напряжением, что позволяет совмещать преобразование напряжения с его стабилизацией.

Второй вид — резонансный преобразователь. Упрощенным его примером может служить обычный LC-генератор с трансформаторной обратной связью и целью автоматического смещения. Реактивные элементы коллекторной цепи рассчитывают так, чтобы либо перед закрыванием транзистора его коллекторный ток уменьшался почти до нуля, либо сразу после закрывания коллекторное напряжение было очень мало. Это позволяет снизить общие потери на переключающих транзисторах до 1...2 % от преобразуемой мощности и уменьшить уровень радиопомех по сравнению с импульсным преобразователем.

Однако резонансные преобразователи надежно работают только в режиме автогенератора, не допускают возможности регулирования выходного напряжения и значительного отклонения сопротивления нагрузки от расчетного значения. В целом в системе преобразователь-стаби-

лизатор сичи проигрывают импульсным по КПД, так как требуют отдельного стабилизатора.

Интересен и незаслуженно мало распространен третий вид — квазирезонансный, который в значительной мере избавлен от недостатков обоих предыдущих. Идея создания такого преобразователя не нова, но практическая реализация стала целесообразной сравнительно недавно, после появления мощных высокочастотных транзисторов, допускающих значительный импульсный ток коллектора при напряжении насыщения около 1,5 В.

Главная отличительная особенность и основное преимущество этого вида источника питания — высокий КПД преобразователя напряжения, достигающий 97...98 % без учета потерь на выпрямителе вторичной цепи, которые в основном определяют ток нагрузки.

Высокий КПД в ряде случаев вообще избавляет от необходимости применять теплоотводы для мощных транзисторов преобразователя, что позволяет значительно уменьшить размеры аппаратуры, и говоря уже о прочих преимуществах экономичного характера.

От обычного импульсного преобразователя, у которого к моменту закрывания переключающих транзисторов ток, протекающий через них, максимален, квазирезонансный отличается тем, что к моменту закрывания транзисторов их коллекторный ток близок к нулю. При-

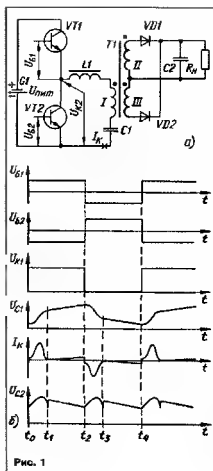
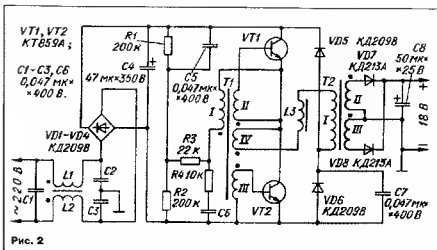


Рис. 1



чем уменьшение тока к моменту закрытия обеспечивают реактивные элементы устройства.

От резонансного он отличается тем, что частота преобразования не определяется резонансной частотой коллекторной нагрузки. Благодаря этому можно регулировать выходное напряжение изменением частоты преобразования и реализовывать стабилизацию этого напряжения.

Более подробно принцип работы полумостового квазирезонансного преобразователя поясним по упрощенной схеме, представленной на рис. 1,а. Диаграммы тока и напряжения в характерных точках в установленном режиме работы показаны на рис. 1,б. Для простоты предположим, что время переключения транзисторов относительно мало, это упрощение, как показала практика, не влияет на достоверность диаграмм.

Предположим также, что значения параметров элементов удовлетворяют соотношениям  $L_p \gg L_1$  и  $f_m < f_{cr}$ , где  $f_m$  — частота переключения транзисторов,  $f_{cr}$  — резонансная частота контура  $L_1C_1$ ,  $L_p$  — индуктивность первичной обмотки трансформатора Т1.

Рассмотрение начнем с момента  $t_0$ , когда открывается транзистор VT1 и через него, а также через дроссель L1 и первичную обмотку трансформатора Т1 начинает заряжаться конденсатор C1. В этот момент напряжение на конденсаторе C2 и нагрузке R, меньшее напряжения  $(U_{C1} - U_{C2})/n$ , где  $U_{C1}$  — напряжение на конденсаторе C1,  $n$  — коэффициент трансформации трансформатора Т1;  $U_C$  — прямое падение напряжения на выпрямительном диоде VD1 (или VD2). При этом диод VD1 открыт и через него проходит ток зарядки конденсатора C2.

Заряжаясь, конденсатор C2 шунтирует вторичную обмотку трансформатора Т1, поэтому скорость зарядки конденсатора C1 определяется его собственной емкостью и малой индуктивностью дросселя L1 и не зависит от индуктивности первичной обмотки трансформатора. Так как по мере зарядки конденсатора напряжение на первичной обмотке уменьшается, а на конденсатора C2 увеличивается, то в момент  $t_1$  диод VD1 закрывается и в цепь зарядки конденсатора C1

включается большая индуктивность первичной обмотки ненагруженного трансформатора Т1. При этом ток через открытый транзистор VT1 скачком уменьшается до значения тока в первичной обмотке, к этому моменту еще незначительного, так как  $L_p \gg L_1$ .

Таким образом, с момента  $t_1$  до момента переключения транзисторов  $t_2$  увеличение коллекторного тока определено индуктивностью первичной обмотки ненагруженного трансформатора, которую выбирают довольно большой. Фактически состояние цепи к моменту переключения соответствует режиму холостого хода. В реальных цепях роль дросселя L1 может выполнять индуктивность рассеяния трансформатора.

После закрытия транзистора VT1 и открытия VT2 происходит разрядка конденсатора C1. Ток через дроссель и обмотку I трансформатора протекает в противоположном направлении, но процесс идет по тем же законам. Новбодимое условие существования описанного режима — скорость уменьшения напряжения на конденсаторе C2 при его разрядке через сопротивление нагрузки после закрытия диодов должна быть меньше скорости уменьшения напряжения на первичной обмотке трансформатора в этот же период времени, тогда выпрямительные диоды остаются закрытыми до очередного переключения транзисторов.

Для обеспечения минимальных потерь мощности прямое падение напряжения на открытом транзисторе должно быть минимальным при любом допустимом рабочем токе коллектора. Однако под джарживать для этого максимальный ток

базы на протяжении всего полупериода работы этого транзистора энергетически невыгодно, да и необходимо в этом нет. Достаточно обеспечить пропорциональность базового тока коллекторному, такое управление называют пропорционально-токовым.

Поскольку к моменту закрытия транзистора реактивные элементы снижают до минимума ток коллектора, базовый ток также будет минимальным и, следовательно, время закрытия транзистора уменьшается до значения времени его открытия. Таким образом полностью снимается проблема сквозного тока, возникающего при переключении.

Иначе говоря, использование квазирезонансного режима совместно с пропорционально-токовым управлением позволяет практически полностью избавиться от коммутационных потерь.

Ниче описаны два практических варианта ответного блока питания с квазирезонансным преобразователем и пропорционально-токовым управлением. Изготовление этих блоков не вызывает больших затруднений у радиолюбителей и позволит оценить все преимущества преобразователя. Стабилизированный блок уже более двух лет работает в высокочастотном частотомере и нарядный не

на рис. 2 показана принципиальная схема автогенератора нестационарного блока питания.

Основная доля потерь мощности в блоке падает на нагревание выпрямительных диодов вторичной цепи, а КПД самого преобразователя таков, что нет необходимости в теплоотводах для транзисторов. Мощность потерь на каждом из них не превышает 0,4 Вт. Специального отбора транзисторов по каким-либо параметрам также не требуется. При замыкании выхода или превышении максимальной выходной мощности генерация срывается, защищая транзисторы от перегрева и пробоя.

Фильтр, состоящий из конденсаторов C1—C3 и дросселя L1L2, предназначен для защиты питающей сети от высокочастотных помех со стороны преобразователя. Запуск автогенератора обеспечивает цепь R4C6 и конденсатор C5. Генерация колебаний происходит в результате действия положительной ОС через трансформатор Т1, а частоту их определяют индуктивность первичной обмотки этого трансформатора и сопротивление резистора R3 (при увеличении сопротивления частота увеличивается).

Обмотка IV трансформатора Т1 предназначена для пропорционально-токового управления транзисторами. Легко видеть, что мощный разделительный трансформатор Т2 и цепи управления переключательными транзисторами (трансформатор Т1) разделены, что позволяет значительно ослабить влияние паразитных емкости и индуктивности трансформатора Т2 на формирование базового тока транзисторов. Диоды VD5 и VD8 ограничивают напряжение на конденсаторе C7 в момент запуска преобразователя, пока конденсатор C8 заряжается до рабочего напряжения.

При налаживании устройства необходимо

Общий КПД блока, %	92
Напряжение на выходе, В, при сопротивлении нагрузки 8 Ом	18
Рабочая частота преобразователя, кГц	20
Максимальная выходная мощность, Вт	55
Максимальная амплитуда пульсации выходного напряжения с рабочей частотой, В	1,5

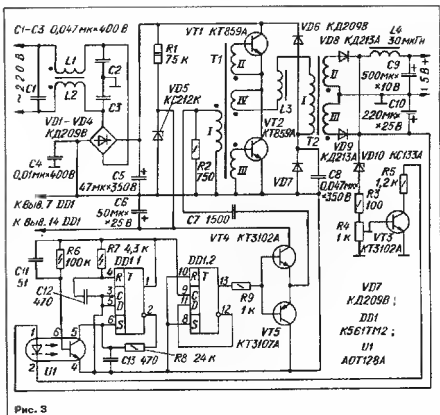


Рис. 3

можно удостовериться в том, что преобразователь работает в квазирезонансном режиме. Для этого последовательно с конденсатором С7 включают временный резистор сопротивлением 1...3 Ом мощностью 2 Вт и, подав сигнал с одного из резисторов на вход осциллографа, наблюдают на экране форму импульсов коллекторного тока обоих транзисторов при максимальной нагрузке.

Это должны быть разнополярно чередующиеся непериодические по времени импульсы колоколообразной формы. Если они периодически, необходимо уменьшить индуктивность дросселя L3, отмотав 10...15 % витков, или уменьшить частоту генерации преобразователя подборкой резистора R3. Заметим здесь, что не все осциллографы допускают проведение измерений в цепях, гальванически не развязанных от электросети.

Дроссель L1L2 и трансформатор T1 наматывают на одинаковых кольцевых магнитопроводах К12х8х3 из феррита 2000НМ. Обмотки дросселя выполняют одновременно, "в два провода", проводом ПЭЛШО 0,25, число витков — 20. Обмотка I трансформатора T1 содержит 200 витков провода ПЭВ-0,1, намотанных внавал, равномерно по всему кольцу. Обмотки II и III наматывают "в два провода" — 4 витка провода ПЭЛШО 0,25, обмотка IV представляет собой виток такого же провода.

Для трансформатора T2 использован кольцевой магнитопровод К28х16х9 из феррита 3000НМ. Обмотка I содержит 130 витков провода ПЭЛШО 0,25, уложенных виток к витку. Обмотки II и III — по 25 витков провода ПЭЛШО 0,56; обмотка — "в два провода", равномерно по кольцу. Дроссель L3 содержит 20 витков прово-

да ПЭЛШО 0,25, намотанных на двух, сложенных вместе кольцевых магнитопроводах К12х8х3 из феррита 2000НМ. Диоды VD7, VD8 необходимо установить на теплоотводы площадью рассеивания не менее 2 см<sup>2</sup> каждый.

Номинальное выходное напряжение, В.....	5
Максимальный выходной ток, А.....	2
Максимальная выплутуда пульсаций, мВ.....	50
Изменение выходного напряжения, мВ, не более, при изменении тока нагрузки от 0,5 до 2 А и напряжении сети от 190 до 250 В.....	190
Максимальная частота преобразования, кГц.....	20

Описанное устройство было разработано для использования совместно с аналоговыми стабилизаторами на различных значениях напряжения, поэтому потребность в глубоком подавлении пульсаций на выходе блока не возникло. Пульсации можно уменьшить до необходимого уровня, воспользовавшись обычными в таких случаях LC-фильтрами, как, например, в описанном ниже блоке.

Схема стабилизированного блока питания на основе квазирезонансного преобразователя представлена на рис. 3. Выходное напряжение стабилизируется соответствующим изменением рабочей частоты преобразователя.

Как и в предыдущем блоке, мощные транзисторы VT1 и VT2 в теплоотводах не нуждаются. Симметричное управление этими транзисторами реализовано с помощью отдельного задающего генератора импульсов, собранного на микросхе-

ме DD1

Триггер DD1.1 работает в соблавно генераторе. Импульсы имеют постоянную длительность, заданную цепью R7C12. Период же изменяется цепью ОС, в которую входит отпиратель L1, так что напряжение на выходе блока поддерживается постоянным. Минимальный период задает цепь R6C13.

Триггер DD1.2 делит частоту следования этих импульсов на два, и напряжения формы "меандр" подается с прямого выхода на транзисторный усилитель тока VT4VT5. Далее усиленные по току управляющие импульсы дифференцируют цепь R2C7, а затем, уже укороченные до длительности примерно 1 мкс, они поступают через трансформатор T1 в базовую цепь транзистора VT1, VT2 преобразователя.

Эти короткие импульсы служат лишь для переключения транзисторов — закрытия одного из них и открывания другого. Базовый ток открытого управляющим импульсом транзистора поддерживает действие положительной ОС по току через обмотку IV трансформатора T1. Резистор R2 служит также для демпфирования паразитных колебаний, возникающих в момент закрывания выпрямительных диодов вторичной цепи, в контуре, образованном межвитковой емкостью первичной обмотки трансформатора T1, дросселем L3 и конденсатором С8. Эти паразитные колебания могут вызывать неуправляемое переключение транзисторов VT1, VT2.

Описанный вариант управления преобразователем позволяет сохранить пропорционально-токовое управление транзисторами и в то же время регулировать частоту их переключения с целью стабилизации выходного напряжения. Кроме того, основная мощность от генератора возбуждения потребляется только в момент переключения мощных транзисторов, поэтому средний ток, потребляемый им, мал — не превышает 3 мА с учетом тока диодов VD5. Это и позволяет питать его от первичной цепи через гасящий резистор R1.

Транзистор VT3 работает как усилитель напряжения сигнала управления подобно тому, как в компенсационном стабилизаторе. Коэффициент стабилизации выходного напряжения блока прямо пропорционален статическому коэффициенту передачи тока этого транзистора.

Применение транзисторного отпирателя U1 обеспечивает надежную гальваническую развязку вторичной цепи от сети и высокую помехозащищенность по входу управления задающего генератора. После очередного переключения транзисторов VT1, VT2 начинает подзаряжаться конденсатор C10 и напряжение на базе транзистора VT3 начинает увеличиваться, коллекторный ток тоже увеличивается. В результате открывается транзистор отпирателя, поддерживая в разряженном состоянии конденсатор C13 задающего генератора.

После закрывания выпрямительных диодов VD8, VD9 конденсатор C10 начинает разряжаться на нагрузку и напряжение на нем падает. Транзистор VT3 закрывается, в результате чего начинается зарядка конденсатора C13 через резистор R8. Как только конденсатор зарядится до напряжения переключения триггера DD1.1, на его прямом выходе установится высокий уровень напряже-

ния. В этот момент происходит очередное переключение транзисторов VT1, VT2, а также разрядка конденсатора C13 через открывшийся транзистор оптрона. Начинается очередной процесс подзарядки конденсатора C10, а триггер DD1.1 через 3...4 мкс снова вернется в нулевое состояние благодаря малой постоянной времени цепи R7C12, после чего весь цикл управления повторится, независимо от того, какой из транзисторов — VT1 или VT2 — открыт в текущий полупериод.

При включении источника, в начальный момент, когда конденсатор C10 полностью разряжен, тока через светодиод оптрона нет, частота генерации максимальна и определена в основном постоянной времени цепи R8C13 (постоянная времени цепи R7C12 в несколько раз меньше). При указанных на схеме номиналах этих элементов эта частота будет около 40 кГц, а после ее деления триггером DD1.2 — 20 кГц.

После зарядки конденсатора C10 до рабочего напряжения в работу вступает стабилизирующая петля ОС на элементах VD10, VT3, U1, после чего и частота преобразования уже будет зависеть от входного напряжения и тока нагрузки. Колонна напряжения на конденсаторе C10 сглаживает фильтр L4C9.

Дроссели L1L2 и L3 — такие же, как в предыдущем блоке. Трансформатор T1 выполнен на двух сложенных вместе кольцевых магнитопроводах K12хВх3 из феррита 2000НМ. Первичная обмотка намотана внавал равномерно по всему кольцу и содержит 320 витков провода

ПЭВ-2 0,08. Обмотки II и III содержат по 40 витков провода ПЭЛШО 0,15, их намагнивают "в два провода". Обмотка IV состоит из 8 витков провода ПЭЛШО 0,25.

Трансформатор T2 выполнен на кольцевом магнитопроводе K28х16х9 из феррита 3000НН. Обмотка I — 120 витков провода ПЭЛШО 0,15, а II и III — по 6 витков провода ПЭЛШО 0,56, намотанных "в два провода".

Вместо провода ПЭЛШО можно использовать провод ПЭВ-2 соответствующего диаметра, но при этом между обмотками необходимо прокладывать два-три слоя лакоткани.

Дроссель L4 содержит 25 витков провода ПЭВ-2 0,56, намотанных на кольцевой магнитопровод K12хВх4,5 из феррита 100НН1. Подойдет также любой готовый дроссель индуктивностью 30...60 мГн на ток насыщения не менее 3 А и рабочую частоту 20 кГц.

Все постоянные резисторы — МЛТ. Резистор R4 — подстроечный, любого типа. Конденсаторы C1—C4, C6 — К73-17, C5, C8, C9, C10 — К50-24, остальные — КМ-6. Стабилитрон KC212K можно заменить на KC212J или KC512A. Дiode VD8, VD9 необходимо установить на радиаторы площадью рассеивания не менее 20 см<sup>2</sup> каждый.

Для налаживания блока необходимо подключить параллельно резистору R1 временный резистор сопротивлением 1 кОм мощностью 0,25—1 Вт и, не подключая нагрузку, подать на вход блока постоянное или переменное напряжение амплитудой 15...20 В, а на выход — по-

стоянное напряжение 5 В в соответствующей полярности. Движок резистора R4 установить в нижнее по схеме положение.

Вход У осциллографа подключают к коллектору и эмиттеру транзистора VT2. На экране должны быть видны прямоугольные импульсы со скважностью 2 ("меандр") амплитудой 14...19 В и частотой 20 кГц. Если при перемещении движка резистора R4 вверх происходит уменьшение частоты, а затем срыв колебаний, то узел стабилизации работает нормально.

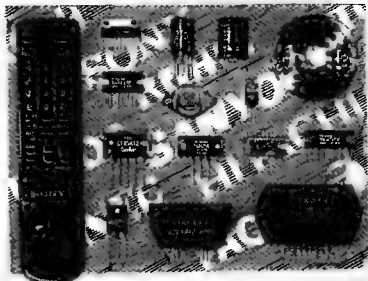
Установка резистором R4 частоту в пределах 3...5 кГц, отключают питание от входа и выхода, снимают временный резистор. К выходу блока подключают эквивалент нагрузки, а вход — к сети, и устанавливают резистором R4 выходное напряжение.

КПД обоих блоков можно повысить, если вместо диодов КД213А использовать диоды Шоттки, например, любые из серии КД2997. В этом случае теплоотводы для диодов не потребуются.

#### ЛИТЕРАТУРА

1. Электронная техника в автоматике. Под ред. Ю. И. Конов. Вып. 17 — М.: Радио и связь, 1988.
2. Афонин Л. И., Бондариков М. Я., Грибанов А. П. и др. Мощные высокочастотные переключатели транзисторы в схемах вторичных источников питания с трансформаторным входом — Электронная техника, сер. 2. Полупроводниковые приборы, 1982, вып. 3 (154).

## Компэл электронные компоненты



Для разработок, производства и ремонта. Постоянно на складе 7000 наименований. Осуществляются оптовые и розничные продажи. На отсутствующие позиции принимаются заявки. По всем вопросам обращаться по тел./факу 911-95-58

- ☒ Микросхемы
- ☒ Транзисторы
- ☒ Конденсаторы
- ☒ Кварцы
- ☒ Строчные трансформаторы
- ☒ Видеоголовки
- ☒ Справочная литература
- ☒ др. электронные компоненты

Москва, 109044, в/я 19  
Тел./Факс. (095) 911-95-58  
E-mail: Alex@compal.msk.su

Приглашаем к сотрудничеству!  
Региональных дилеров и производителей современной электронной аппаратуры.  
Тел. (095) 921-43-77



# МОЩНЫЕ ТЕРМОРЕЗИСТОРЫ С ОТРИЦАТЕЛЬНЫМ ТКС

Проследим по рис. 4 процесс разогревания нити без защитного терморезистора. В первый момент при подаче питания на холодную нить накала ее сопротивление равно  $R_0 = 2,7 \text{ Ом}$ , начальный импульс тока будет равен  $I_0 = U_{\text{пит}}/R_0 = 6,3/2,7 = 2,33 \text{ А}$ . Этому режиму соответствует точка 1 пересечения характеристик Б и  $R_0$ , потребляемая мощность  $P_0 = U_{\text{пит}} I_0 = 6,3 \times 2,33 = 14,7 \text{ Вт}$  расходуется на быстрое разогревание нити.

Новому промежуточному режиму соответствует точка 2 с координатами  $U_{\text{пит}} = 6,3 \text{ В}$  и  $I = 1,97 \text{ А}$ . Выделяемая мощность  $P_0 = 12,4 \text{ Вт}$  частично расходуется на дальнейшее повышение температуры нити, остальная часть —  $P_0$  — рассеивается в окружающую среду. Эту часть можно определить по координатам точки 1 пересечения ВАХ А и  $R_0$ :  $P_0 = U_{\text{пит}} I_0 = 1,6 \text{ В} \times 0,56 \text{ А} = 1 \text{ Вт}$ . Эта точка в статическом режиме подогревателя характеризует тепловое равновесие между окружающей средой и нитью накала. На разогревание нити идет  $12,4 - 1 = 11,4 \text{ Вт}$ .

Переходный процесс разогревания заканчивается статическим (номинальным) режимом работы — точкой 4 пересечения ВАХ А и Б ( $6,3 \text{ В}$ ,  $1,02 \text{ А}$ ). В этом режиме вся выделяемая мощность,  $6,43 \text{ Вт}$  рассеивается в окружающую среду, поэтому температура нити далее не изменяется.

Так же будет протекать процесс в цепи нити, если последовательно с ней включен терморезистор, разница лишь в том, что мощность распределяется между элементами цепи. Для определения параметров цепи построим на ВАХ. Учитывая, что ток через нить и терморезистор одинаков, а напряжения на концах цепи равно сумме  $U_n + U_r$ , просуммируем ordinаты ВАХ А и В при каждом значении тока,

Суммарная ВАХ — Г на рис. 4

Первому моменту после подачи напряжения питания соответствует точка 6 ( $I = 0,85 \text{ А}$ ). Потребляемая цепью мощность равна  $5,36 \text{ Вт}$ . Действительно, сопротивление холодного терморезистора  $4,7 \text{ Ом}$ , а нити —  $2,7 \text{ Ом}$ , суммарное —  $7,4 \text{ Ом}$ . Для определения мощности, выделяющейся в нити, опустим из точки 6

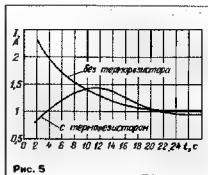


Рис. 5

перпендикуляр на ось тока до пересечения с ВАХ  $R_0$  в точке 10, ордината которой соответствует падению напряжения на нити  $U_n = 2,3 \text{ В}$  ( $0,85 \text{ А} \times 2,7 \text{ Ом}$ ,  $2,3 \text{ В}$ ). Мощность, выделяемая в нити, равна  $2,3 \times 0,85 = 1,96 \text{ Вт}$ , а в терморезисторе  $5,36 - 1,96 = 3,4 \text{ Вт}$ .

Статическое сопротивление последовательной цепи на участке от точки 0 до точки 7 характеристики Г будет уменьшаться от  $R_0$  до  $R_0$ , а на участке от точки 7 до точки 5 — увеличиваться от  $R_0$  до  $R_0$ . Это говорит о том, что мгновенное значение тока имеет максимум, сдвинутый во времени от момента включения, — он соответствует точке 7 и равен значению абсолютной точки 3 (около  $1,45 \text{ А}$ ).

Для нахождения распределения напряжения между элементами цепи необхо-

димо определить мгновенные значения сопротивления. Из точки 7 опускаем перпендикуляр к оси тока, и его пересечение с ВАХ А и В даст точки 8 и 9. Соединяя эти точки с началом координат, получим ВАХ мгновенных значений сопротивления нити  $R_n$  и терморезистора  $R_r$ , соответствующие рассматриваемому моменту переходного процесса.

Пересечение этих ВАХ с перпендикуляром, опущенным на ось тока из точки 3, даст точки 14 и 15. Значения ординат этих двух точек есть напряжения на нити  $U_n = 4,7 \text{ В}$  и на терморезисторе  $U_r = 1,6 \text{ В}$  соответственно. В этот момент на нити будет рассеиваться мощность  $4,7 \text{ В} \times 1,45 \text{ А} = 6,82 \text{ Вт}$ , а на терморезисторе —  $1,6 \text{ В} \times 1,45 \text{ А} = 2,3 \text{ Вт}$ .

В статическом режиме работы последовательной цепи через точку 5 протекает ток  $0,96 \text{ А}$ , падение напряжения на нити  $U_n = 5,75 \text{ В}$ , а на терморезисторе  $U_r = 0,55 \text{ В}$ . Мощность, рассеиваемая на нити, —  $5,6 \text{ Вт}$ , на терморезисторе —  $0,54 \text{ Вт}$ . Временные зависимости тока нити без защиты и защищенной терморезистором показаны на рис. 5.

Из полученных результатов можно заключить, что защита нити накала от импульса начального тока терморезистором с отрицательным ТКС позволяет обеспечить при включении питания практически номинальный режим нити. Максимальное значение мощности, выделяемой в нити, превышает номинальное всего в  $6,82/6,43 = 1,06$  раза против  $14,7/6,43 = 2,29$  раза без защитного терморезистора.

Недостатком этого способа защиты следует считать необходимость повышения напряжения источника питания с  $6,3$  до  $6,85 \text{ В}$  с тем, чтобы напряжение на нити в установившемся режиме стало номинальным. Но сейчас идет разработка терморезистора с еще большим значением ТКС, что позволит практически устранить указанный недостаток.

Материал подготовили  
В. ГАВРИЛОВ, В. ТЮХ

г. Когоск Тамбовской обл.

Окончание. Начало см. в "Радио", 1996, № 1.

## ПОСТОЯННЫЕ КОНДЕНСАТОРЫ К73-21

Металлопленочные поливинилэфирфталатные конденсаторы К73-21 предназначены для подавления помех в частотном диапазоне  $0,15 \dots 100 \text{ МГц}$  в цепях постоянного, переменного и пульсирующего тока. Конденсаторы изготавливаются в четырех конструктивных вариантах (рис. 1). Варианты а, б, г выпускаются в исполнении для умеренного и холодного климата, вариант в — во взрывобезопасном исполнении.

Конденсаторы варианта а залиты эпоксидным компаундом, выводы — прово-

лочные, жесткие; варианты б — обернуты лентой пентой, торцы залиты эпоксидным компаундом, выводы — плоские, лепестковые; варианты в и г — опрессованы пластмассой. У варианта в вывод от корпуса лепестковый с отверстием под крепежный винт, второй вывод — гибкий преспеченный с кольцевым лепестком на конце. У варианта г выводы проволочные, жесткие.

### Характеристики конденсаторов вариантов а и б

Номинальная емкость, мкФ,	
для варианта а .....	0,33—10
для варианта б .....	0,1—10

Номинальное постоянное напряжение, В,	
для варианта а .....	50—500
для варианта б .....	50—250
Номинальное переменное напряжение, В,	
для варианта а .....	127, 250
для варианта б .....	127
Допускаемое отклонение емкости от номинального значения, %	$\pm 10$ , $\pm 20$
Вносимое затухание, дБ не менее, на частоте $10 \pm 2 \text{ МГц}$ .....	34
Постоянная времени, МОм мкФ, конденсаторы емкостью более $0,33 \text{ мкФ}$ при постоянном напряжении	
160—500 В .....	10000
50 В .....	4000
Сопротивление изоляции между соединяемыми вместе выводами и корпусом, ГОм, не менее, для конденсаторов емкостью $0,33 \text{ мкФ}$ и более .....	50

Материал составлен по публикациям журналов "Электронная промышленность".

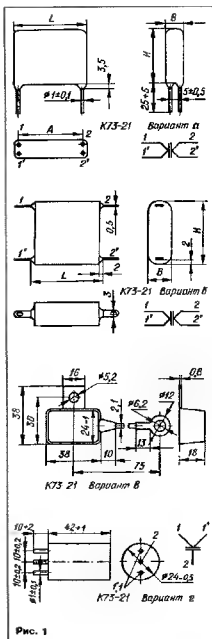


Рис. 1

Тангенс угла диэлектрических потерь  
на частоте 1 кГц, не более ..... 0,012  
Рабочий температурный интервал,  
°C ..... 60...+100

Ассортимент конденсаторов К73-21 вариантов а и б, их размеры и масса представлены в табл. 1 и 2 соответственно. В таблицах указан также номинальный ток, который можно пропускать от вывода 1 к выводу 1' и от вывода 2 к выводу 2'; для конденсаторов с номинальным постоянным напряжением 50 и 160 В переменное напряжение не нормировано.

### Характеристики конденсаторов вариантов В и Г

Номинальная емкость, мкФ.		
для варианта в	.. ..	2,2
для варианта г	.....	1
Номинальное постоянное напряжение, В.		

**Таблица 1**

Номинальная емкость, мкФ	Номинальное напряжение, В		Размеры (наибольшие), мм			Номинальный ток, А	Масса, г
	Постоян.	Перемен.	Л	В	Н		
10	50	127	30	12	30	6,3	16
2,2	150			10,5	24		14
	250			12	30		
0,33	500	250	26	24	10	10	
0,68			30	10,5		30	16
1			43	11		32	20
1,5				15		36	33
2,2				16		36	41

**Таблица 2**

Номинальная емкость, МКФ	Номинальное напряжение, В		Размеры (наибольшие), мм			Номинальный ток, А	Масса, г		
	Постоян.	Перемен.	L	B	H				
0,47	60	—	13	5	12	4	3		
0,68			17	4	13			4	
1				5	14				5
1,5				6,7	16				
2,2			30	8	18	6,3	6		
3,3				7,6	24		7		
4,7				6,7	24		8		
6,8				7,1	26		11		
10				10	26		15		
0,33			160	17	5	14	4	4	
0,47	6	16			5				
0,68	18	6							
1	7,1	19			7				
1,5	24	8		6,3	8				
2,2	30	0,5			22	11			
6,1	250	127			13	5	12	4	3
0,15				6	14	4	4		
0,22			17	5	14		5		
0,33			6	15	6,3		6		
0,47			24			5,6			

для варианта е	160
для варианта г	500
Номинальное переменное напряжение, В, для варианта е	—
для варианта г	250
Допускаемое отклонение емкости от номинального значения, %	±20
Номинальный ток, А, для варианта г	4
Вносимое затухание, дБ, для варианта в при частоте 0,5±0,1 МГц	46
для варианта г при частоте 2,5±0,2 МГц	65

Тангенс угла диэлектрических потерь на частоте 1 кГц, не более	0,012
Масса, г, не более, для варианта в	28
для варианта г	30
Рабочий температурный интервал, °С	60...+100

Материал подготовил  
Л. ЛОМАКИН

г. Москва

(Окончание следует)

# НАША КОНСУЛЬТАЦИЯ

**СУЕТИН В. ВИДЕОТЕСТ. — РАДИО, 1994, № 9, с. 4—7; № 10, с. 5—7; № 11, с. 5—8.**

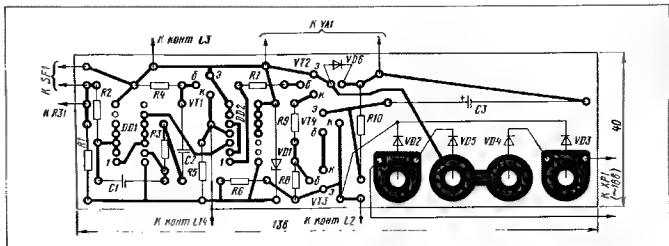
## О принципиальной схеме прибора.

На схеме синхронизатора (рис. 1 в статье) микросхема DA1 — двойной ОУ

дов, а тем, кто ва уже собрал, — просто припаять диоды к выводам подстроечного резистора R4 со стороны печатной проводников. Позиционные обозначения конденсаторов C7 и C8 на чертеже печатной платы (рис. 3) необходимо поме-

СТИТЬ НАПРАВЛЕННЫМИ

При указанных в названии частот границах рабочего диапазона статист делителя в целом нижняя граница полосы пропускания его входного устройства — примерно 10 МГц, что определяется возможностями формирователя прямоугольных импульсов на токовом ключе (VT3, VT5) и емкостью разделительных конденсаторов C9, C10. При увеличении их емкости до 0,01 мкФ диапазон можно сдвинуть в сторону более низких частот, од-



КР574УД2, микросхема DD4 — К175ТМ1. Полярность включения диодов VD15—VD17 на схеме формирователя гасящих и синхронизирующих импульсов (рис. 3) и печатной плате (рис. 13) необходимо изменить на обратную. Емкость конденсатора C100 в сумматоре полного видеосигнала (рис. 8) — 33 пФ.

## О некоторых деталях прибора.

Кроме указанных на схеме диодов КД522Б, в приборе можно использовать диоды этой серии с индексом А, а также КД503А, КД503Б, КД509А, КД510А, КД513А, КД521А, КД521В, КД521Г. Для удобства налаживания вместо постоянного резистора R96 сопротивлением 1 кОм на печатной плате желательно установить подстроечный резистор (например СПЗ-386) сопротивлением 2,2 или 3,3 кОм. Подстроечные резисторы R107, R109 — СПЗ-16, остальные — СПЗ-386.

**АЛЕКСАНДРОВ И. ТРЕХПРОГРАММНЫЙ ПРИЕМНИК НА ОДНОЙ МИКРОСХЕМЕ. — РАДИО, 1994, № 12, с. 18, 19.**

## О диодах VD1, VD2 и конденсаторах C7, C8.

Диодным ограничитель импульсных помех (VD1, VD2) лучше включить параллельно катушке связи L3 (как показано на рис. 1 в статье). Тем, кто еще только собирается повторить эту конструкцию, рекомендуем предусмотреть на плате необходимые для этого контактные площадки с отверстиями под выводы дио-

**БОЯНОВ С. УСОВЕРШЕНСТВОВАНИЕ ЭПУ "G602". — РАДИО, 1995, № 3, с. 19, 20.**

## Печатная плата ула управления электромагнитом.

Чертеж возможного варианта печатной платы и расположение на ней деталей устройства показаны на рисунке. Материалом может служить фольгированный гетинакс или стеклотекстолит толщиной 1,15 мм. Плата рассчитана на установку резисторов МЛТ, конденсаторов КМ-6Б (C1, C2) и окондного конденсатора К50-24, К50-29 или К50-31 (C3).

**ЖУК В. ПРЕДВАРИТЕЛЬНЫЙ ДЕЛИТЕЛЬ ЧАСТОТЫ НА ДИАПАЗОН 50...1500 МГц. — РАДИО, 1992, № 10, с. 46, 47.**

## Замена микросхемы K1931Е5А.

Вместо K1931Е5А в устройстве можно применить делитель частоты на 4 КМ1931Е7А. Назначение выводов и принципиальные схемы этих микросхем одинаковы, различие заключается в диапазоне рабочих частот: у K1931Е5А он равен 150...1500 МГц для синусоидального напряжения и 0...1500 МГц для прямоугольных импульсов с амплитудой 0,8...1 В и длительностью фронтов не более 2,5 нс, у КМ1931Е7А — соответственно 200...2000 и 0...2000 МГц для импульсов с амплитудой 0,8...1,2 В).

## О нижней границе рабочего диапазона частот.

нако в этом случае значительно понизится и верхняя граничная частота, так как конденсаторы К10-47В большей (чем 1000 пФ) емкости практически не пропускают переменное напряжение частотой выше 1200 МГц. Поэтому-то и был выбран компромиссный вариант рабочего диапазона частот — 50...1500 МГц.

**СРЕТЕНСКИЙ М. ИСПЫТАТЕЛЬ ТРАНЗИСТОРОВ. — РАДИО, 1995, № 1, с. 32.**

## Усовершенствование прибора.

Из-за индуктивного характера нагрузки динамической головки или телефонной капсулы при работе с прибором возникает выброс напряжения отрицательной полярности до 30 В на коллекторе транзистора VT2 и до -20 В на базе VT1 (измерено осциллографом с калиброванным входом). Это создает опасность повреждения не только названных транзисторов, но и проверяемых, особенно, если по каким-либо причинам применен излучатель с относительно большой индуктивностью. Чтобы этого не случилось, наш читатель **Раднаев В. Г.** из г. Улан-Удэ, первым обративший внимание на указанный недостаток прибора, советует подключить параллельно головке BA1 маломощный кремниевый диод, например, серий Д223, КД521, КД522 ит.п. (катодом к коллектору транзистора VT2).

**КОРСАКОВ Ю. БЛОК УВЕЛИЧЕНИЯ ЧИСЛА ПЕРЕКЛЮЧАЕМЫХ**

**ПРОГРАММ. — РАДИО, 1994, № 5, с. 10—13.**

#### Подключение блока к СВЧ-4-10.

С устройством СВЧ-4-10 блок увеличения числа переключаемых программ (далее БУЧПП) соединяют следующим образом (обозначения элементов СВЧ 4-10 даны

по прин.ципальной схеме, приведенной на рис. 1 в статье Г. Мазуркевича и Л. Шепотковского "Горизонт С 257". Система управления, опубликованной в "Радио", 1984, № 12, с. 27—29; выводы 1—6 блока подключают соответственно к выводам Y13—Y18 (выводы 3, 28, 25, 18, 15, 12) микросборки D1 (K04K1020); вы-

воды 18, 19 БУЧПП включают в разрыв печатного проводника, соединяющего выводы эмиттера транзистора VT1 и резистора R10 с выводом резистора R13; выводы 21, 20, 17, 22 БУЧПП подсоединяют соответственно к контактам 5, 4, 3, 2 вилки разъема X2 (AS) СВЧ-4-10

## К НАШИМ АВТОРАМ

Как мы уже не раз писали, отбирая материалы для публикации в журнале, редакция руководствуется не только их актуальностью и интересом, который они могут представлять для широкого круга читателей, но и пригодностью к редактированию, т. е. степенью соответствия требованиям, предъявляемым к авторским материалам.

Напомним эти требования.

Статьи и заметки желательно напечатать на машинке или принтере на одной стороне стандартного листа, оставив слева поле не менее 3 см. Все страницы должны быть пронумерованы. Если нет такой возможности, можно написать статью и от руки, но чем разборчивее это Вы сделаете, тем меньше будет вопросов у редактора, меньше времени (и средств) уйдет на переписку, тем быстрее будет напечатан Ваш материал. С удовольствием принимаем материалы на дисquete размером 5,25" или 3,5" (любой стандартный формат IBM PC). Текст должен быть записан в кодах ASCII.

Описание устройства следует начать с рассказа о его назначении и области применения, достоинствах и недостатках, обязательно отметить его отличия от подобных конструкций, описанных в литературе (если это книга, надо указать ее автора, название, издательство, год выхода в свет и нумерацию страниц, а если журнальная публикация, — автора и название статьи, название журнала, год, номер, страницы). Далее следует привести основные технические характеристики, а после этого описать принцип действия устройства и его узлов. Не стремитесь к предельной краткости изложения — излишняя подробность редактор легко уберет, зато меньше риска оказаться не всеми понятым.

Для облегчения повторения конструкции радиоприемителями в описании надо дать все необходимые сведения о деталях и узлах: наименование детали (провод, число витков, способ, длину и шаг намотки), размеры каркаса и тип подстроечника или магнитопровода катушек, дросселей и трансформаторов; статический коэффициент передачи тока транзисторов, тип и номер паяпасты (исполнения) электромагнитных реле; особые требования к отдельным узлам. Если использованы узлы и блоки промышленных изделий, привести их наименования. Укажите возможную замену примененных диодов, транзисторов, микросхем, а также дефицитных радиодеталей других видов.

К описанию любительской конструкции желательно приложить чертеж печатной платы с расстановкой деталей на ней и, если возможно, фотографию внешнего вида устройства и виде на его монтаж.

В конце статьи расскажите о конструкции устройства, его наладки, особенно в эксплуатации.

Каждая иллюстрация (схема, чертеж, фотография) и таблица должны быть выполнены на отдельном листе. В тексте их помещать не следует, но напротив того места, где иллюстрация или таблица упоминаются в первый раз, на левом поле листа карандашом надо сделать пометки "Рис. 1", "Табл. 1" и т. д. Математические формулы и иностранные слова записывать от руки, обратив особое внимание на четкое начертание букв иностранных алфавитов, надстрочных и подстрочных индексов.

Схемы, чертежи и рисунки вычерчивать шпиковой авторучкой с помощью линейки и трафаретов.

Составляя схему устройства, следует придерживаться общепринятого правила: вход — слева, выход — справа. Условные графические обозначения элементов и их размеры (примерно вдвое крупнее, чем на схемах в журнале) должны соответствовать принятым в журнале "Радио" в последние годы. Нумеровать элементы на схемах необходимо слева направо сверху вниз.

Рядом с символами резисторов и конденсаторов проставляют общепринятым способом их номиналы (для оксидных конденсаторов — и номинальное напряжение). Внутри символов резисторов указывают мощность рассеяния, возле символов микросхем, транзисторов и диодов — их полное обозначение (с буквенными индексами), номера выводов микросхем, напряжения на них (если считаете, что это необходимо), надписи номерами итерий и гнезд многоконтактных соединителей — их номера. Поблизости от символов элементов, используемых в качестве органов управления (переключатели, переменные резисторы и т. п.), присоединения (разъемные соединители, гнезда, зажимы) и индикаторов (лампы накаливания, светодиоды и т. п.) указывают надписи и знаки, поясняющие их функциональное назначение в устройстве.

На чертеже печатной платы все элементы должны быть изображены в виде условных графических обозначений, используемых в принципиальных схемах. Односторонние платы изображают со стороны печатных проводников, двусторонние — с обеих сторон. Масштаб чертежей плат — 2:1.

Детали на сборочных чертежах следует нумеровать на выносных линиях по порядку в направлении движения часовой стрелки, независимо от последовательности упоминания их в тексте.

Не забудьте указать на чертеже печатной платы (и на сборочном, если они важны) размеры.

На лицевой или обратной стороне каждого рисунка должны быть его номер по описанию, название статьи и подпись автора.

Фотография надо печатать на глянцевой бумаге формата не менее 13х18 см. Надпись на ней делать нельзя: выносные линии, номера деталей следует нанести мягким карандашом на кальку, наложенную на фотографию и приклеенную к краю с тыльной стороны, не допуская никаких помарок или вытятий на самом фото.

Редакция оставляет за собой право затребовать заинтересовавшую ее конструкцию для напечатания в редакционной радиолaborатории.

Статьи должны быть подписаны автором. На отдельном листе четко напишите свою фамилию, полностью имя и отчество, полный домашний адрес с почтовым индексом (если есть служебный и домашний телефоны, укажите их номера). Если у Вас есть счет в банке, куда можно перевести гонорар за статью, укажите его полные банковские реквизиты, включая ИНН.

Оставьте себе копии высланных материалов, для чего при подготовке текста и чертежей использовать копировальную бумагу.

Если Вы хотите получить за счет гонорара журналы "Радио", укажите об этом в письме. Гонорар за статью примерно в три стандартных машинописных страницы (для авторов из России) или пять (для авторов из стран СНГ), а при наличии рисунков соответственно меньше, достаточно для оплаты полусторонней подписки. Различия в требуемом объеме связано со стоимостью издательских по почте.

В заключение — совет. Прежде чем писать статью, особенно большую, пришлите нам ее краткий вариант со всеми необходимыми схемами и другими иллюстрациями, из которого было бы видно, что нового в Вашем устройстве, о чем Вы хотите рассказать. Не исключено, что подобный материал в редакционном портфеле уже есть или заказан, или, наконец, не заинтересует широкий круг читателей журнала. Только получив согласие редакции, готовить статью в соответствии с требованиями, изложенными выше.

Редакция

# GAMMA

# Санкт-Петербург

Тел. (812) 532-4383, тел./факс (812) 531-1402, E-Mail: postmaster@aogamma.spb.su

## Дистрибьютор по электронным компонентам

Весь спектр продукции на заказ и со Склада по ценам фирмы!  
Постоянное наличие однокристалльных ЭВМ серии PIC16/17, а также EEPROM 12/c, 3-wire, 4-wire, parallel EEPROM. Контроллер потребления энергии электродвигателей. ПЗУ с ультрафиолетовым стиранием.



Микросхемы для телефонии, компьютеров, звуковые генераторы, синтезаторы мелодий, синтезаторы голоса. Статическая память (SRAM), быстрая статическая память, микропроцессоры.

Семейство микроконтроллеров Z8: для инфракрасного ДУ, контроллеры для автоответчиков, телевизионные цифровые контроллеры, микросхемы для радиотелефонов. Цифровые сигнальные процессоры, факс/модем контроллеры, полный набор компонентов по обслуживанию периферии.



Программируемые логические матрицы, FLAXotic, PAL, GAL, EPLC, FPGA.



Микропроцессоры, микроконтроллеры, изделия для коммуникаций, периферийные микросхемы, флэш-память, семейство MCS-51, MCS-96, программируемые логические устройства.



Постоянное наличие на складе популярных позиций, полные аналоги отечественных микросхем. Поставка опытных партий компонентов, программа поддержки разработчиков. Широкий выбор технической литературы, программных и аппаратных средств отладки. Постоянное наличие на складе бывших в употреблении микросхем по ценам ниже рыночных.

Наш адрес: С-Петербург, Гражданский пр. 111, офис 427, мест. тел. 245.

## Это то, что работает в любых условиях!

Фирма ПРОСОФТ предлагает ВСЕ необходимое для промышленных, бортовых и встроенных систем управления, контроля и сбора данных:

- MicroPC - встраиваемые IBM PC совместимые компьютеры с рабочим диапазоном температур -40...+85°C, выдерживающие перегрузки до 5g при вибрации и 20g при ударе. Наработка на заказ более 200000 часов. Производятся фирмой OCTAGON SYSTEMS (CILA)
- Промышленные компьютеры, рабочие станции и различные устройства ввода/вывода фирмы Advantech.
- Модули VCO с оптической развязкой ведущих изготовителей Grayhill, Analog Devices, OPTO-22.
- 20" и 14" промышленные дисплеи фирм Intecolor
- EL и LCD дисплеи, клавиатуры и трекболы для работы в сложных условиях фирм Planar, Kundisch, DataLug, In\*Link, Texas Industrial и др.
- Индустриальные, военные и бортовые источники питания (AC/DC и DC/DC) различной мощности фирм Computer Products и Interpoint.
- Устройства флэш-памяти M-Systems и SanDisk
- Корпуса и шкафы различной степени защиты (до IP66) крупнейших производителей - Schreff, Hoffman, Bopla
- Системы спутниковой навигации Trimble Navigation.
- Мобильные рабочие станции, расширяемые военные и промышленные ноутбуки фирм FieldWorks и Getac
- Программное обеспечение реального времени и АСУ ТП фирм AdAstra, Iconics, QNX, OnTime Informatik и др.
- Другие изделия промышленной электроники.

Факс в Москве: (095) 971-40-00  
Тел: (095) 284-84-04, 284-86-07  
Санкт-Петербург: (812) 541-35 79  
Екатеринбург: (3432) 49-34-59  
ProSoft BBS: (098) 971-42-63  
E-mail: root@prosoftmpc.msk.su

# ProSoft

ФИРМА



предлагает светотехнику  
для концертных залов и дискотек

- ✓ световые эффекты
- ✓ прожекторы
- ✓ пульта управления
- ✓ звуковые блоки
- ✓ лазерные установки
- ✓ генераторы дыма

(095) 159-2141, 159-2147 (факс), 433-9646

## РАДИОЛАМПЫ ЛЮБЫХ ТИПОВ

Телефон/факс (095) 112-44-22



Старейшина среди изданий о технике и технологиях экранных искусств. Самая свежая и интересная информация о новинках профессионального кино, телевидения, видео.

\*\*\*

Подписка на ежемесячный журнал ТКТ принимается во всех почтовых отделениях СНГ.

Индекс журнала 70972. Можно подписаться и в редакции. Наши телефоны в Москве:

158-62-25, 158-61-18

Не упустите свой шанс всегда быть в курсе последних мировых достижений в области техники кино и телевидения!



# НАУЧНО-ТЕХНИЧЕСКИЙ ЦЕНТР "ЭЛЕКТРОН-СЕРВИС"



## ЭЛЕКТРОННОЕ ОБОРУДОВАНИЕ ВЕДУЩИХ ЗАРУБЕЖНЫХ ПРОИЗВОДИТЕЛЕЙ

### ЭЛЕКТРОННЫЕ КОМПОНЕНТЫ

#### Промэлектроника

Датчики и сенсоры  
Дисплеи и клавиатуры  
Источники питания  
AC/DC, DC/AC, DC/DC  
1W - 10kW

#### Изделия особой надежности

Электронные компоненты  
промышленного,  
авиационно-технического  
и морского назначения

### ИЗМЕРИТЕЛЬНАЯ ТЕХНИКА

#### Fluke, Wavetek, Tektronix

Мультиметры  
Тестеры  
Анализаторы  
Блоки питания

Осциллографы  
Генераторы  
Регистраторы  
Счетчики

### ОБОРУДОВАНИЕ SIEMENS, STRECKFUSS ДЛЯ ПРОИЗВОДСТВА ПЕЧАТНЫХ ПЛАТ - ОТ ПРОЕКТА ДО УПАКОВКИ

Печать и травление плат  
Флюсы, припой, химикаты

Формовка выводов компонентов  
Pick-and-place

Пайка волной  
IR-пайка

## CooperTools

Мировой лидер по производству электро-монтажного  
и паяльного оборудования

### ПРЕДЛАГАЕТ

самую современную технологию и широкий спектр профессионального инструмента  
следующих известных серий:

**WELLER** — паяльные и отпайвательные станции, ремонтные системы, низковольтные, сетевые и газовые паяльники с эффективным контролем температуры и уникальным диапазоном сменных жал, насадок и приспособлений;

**XCELITE и EREM** — прецизионный инструмент для любых монтажных операций;

**WIRE-WRAP** — оборудование для намоточного монтажа

НТЦ "Электрон-Сервис" — эксклюзивный дистрибьютор CooperTools в России и СНГ — реализует всю гамму изделий по ценам каталога фирмы за рубль со склада в Москве, обеспечивает гарантию и послегарантийное обслуживание, предоставляет 10% — ную скидку для оптовых покупателей. Кроме того, предлагаем весь ассортимент продукции фирмы



**MULTICORE** — ведущего производителя припоев, флюсов, специальных химикатов для всех видов пайки.

Впечатляющее повышение производительности труда и практически полное исчезновение брака в вашей работе. окупает затраты за 1-2 месяца. Совсем недорого за удовольствие работать превосходным инструментом!

НТЦ "ЭЛЕКТРОН-СЕРВИС" — 105037 Москва, 1-я Парковая 12;  
факс: 367-1818; тел: 367-1001, 163-0380, 163-0388, 163-1249.

Научно-технический центр  
"Электрон-Сервис"



- ✓ Государственная лицензия N 12.0163
- ✓ Эксклюзивный представитель концерна "ESCORT" и фирмы "PINTEK"
- ✓ Официальный представитель ПО "Белвар", АО "Краснодарский ЗИП", АО "Радиоприбор", Киевского НИИРИА



Только мы предлагаем:

- ✓ Более **350** наименований контрольно - измерительных приборов, аппаратуры и инструмента
- ✓ Гарантию на все приборы более 1 года
- ✓ Поставку аппаратуры самовывозом, почтой, жел/дор- и авиа-транспортом
- ✓ Ремонт и поверка любой контрольно - измерительной техники

Телефоны отдела продаж: ☎ / факс (095) **344 8476**, ☎ (095) **344 6707**

Прайс-лист и другую информацию Вы можете получить по факсу в автоматическом режиме по телефону факс-сервера (095) **303 7226**

Наш адрес: 115612, Москва, Каширское шоссе д.57, корп.5

### ИЗМЕРИТЕЛЬНЫЕ ПРИБОРЫ И АППАРАТУРА

АО "ПРИСТ" предлагает широкий выбор измерительной аппаратуры отечественного и импортного производства.

- осциллографы (универсальные, специальные);
- генераторы (НЧ, ВЧ, импульсные);
- частотомеры;
- измерители АЧХ;
- анализаторы спектра;
- вольтметры (универсальные, переменного тока);
- и многое другое.

г. Москва тел/факс (095) **952-21-53**

### Фирма - товары почтой

Фирма высылает по предоплате и наложенным платежом: автомотозапчасти "Иж", "Урал", "Жигули", "Москвич"; запчасти к бензопилам "Дружба", "Урал"; радиодетали; компьютеры; периферию к ним, блоки ТВ, телерадиолампы, электроустановочные изделия, сантехнику и другие товары народного потребления.

Каталог высылается бесплатно, в письмо-заказ вложите два чистых конверта, на одном разборчиво напишите Ваш обратный адрес, Ф. И. О.

Телефоны: "запчасти" - (3412) 78-62-41, "радио" - (3412) 78 07 13, 22 04 90. Факс (3412) 78 29 30.

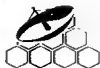
Наш адрес: 426034, г. Ижевск, аб. ящ. 3510

**ВПЕРВЫЕ В РОССИИ И СНГ.** Если у Вас есть проблемы в разработке и серийном изготовлении новой техники, то их разрешит книга американских специалистов "Силовые полупроводниковые приборы". В ней Вам объяснят подробно, как работают МОП и IGBT - транзисторы, быстрые и ультрабыстрые диоды и диоды Шоттки, а также схемы управления. Разъяснят, как правильно строить схемы на них.

**А ГЛАВНОЕ - В КНИГЕ ПРИВЕДЕНЫ СОТНИ КОНКРЕТНЫХ ЭЛЕКТРИЧЕСКИХ СХЕМ** блоков питания, электронных пускорегулирующих устройств для всех видов ламп, управления электродвигателями различной мощности, источников бесперебойного питания, сварочных аппаратов и всех узлов автоэлектроники. Купив книгу Вы будете выпускать высокоэффективную аппаратуру, которая при использовании экономит 30% электроэнергии и многие тонны меди, алюминия и электротехнической стали, и получите технические консультации в этой области техники.

394007, г. Воронеж, Ленинский пр-кт, 119-а  
АО "ТРАНСЭЛЕКТРИК".

Тел. 22-28-37, тел/факс 23-38-23.



# "Информационная индустрия"

Официальный дистрибьютор фирмы MOTOROLA  
Сервисный центр CONDOR & FYLDE MICROSYSTEMS

## ЛЮБАЯ БЕСПРОВОДНАЯ СВЯЗЬ

ПРОЕКТИРОВАНИЕ

ПОСТАВКИ

МОНТАЖ

ОБУЧЕНИЕ

ГАРАНТИИ



- Транкинговые системы радио-и-телефонной связи (MPT 1327, LTR, SMARTRUNK II)
- Пейджинговые системы от \$ 5000, пейджеры от \$ 113
- Системы сотовой связи
- Радиотелефонные удлинители и интерфейсы
- Ручные и автомобильные радиостанции (профессиональные, CB, Low Band)

**Оборудование ведущих мировых производителей: Motorola, Kenwood, Tait, Alinco, Yaesu и др.**



**Дилеры компании "Информационная индустрия":** г. Благовещенск Аверс-ЭИК т. (4162) 4498/9/445/40 г. Владимир Кедр т. (09222) 32934; г. Вологда Сигнал-Линиитед т. (817-22/29321, 2-2648); г. Иркутск Пройд т. (3952) 274577/275976; г. Нижневартовск Пройд т. (3466) 236813/(095) 290-9325; г. Ташкент Asisco Co, Ltd т. (3712) 441238, 443274; г. Омск Карат-Связь т. (3812) 642760; г. Пятигорск Сигнал-Сервис т. (86522) 55045/95942 г. Чита КИТ т. (302-22) 63719/36553

**"Информационная индустрия"** г. Москва, ул. Делегатская, д. 7, т./ф (095) 973-9052/53/39, 978 5035, г. Москва, ул. арх. Власова, д. 51, т./ф (095) 128-4866/9701

**ПРОФЕССИОНАЛИЗМ - ГАРАНТ НАДЕЖНОСТИ**

## Фирма "ЭФО" предлагает: Программаторы ВР Microsystems

Модель	Программируемые микросхемы	Общее число компонентов
<b>BP-1200</b>	<b>8-240 pin:</b> PLD, FPGA, EPROM, EEPROM, PROM, FLASH EPROM, микроконтроллеры, устройства с последовательным интерфейсом	<b>8089</b>
<b>BP-1148</b>	<b>8-48 pin:</b> EPROM, EEPROM, PROM, Flash EPROM, PLD, микроконтроллеры	<b>7305</b>
<b>CP-1128</b>	<b>24-28 pin:</b> EPROM, EEPROM <b>16-28 pin:</b> PROM <b>20-28 pin:</b> PLD	<b>5983</b>
<b>PLD-1128</b>	<b>20-28 pin:</b> PLD	<b>3700</b>
<b>EP-1140</b>	<b>24-40 pin:</b> EPROM, EEPROM, Flash EPROM <b>40 pin:</b> микроконтроллеры	<b>2559</b>
<b>EP-1132</b>	<b>24-32 pin:</b> EPROM, EEPROM, Flash EPROM	<b>1835</b>
<b>EP-1</b>	<b>24-28 pin:</b> EPROM, EEPROM	<b>916</b>

### Программаторы поддерживают:

#### 1 Микросхемы фирм:

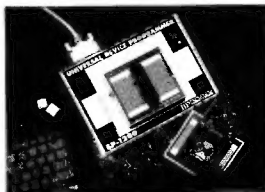
Actel, **Altera**, AMD, AMI, Atmel, AT&Microelectronics, Benchmark, Bowmar/White, Catalyst, Cypress, Dallas Semiconductor, Delco Electronics, Dense-Pac, Electronic Arrays, EXEL, General Instrument, Generic, Greenwich, Harris, Hitachi, Hughes, Hyundai, ICT, IDT, **Intel**, ISSI, Lattice, Macronix, Microchip Technology, Mitsubishi, MM(AMD), Mosaic Semiconductor, Mostek, Motorola, National Semiconductor, NEC, OKI, Philips Semiconductors, Ricoh, Samsung, Seeg, SGS-Thomson, Sharp, Siemens, Signetics(Philips), Texas Instruments, Toshiba, VLSI Technology, Waterscale Integration, Xicor, Xilinx, Zilog.

#### 2 Типы корпусов:

**DIP, PLCC, SOIC, PGA, QFP, TSOP, PCMCIA.**

#### 3 Форматы загружаемых файлов:

**бинарный, Intel, JEDEC, Motorola, POF, hex, hex-space, Tekhex и др.**

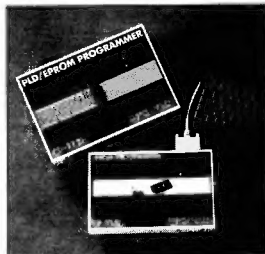


### Комплект поставки:

- |  |  |
|--|--|
| <input checked="" type="checkbox"/> программатор               | <input checked="" type="checkbox"/> сетевой шнур |
| <input checked="" type="checkbox"/> математическое обеспечение | <input checked="" type="checkbox"/> руководство  |
| <input checked="" type="checkbox"/> интерфейсный кабель        | пользователя                                     |

### Гарантийные обязательства:

- ☒ На оборудование: **до 3-х лет.**
- ☒ На математическое обеспечение:  
**бесплатное обновление каждые 6 недель.**



### Фирма "ЭФО"

**194021 г. С-Петербург, ул. Политехническая, д.21**  
**Тел. (812) 247-89-00, 247-81-58, 327-86-54 Факс (812) 247-53-40**  
**Представитель в Москве: (095) 915-67-34**

**Микросхемы  
Транзисторы  
Диоды  
Конденсаторы  
Кварцы  
Резисторы  
Разъемы  
Реле**

- Оптом и мелким оптом продукция более 50 предприятий России и ближнего зарубежья.
- Низкие цены и отличный сервис.
- Оптовый склад в центре Москвы.
- Большой выбор товаров с приемками "5" и "9".
- Прямые поставки из Тайваня по минимальным ценам:
  - электrolитические конденсаторы,
  - резисторы,
  - кварцы,
  - панельки,
  - разъемы,
  - паяльное оборудование,
  - мультиметры.
- Доставка товаров почтой по России и за рубеж.
- Бесплатный каталог для предприятий.



Москва, ул. Гиляровского, 39

Тел.: (095) 284-34-69;

284-56-76;

971-09-63

Тел./Факс 971-31-45

Почта: 129110, Москва, а/я 596

Оптом со склада и на заказ  
углеродистые (C1 - 4)  
и металлодиэлектрические  
(ММТ, C2 - 23) резисторы  
производства Тайвань.

Мощность 0,125Вт, 0,25Вт,  
0,5Вт, 1Вт, 2Вт.

Все номиналы ряда E24.

Углеродистые бескорпусные  
(ЧМП) резисторы.

Поставляются в лотках  
для автоматизированного  
монтажа.

**Низкие цены  
и гибкая система скидок.**

Все товары в розницу в магазине "Чип и Дип"  
на улице Гиляровского 39, м. "Проспект Мира", тел. 281-99-17



NSI Ltd Ваш надежный источник солидной аппаратуры радиосвязи. Тел./Факс: (383-2) 46-27-65



Для радиосвязи до 50 км. без ретранслятора лучший результат по эффективности вложенных средств приносят УКВ ЧМ радиостанции.



Дополнительные устройства (телефонный интерфейс, селективный вызов, репитер и др.) расширяют возможности, улучшают качество и дальность действия Вашей системы.



Стационарная и мобильная КВ аппаратура связи предоставляемая NSI Ltd обеспечивает надежную голосовую и цифровую радиосвязь на частотах от 1,5 до 30 МГц.

**SGC**

**clashcraft**

**OPTOELECTRONICS**

**electrone hy-gain**

**STANDARD**

**Kantronics**

**TELEX MFJ**

**AOR**

**HARRIS**

**ICOM**

**ALINCO**  
ELECTRONICS INC.

**ONWA® KENWOOD**

**(ZETRON)**

#### Радиотелефонные системы:

Системы «транковой» радиосвязи Smart-Trunk, ALTrunk, V-trunk, SynTech позволяют на ограниченном количестве радиоканалов (до 20) обслужить до 2000 абонентов. Абоненты сети могут связываться между собой по радио, иметь выход на городскую АТС, звонить и отвечать на телефонные звонки, как в сотовой телефонной системе связи, но лишь за малую часть себестоимости.



**Системы радиопозиска (paging)** от 100 до 10000 абонентов для средних и больших организаций, где есть необходимость немедленного вызова сотрудников, ремонтных групп и бригад. Полный контроль рабочего времени (за которое Вы платите немалые деньги в форме зарплаты).



**Определение координат** с помощью новейшего прибора GP-22 занимает менее 2 минут в любой точке планеты с точностью порядка 30 метров. Более 20 спутников Министерства обороны США задействованы в системе GPS (Global Positioning System) Вес прибора около 330 грамм.

**ЗВОНИТЕ СЕГОДНЯ!!!**

Тел./Факс: (383-2) 46-27-65

Почтовый адрес: 630092,  
Россия, Новосибирск-92 а/я 4

# ЭРА

## ВСЕ ДЛЯ ВИДЕОПРОИЗВОДСТВА И КОМПЬЮТЕРНОЙ ГРАФИКИ

*Немедленно со склада!*

Газета "ЭРА"

SONY

Canon

JVC

Ikegami

Unomat

Helwa

Willemat

SYSTEMS

EDIA

...

Наш адрес:

Тел.: (095) 556-21-51, 556-20-24  
556-24-65, 556-24-63

Факс: (095) 556-21-51  
556-24-62